

Analiza mikrostrukture i mikrotvrdoće dupleks nehrđajućeg čelika dobivenog aditivnom proizvodnjom električnim lukom i žicom

Halužan, Ivan

Master's thesis / Diplomski rad

2022

Degree Grantor / Ustanova koja je dodijelila akademski / stručni stupanj: **University of Zagreb, Faculty of Mechanical Engineering and Naval Architecture / Sveučilište u Zagrebu, Fakultet strojarstva i brodogradnje**

Permanent link / Trajna poveznica: <https://urn.nsk.hr/um:nbn:hr:235:797781>

Rights / Prava: [In copyright / Zaštićeno autorskim pravom.](#)

Download date / Datum preuzimanja: **2024-05-03**

Repository / Repozitorij:

[Repository of Faculty of Mechanical Engineering
and Naval Architecture University of Zagreb](#)



SVEUČILIŠTE U ZAGREBU
FAKULTET STROJARSTVA I BRODOGRADNJE

DIPLOMSKI RAD

Ivan Halužan

Zagreb, 2022.

SVEUČILIŠTE U ZAGREBU
FAKULTET STROJARSTVA I BRODOGRADNJE

DIPLOMSKI RAD

Mentor:

Prof. dr. sc. Vera Rede

Student:

Ivan Halužan

Zagreb, 2022.

Izjavljujem da sam ovaj rad izradio samostalno koristeći znanja stečena tijekom studija i navedenu literaturu.

Zahvaljujem mentorici prof. dr. sc. Veri Rede na ukazanoj pomoći, susretljivosti i vremenu pri izradi rada. Zahvaljujem asistentu Ivanu Juriću te svim djelatnicima fakulteta koji su mi pomogli oko izvedbe eksperimentalnog dijela rada. Također, zahvaljujem se obitelji, djevojcima i prijateljima koji su mi bili podrška i pomoć tijekom studiranja.

Ivan Halužan



SVEUČILIŠTE U ZAGREBU
FAKULTET STROJARSTVA I BRODOGRADNJE
Središnje povjerenstvo za završne i diplomske ispite



Povjerenstvo za diplomske radove studija strojarstva za smjerove:
proizvodno inženjerstvo, računalno inženjerstvo, industrijsko inženjerstvo i menadžment,
inženjerstvo materijala te mehatronika i robotika

| | |
|--|---------------|
| Sveučilište u Zagrebu Fakultet strojarstva i brodogradnje | |
| Datum: | Prilog: |
| Klasa: | 602-14/22-6/1 |
| Ur. broj: | 15-1703-22- |

DIPLOMSKI ZADATAK

Student: **IVAN HALUŽAN**

Mat. br.: 0035212008

Naslov rada na hrvatskom jeziku: **Analiza mikrostrukture i mikrotvrdoće dupleks nehrđajućeg čelika dobivenog aditivnom proizvodnjom električnim lukom i žicom**

Naslov rada na engleskom jeziku: **Microstructure and microhardness analyses of duplex stainless steel produced by wire arc additive manufacturing**

Opis zadatka:

U teorijskom dijelu diplomskog rada potrebno je opisati postupak aditivne proizvodnje električnim lukom i žicom s posebnim naglaskom na proizvodnju čelika. Detaljno objasniti kinetiku nastanka pojedinih mikrostrukturnih faza u dupleks čeliku te njihov utjecaj na mehanička i korozionska svojstva. Obraditi recentna istraživanja koja se bave analizom mehaničkih svojstava nehrđajućih čelika proizvedenih postupkom aditivne proizvodnje električnim lukom i žicom.

U eksperimentalnom dijelu rada potrebno je detaljno analizirati mikrostrukturu uzoraka dupleks čelika proizведенog aditivnom proizvodnjom električnim lukom i žicom uz različite međuprolazne temperature. Na uzorcima izmjeriti mikrotvrdoću metodom po Vickersu uz primjenu različitih opterećenja te analizirati dobivene rezultate. Posebnu pozornost posvetiti analizi rasipanja izmjerjenih vrijednosti mikrotvrdoće pri različitim opterećenjima te utvrditi vezu između dobivenog rasipanja i uočenih mikrostrukturnih faza na uzorcima.

Zadatak zadan:
5. svibnja 2022.

Rok predaje rada:
7. srpnja 2022.

Predviđeni datum obrane:
18. srpnja do 22. srpnja 2022.

Zadatak zadao: *Rede*
prof. dr. sc. Vera Rede

Predsjednica Povjerenstva:
Runje
prof. dr. sc. Biserka Runje

SADRŽAJ

| | |
|--|------|
| SADRŽAJ | I |
| POPIS SLIKA | III |
| POPIS TABLICA..... | VI |
| POPIS OZNAKA | VII |
| SAŽETAK | VIII |
| SUMMARY | IX |
| 1. UVOD | 1 |
| 2. DUPLEKS NEHRĐAJUĆI ČELICI | 2 |
| 2.1. Povijesni razvoj dupleks nehrđajućih čelika | 3 |
| 2.2. Mikrostruktura dupleks nehrđajućih čelika..... | 6 |
| 2.3. Legirni elementi u dupleks nehrđajućim čelicima | 13 |
| 2.4. Svojstva dupleks nehrđajućih čelika | 14 |
| 2.5. Zavarivanje dupleks nehrđajućih čelika..... | 16 |
| 3. ADITIVNA PROIZVODNJA ELEKTRIČNIM LUKOM I ŽICOM | 17 |
| 3.1. Aditivna proizvodnja..... | 17 |
| 3.2. Aditivna proizvodnja električnim lukom i žicom (engl. <i>Wire and Arc Additive Manufacturing – WAAM</i>) | 18 |
| 3.3. MIG/MAG postupak zavarivanja..... | 21 |
| 3.4. TIG postupak zavarivanja | 23 |
| 3.5. Greške pri zavarivanju | 24 |
| 3.6. Analiza recentnih istraživanja | 25 |
| 4. TVRDOĆA | 28 |
| 4.1. Mjerenje tvrdoće po Vickersu..... | 28 |
| 5. EKSPERIMENTALNI DIO | 30 |
| 5.1. Cilj rada..... | 30 |
| 5.2. Materijal za ispitivanje..... | 30 |
| 5.3. Provođenje ispitivanja..... | 34 |
| 5.3.1. Mjerenje mikrotvrdoće..... | 34 |

| | |
|--|----|
| 5.3.2. Analiza mikrostrukture | 35 |
| 5.4. Rezultati ispitivanja..... | 37 |
| 5.4.1. Rezultati mjerjenja mikrotvrdoće..... | 37 |
| 5.4.2. Rezultati mikrostrukturne analize | 43 |
| 6. ANALIZA REZULTATA | 54 |
| 6.1. Utjecaj žarenja na vrijednosti mikrotvrdoće | 54 |
| 6.2. Utjecaj međuprolaznih temperatura na vrijednost mikrotvrdoće..... | 56 |
| 6.3. Utjecaj opterećenja na mikrotvrdoču | 63 |
| 7. ZAKLJUČAK..... | 64 |
| LITERATURA..... | 65 |

POPIS SLIKA

| | | |
|-----------|---|----|
| Slika 1. | Kotao od dupleks čelika oznake 453E [3]..... | 3 |
| Slika 2. | Izmjenjivač topline od čelika oznake X2CrNiMoN22-5-3 [5] | 5 |
| Slika 3. | Schaefflerov dijagram [1]..... | 6 |
| Slika 4. | Mikrostruktura dupleks čeličnog lijeva (a) i mikrostruktura toplo valjanog dupleks čelika (b) [4] | 7 |
| Slika 5. | Pseudobinarni dijagram stanja Cr-Ni-Fe uz 70 % Fe [1] | 8 |
| Slika 6. | Shematski prikaz tipičnih precipitacija u dupleks strukturi [6]..... | 9 |
| Slika 7. | Nastanak sigma-faze u dupleks čeliku [7]..... | 10 |
| Slika 8. | Mikrostruktura dupleks lijeva (GX2CrNiMoN 25-6-3) žarenog 60 min na 750 °C [8] | 11 |
| Slika 9. | TTT-dijagram nastanka sigma-faze i chi-faze za dupleks čelik X2CrNiMoN 22-5-3 [6] | 12 |
| Slika 10. | Djelovanje dušika na svojstva dupleks čelika X2CrNiMoN 22-5-3 [4]. | 14 |
| Slika 11. | Svojstva dupleks čelika (X2CrNiMoCuN25-6-3) u ovisnosti o udjelu sigma-faze [4] | 15 |
| Slika 12. | Faze aditivne proizvodnje [10]..... | 17 |
| Slika 13. | Dijelovi WAAM sustava [11] | 18 |
| Slika 14. | Ilustracija WAAM postupka [12]..... | 19 |
| Slika 15. | Dio opreme za slijetanje od titanija proizведен WAAM postupkom [13]..... | 20 |
| Slika 16. | Aluminijski bicikl proizведен WAAM postupkom [15] | 21 |
| Slika 17. | Shema zavarivanja MIG/MAG postupka [16] | 22 |
| Slika 18. | Shema zavarivanja TIG postupkom [18]..... | 23 |
| Slika 19. | Deformacija nastala uslijed velikog unosa topline [19] | 25 |
| Slika 20. | Mikrostruktura elementa od austenitnog čelika (X2CrNiMo17-12-2) dobivenog aditivnom proizvodnjom električnim lukom i žicom [24] | 27 |
| Slika 21. | Indentor u obliku dijamantne piramide kod metode po Vickersu [26] | 29 |
| Slika 22. | Zid dupleks čelika neposredu nakon nanošenja zadnjeg sloja | 31 |
| Slika 23. | Zid od dupleks čelika nakon hlađenja | 31 |
| Slika 24. | Rezanje uzorka na tračnoj pili IMET GBS 185 Eco Autocut | 32 |
| Slika 25. | Uzorci izrezani iz navarenog zida (lijevo je žareni, desno nežaren uzorak) | 33 |
| Slika 26. | Komorna peć za žarenje | 33 |
| Slika 27. | Područja ispitivanja uzorka | 34 |

| | | |
|-----------|---|----|
| Slika 28. | Mikrotvrdomjer PMT-3..... | 35 |
| Slika 29. | Optički mikroskop OLYMPUS GX51 | 36 |
| Slika 30. | Mikrostruktura toplinski neobrađenog uzorka snimljena pri povećanju 50×..... | 43 |
| Slika 31. | Mikrostruktura toplinski obrađenog uzorka snimljena pri povećanju 50× | 43 |
| Slika 32. | Mikrostruktura toplinski neobrađenog uzorka u 1. području | 44 |
| Slika 33. | Mikrostruktura toplinski neobrađenog uzorka u 2. području | 45 |
| Slika 34. | Mikrostruktura toplinski neobrađenog uzorka u 3. području | 45 |
| Slika 35. | Mikrostruktura toplinski neobrađenog uzorka u 4. području | 46 |
| Slika 36. | Mikrostruktura toplinski neobrađenog uzorka u 5. području | 46 |
| Slika 37. | Mikrostruktura toplinski neobrađenog uzorka u 6. području | 47 |
| Slika 38. | Mikrostruktura toplinski obrađenog uzorka u 1. području..... | 47 |
| Slika 39. | Mikrostruktura toplinski obrađenog uzorka u 2. području..... | 48 |
| Slika 40. | Mikrostruktura toplinski obrađenog uzorka u 3. području..... | 48 |
| Slika 41. | Mikrostruktura toplinski obrađenog uzorka u 4. području..... | 49 |
| Slika 42. | Mikrostruktura toplinski obrađenog uzorka u 5. području..... | 49 |
| Slika 43. | Mikrostruktura toplinski obrađenog uzorka u 6. području..... | 50 |
| Slika 44. | Mikrostruktura toplinski obrađenog uzorka | 52 |
| Slika 45. | Sigma-faza u mikrostrukturi toplinski obrađenog uzorka | 52 |
| Slika 46. | Feritna faza u mikrostrukturi toplinski obrađenog uzorka | 53 |
| Slika 47. | Srednje vrijednosti mikrotvrdoće HV0,2 po područjima za uzorke T0 i T1 | 54 |
| Slika 48. | Srednje vrijednosti mikrotvrdoće HV0,1 u svim područjima za uzorke T0 i T1 | 55 |
| Slika 49. | Srednje vrijednosti mikrotvrdoće HV0,05 u svim područjima za uzorke T0 i T1 | 55 |
| Slika 50. | Srednje vrijednosti mikrotvrdoće HV0,02 u svim područjima za uzorke T0 i T1 | 56 |
| Slika 51. | Utjecaj međuprolazne temperature na srednje vrijednosti mikrotvrdoće za toplinski neobrađeni uzorak | 57 |
| Slika 52. | Utjecaj međuprolazne temperature na srednje vrijednosti mikrotvrdoće za toplinski obrađeni uzorak | 57 |
| Slika 53. | Rasipanje svih izmjerениh vrijednosti mikrotvrdoća za oba uzorka..... | 58 |
| Slika 54. | Rasipanja izmjerениh vrijednosti mikrotvrdoće HV0,2 za toplinski neobrađeni uzorak | 59 |
| Slika 55. | Rasipanja izmjerениh vrijednosti mikrotvrdoće HV0,2 za toplinski obrađeni uzorak | 59 |
| Slika 56. | Rasipanja izmjerениh vrijednosti mikrotvrdoće HV0,1 za toplinski neobrađeni uzorak | 60 |
| Slika 57. | Rasipanja izmjerениh vrijednosti mikrotvrdoće HV0,1 za toplinski obrađeni uzorak | 60 |

| | |
|---|----|
| Slika 58. Rasipanja izmjereneh vrijednosti mikrotvrdoće HV0,05 za toplinski neobrađeni uzorak | 61 |
| Slika 59. Rasipanja izmjereneh vrijednosti mikrotvrdoće HV0,05 za toplinski obrađeni uzorak | 61 |
| Slika 60. Rasipanja izmjereneh vrijednosti mikrotvrdoće HV0,02 za toplinski neobrađeni uzorak | 62 |
| Slika 61. Rasipanja izmjereneh vrijednosti mikrotvrdoće HV0,02 za toplinski obrađeni uzorak | 62 |
| Slika 62. Utjecaj opterećenja na vrijednosti mikrotvrdoće za toplinski obrađeni i neobrađeni uzorak | 63 |

POPIS TABLICA

| | | |
|-------------|--|----|
| Tablica 1. | Vrijednosti sile pritiska kod metode po Vickersu [26] | 29 |
| Tablica 2. | Kemijski sastav žice za zavarivanje..... | 30 |
| Tablica 3. | Međuprolazne temperature po visini uzorka..... | 32 |
| Tablica 4. | Rezultati mjerena mikrotvrdoće u 1. području za oba uzorka | 37 |
| Tablica 5. | Rezultati mjerena mikrotvrdoće u 2. području za oba uzorka | 38 |
| Tablica 6. | Rezultati mjerena mikrotvrdoće u 3. području za oba uzorka | 39 |
| Tablica 7. | Rezultati mjerena mikrotvrdoće u 4. području za oba uzorka | 40 |
| Tablica 8. | Rezultati mjerena mikrotvrdoće u 5. području za oba uzorka | 41 |
| Tablica 9. | Rezultati mjerena mikrotvrdoće u 6. području za oba uzorka | 42 |
| Tablica 10. | Volumni udjeli pojedinih faza..... | 51 |

POPIS OZNAKA

| Oznaka | Jedinica | Opis |
|-----------|----------|-----------------------------|
| PRE | | Vrijednost djelotvorne sume |
| <i>HV</i> | | Tvrdoća po Vickersu |
| <i>KV</i> | J | Udarni rad loma |
| <i>F</i> | N | Sila |

SAŽETAK

U diplomskom radu provedena je kvalitativna i kvantitativna analiza mikrostrukture te mjerjenje mikrotvrdoće pri različitim opterećenjima na dupleks nehrđajućem čeliku koji je dobiven aditivnom proizvodnjom električnim lukom i žicom.

Mikrostruktura navarenog zida dupleks čelika sastoji se od ferita i austenita. Moguće je da su u mikrostrukturi nastale još neke nepoželjne faze koje nisu vidljive na svjetlosnom mikroskopu. Omjer austenita i ferita nadilazi omjer od 60:40 koji je dopušten za dupleks čelike. Izmjerene vrijednosti tvrdoće ovise o primijenjenom opterećenju te se povećavaju s povećanjem opterećenja. Rasipanja izmjerениh vrijednosti mikrotvrdoće su relativno velika i povećavaju se sa smanjenjem opterećenja.

Žarenje dupleks čelika ($800\text{ }^{\circ}\text{C}/1\text{ h}$) izaziva formiranje tvrde i krhke sigma-faza, smanjenje udjela ferita i povećanje udjela austenita u mikrostrukturi. Ove promjene povisuju mikrotvrdoću za sva primijenjena opterećenja, a najveći prirast uočen je pri najmanjem opterećenju HV0,02. Žarenjem se povisuju rasipanja vrijednosti mikrotvrdoće.

Utjecaj međuprolaznih temperatura na vrijednosti mikrotvrdoće nije jasno izražen.

Ključne riječi: aditivna proizvodnja, dupleks nehrđajući čelici, analiza mikrostrukture, tvrdoća

SUMMARY

A qualitative and quantitative analysis of the microstructure and measurement of microhardness at different loads on duplex stainless steel obtained by wire arc additive manufacturing was conducted in master's thesis.

The microstructure of duplex steel's welded wall consists of ferrite and austenite. It is possible that some other unwanted phases, not visible on the optical microscope, were formed in the microstructure. The austenite and ferrite ratio exceeds the allowed duplex steel ratio of 60:40. The measured hardness values depend on the applied load and increase with rising load. Dissipations of measured microhardness values are relatively large and increase with decreasing load.

Annealing of duplex steel ($800\text{ }^{\circ}\text{C}/1\text{ h}$) causes the formation of a hard and brittle sigma-phase, a reduction of ferrite content, and an increase of austenite content in the microstructure. These changes increase microhardness for all applied loads, and the largest growth was noticed at the lowest load HV0.02. Annealing increases the dissipation of the microhardness values.

The influence of intermediate temperatures on the microhardness values is not clearly expressed.

Key words: additive manufacturing, duplex stainless steels, microstructure analysis, hardness

1. UVOD

Dupleks čelici dobili su ime po mikrostrukturi koja sadrži feritnu i austenitnu fazu u podjednakim volumnim udjelima. Svojstva dupleks čelika posjeduju kombinaciju svojstava feritnih i austenitnih nehrđajućih čelika. Uglavnom imaju veću čvrstoću te otpornost na rupičastu i napetosnu koroziju od austenitnih čelika te imaju veću žilavost od feritnih čelika. Zbog povoljnih mehaničkih svojstava te dobre otpornosti na koroziju dupleks čelici svoju primjenu nalaze u industriji nafte i plina, industriji papira i celuloze te u kemijskoj i petrokemijskoj industriji. Dupleks nehrđajući čelici stvoreni su kao zamjena austenitnim čelicima sa niskim sadržajem nikla. Prisutnost odgovarajućih legirnih elemenata u mikrostrukturi dupleks nehrđajućih čelika omogućuje jednake volumne omjere austenitne i feritne faze. Zbog moguće pojave izlučivanja neželjenih mikrostrukturnih faza koje utječe na mehanička svojstva, navedena vrsta nehrđajućih čelika se ne primjenjuje na temperaturama iznad 315 °C [1], [2].

Aditivna proizvodnja je napredna tehnologija proizvodnje u kojoj se materijali dodaju sloj po sloj kako bi se formirao proizvod. Glavna prednost aditivne proizvodnje u usporedbi s konvencionalnim metodama proizvodnje je izrada dijelova složene geometrije u kratkom vremenu. Pri proizvodnji metalnih dijelova složene geometrije koristi se postupak aditivne proizvodnje električnim lukom i žicom. Ovaj postupak, koji se sastoji od navarivanja materijala u slojevima, prikladan je za izradu dijelova od dupleks čelika. Visoke vrijednosti mehaničkih svojstava čine ove čelike teško obradivima što je rezultiralo upotrebom aditivne proizvodnje električnim lukom i žicom.

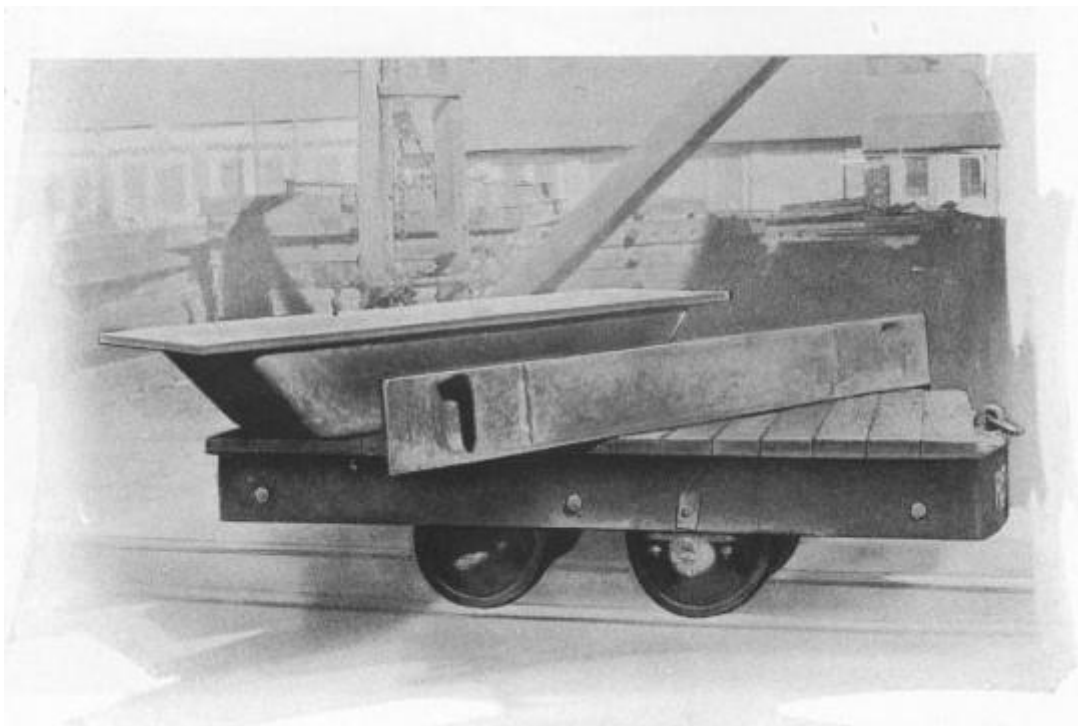
2. DUPLEKS NEHRĐAJUĆI ČELICI

Korozijska postojanost je sposobnost materijala da se suprotstavi agresivnom djelovanju medija ili okoline. Nehrđajući čelici koriste se u agresivnijim medijima nego ostale vrste čelika. Korozijski postojani čelici u svome sastavu sadrže minimalno 12 % kroma, a osim kroma sadrže i druge legirne elemente pomoću kojih se postižu najpovoljnije kombinacije kemijskih, mehaničkih i tehnoloških svojstava. Krom mora biti posve otopljen u metalnoj osnovi, s time da ne smije biti sastavni dio karbida ili drugih strukturnih tvorevina. Navedeni udio kroma osigurava nastajanje stabilnog oksidnog sloja na površini koji sprječavaju daljnju oksidaciju i koroziju. Također, korozijska postojanost postiže se kod čelika monofazne strukture. Prisutnošću samo jedne faze u mikrostrukturi čelika izbjegava se nastanak galvanskih članaka koji mogu izazvati pojavu korozije. Monofazna mikrostruktura nije obavezan uvjet korozijske postojanosti s obzirom na to da postoje nehrđajući čelici čija se mikrostruktura sastoje od dviju ili više faza. Primjer višefazne strukture su dupleks nehrđajući čelici koji se sastoje od austenitne i feritne faze u podjednakim volumnim udjelima. Optimalan volumni udio je onaj s 50 % austenita i 50 % ferita, ali zadovoljavajuća svojstva dupleks čelici posjeduju ako je udio austenita 60 %, a ferita 40 % ili obrnuto. Takvi čelici danas imaju široku primjenu zbog vrlo dobrih mehaničkih svojstava i izvrsne korozijske postojanosti. Visoke su čvrstoće, dobre žilavosti i duktilnosti. U usporedbi s austenitnim čelicima posjeduju višu granicu razvlačenja, tvrdoću te otpornost na abrazijsko trošenje. Glavna prednost dupleks nehrđajućih čelika naspram drugih čelika je izvrsna otpornost na koroziju u kombinaciji s vrlo dobrim mehaničkim svojstvima [1].

2.1. Povijesni razvoj dupleks nehrđajućih čelika

Prvi dupleks nehrđajući čelik, oznake 453E, proizведен je u Švedskoj (Avesta Jernverk) 1929. godine. Ovaj je čelik proizведен kako bi smanjio utjecaj interkristalne korozije u prvim visokougljičnim austenitnim nehrđajućim čelicima te se koristio u proizvodnji papira. Navedeni se čelik sastojao od otprilike 25 % kroma i 5 % nikla. Sljedeći zabilježeni dupleks nehrđajući čelik pojavio se u Francuskoj (J. Holtzer) 1930. godine. Pogrešnim taljenjem austenitnog čelika s 18 % Cr, 9 % Ni i 2,5 % Mo, dobiven je čelik s 20 % Cr, 8 % Ni i 2,5 % Mo koji sadrži veći volumen udio ferita u austenitnoj matrici. Ako se spomenuti čelik pravilno toplinski obradi, pokazuje bolju otpornost na interkristalnu koroziju u različitim korozivnim medijima u odnosu na austenitne nehrđajuće čelike [2].

Slika 1 prikazuje kotao za olovnu kupku napravljen od dupleks čelika oznake 453E.



Slika 1. Kotao od dupleks čelika oznake 453E [3]

Nakon Drugog svjetskog rata u Sjedinjenim Američkim Državama razvijen je čelik AISI 329 koji se koristio za cijevi izmjenjivača topline. Povoljna svojstva dupleks čelika kao što su otpornost na interkristalnu koroziju i dobra mehanička svojstva potaknula su tvrtke na daljnji razvoj dupleks nehrđajućih čelika. U usporedbi s kasnije razvijenim dupleks nehrđajućim čelicima, tadašnji čelici nisu sadržavali dušik te su imali niža mehanička svojstva i nižu otpornost na koroziju. Pri procesu zavarivanja visoki udio ugljika uzorkuje senzibilizaciju u zoni utjecaja topline te dolazi do izlučivanja nepoželjnih faza i precipitata u mikrostrukturi. Ujedno, kod zavarivanja je dolazilo do povećanja udjela ferita u zoni utjecaja topline što je dovelo do smanjenja žilavosti i otpornosti na koroziju u području zavara [2].

Razvojem proizvodnje čelika i novih peći 1960-ih i 1970-ih, omogućilo se dobivanje čelika s malim postotkom nečistoća, niskim sadržajem ugljika i kontroliranim sadržajem dušika. U tom periodu došlo je do nedostatka nikla što je uzrokovalo povećanje cijene austenitnih nehrđajućih čelika. Kako je sve više rasla potreba za uporabom nehrđajućih čelika u naftnoj industriji, dupleks čelici s niskim sadržajem ugljika počinju se ubrzano razvijati i primjenjivati [4].

Glavna je značajka čelika proizvedenih 1970-ih i početkom 1980-ih rješavanje problema sa zavarivanjem dodavanjem dušika u mikrostrukturu. Prednosti dušika su stabilizacija austenitne faze i pomicanje početka formiranja austenitne faze. Na temelju tih prednosti razvijen je čelik oznake X2CrNiMoN22-5-3 (AISI 2205, 1.4462) čije su glavne odlike bile dobra otpornost na koroziju, visoka čvrstoća i temperaturna stabilnost pri zavarivanju. Ovaj je čelik primjenjivan u raznim industrijskim i proizvodnim oblicima gdje se zahtjeva visoka otpornost na koroziju. Nakon što je utvrđeno da navedeni čelik pokazuje zadovoljavajuća svojstva u primjeni, razvijeni su dupleks čelici sposobni izdržati još agresivnije medije. Za te je čelike utvrđeno da su skloniji izlučivanju precipitata radi povišenog sadržaja legirnih elemenata. Troškovi proizvodnje dupleks čelika oznake X2CrNiMoN22-5-3 bili su visoki radi visoke cijene legirnih elemenata što im je ograničilo primjenu. Stoga je bilo potrebno proizvesti nove dupleks nehrđajuće čelike s poboljšanom zavarljivošću, visokom otpornosti na koroziju i nižim troškovima proizvodnje u usporedbi s austenitnim čelicima [2].

Slika 2 prikazuje izmjenjivač topline od dupleks čelika oznake X2CrNiMoN22-5-3.



Slika 2. Izmjenjivač topline od čelika oznake X2CrNiMoN22-5-3 [5]

Dupleks čelici dijele se prema vrijednosti djelotvorne sume PRE (Pitting Resistance Equivalent) koja pokazuje postojanost dupleks čelika na rupičastu koroziju. Djelotvorna suma izračunava se prema izrazu:

$$PRE = \%Cr + 3,3 \times \%Mo + 16 \times \%Ni \quad (1)$$

Dupleks čelici se danas dijele u pet skupina:

- Fe-23Cr-4Ni-0,1N ili dupleks čelici bez Mo
- Fe-22Cr-5,5Ni-3Mo-0,15N ili dupleks čelici s 22 % Cr
- Fe-25Cr-5Ni-2,5Mo-0,17N-Cu ili dupleks čelici s 25 % Cr (DS < 40)
- Fe-25Cr-7Ni-3,5Mo-0,25N-W-Cu ili super dupleks čelici (DS = 40 do 45)
- Fe-32Cr-7Ni-4Mo-0,5N-Cu ili hiper dupleks čelici (DS > 45).

Super dupleks čelici su podskupina dupleks čelika s vrijednošću djelotvorne sume veće od 40. Ovi čelici sadrže više legirnih elemenata, a karakterizira ih vrlo dobra otpornost na rupičastu koroziju, koroziju u procjepu, napetosnu koroziju u kloridnim otopinama te erozijsku koroziju. Ujedno, ovi čelici posjeduju dobru zavarljivost te vrlo visoku čvrstoću. Hiper dupleks čelici sadrže viši udio

kroma, molibdena, nikla i dušika, za razliku od super dupleks čelici. Čvrstoću, otpornost na umore te koroziju postojanost hiper dupleks čelika povisuju Cr, Mo i N [1].

2.2. Mikrostruktura dupleks nehrđajućih čelika

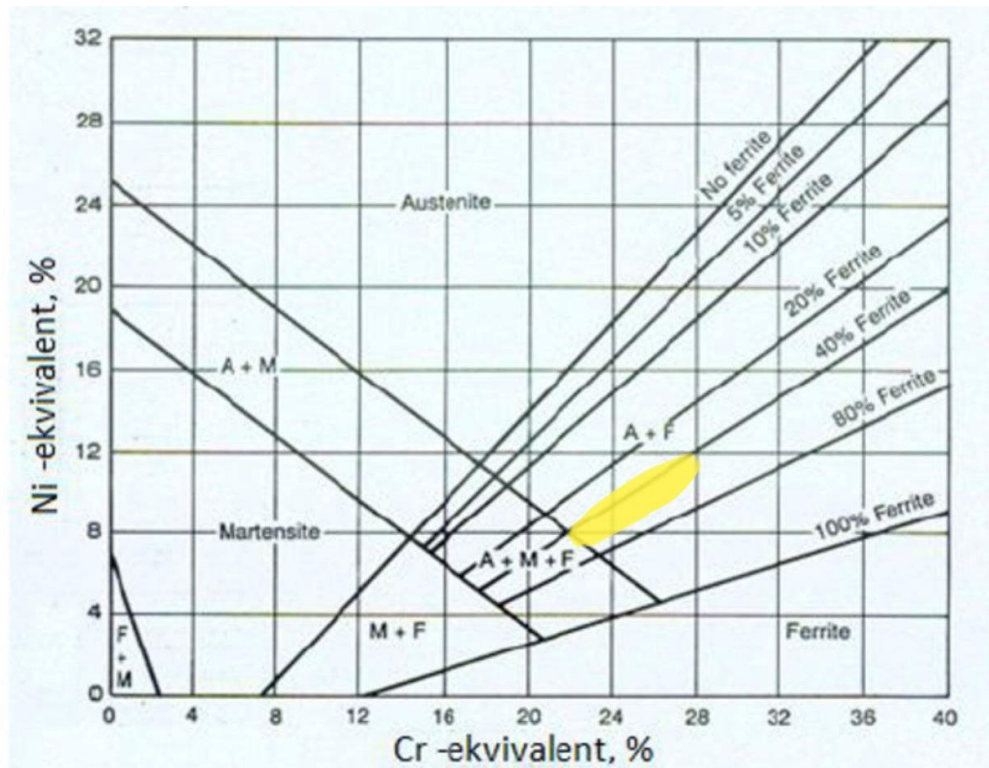
Prema Schaefflerovom dijagramu moguće je definirati mikrostrukturu čelika pomoću kemijskog sastava. Na x-osi u dijagramu prikazane su vrijednosti Cr-ekvivalenta, a na y-osi Ni-ekvivalenta. Prema prikazanim izrazima mogu se odrediti Cr- i Ni-ekvivalenti:

$$\text{Cr}_{\text{ekv}} = \% \text{Cr} + 2(\% \text{Si}) + 1,5(\% \text{Mo}) + 5(\% \text{V}) + 5,5(\% \text{Al}) + 1,75(\% \text{Nb}) + 1,5(\% \text{Ti}) + 0,75(\% \text{W}) \quad (2)$$

$$\text{Ni}_{\text{ekv}} = \% \text{Ni} + \% \text{Co} + 30(\% \text{C}) + 25(\% \text{N}) + 0,5(\% \text{Mn}) + 0,3(\% \text{Cu}) \quad (3)$$

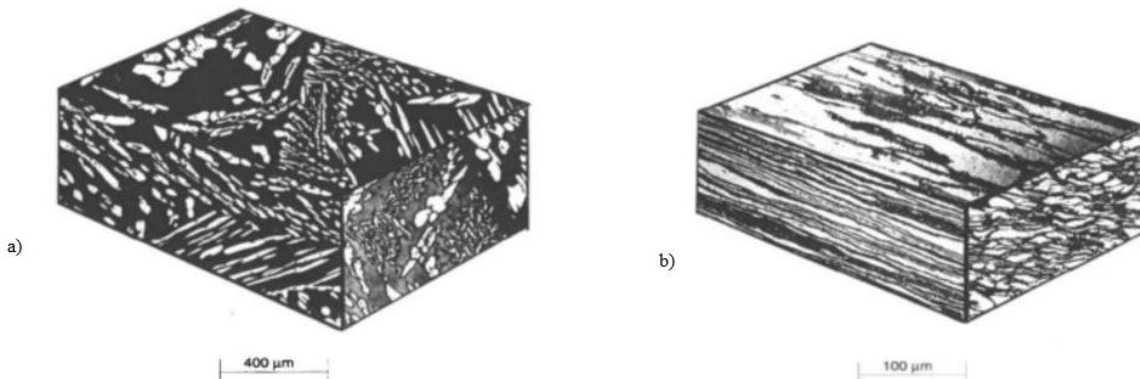
Navedeni dijagram, koji nije ravnotežni, daje prikaz mikrostrukture dobivene naglim hlađenjem s temperature od 1050 °C do sobne temperature [1].

Slika 3 prikazuje položaj dupleks čelika u Schaefflerovom dijagramu.



Slika 3. Schaefflerov dijagram [1]

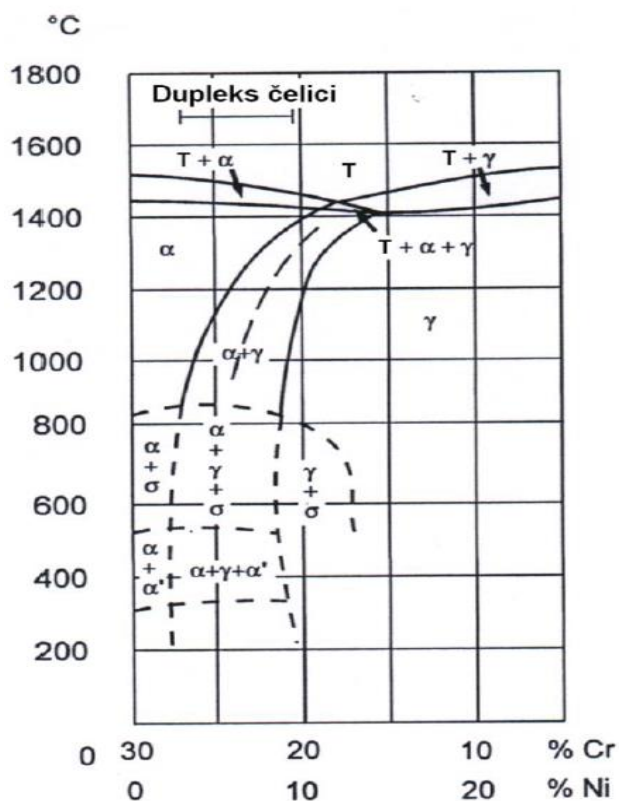
Slika 4 prikazuje mikrostrukture dupleks nehrđajućeg čeličnog lijeva u odljevenom stanju i mikrostrukturu dupleks čelika u toplo valjanom stanju.



Slika 4. Mikrostruktura dupleks čeličnog lijeva (a) i mikrostruktura toplo valjanog dupleks čelika (b) [4]

Na stvaranje mikrostrukture čelika utječe režim toplinske obrade. Potrebno je točno podesiti temperaturu žarenja i brzinu ohlađivanja kako bi se formirala očekivana mikrostruktura. Dupleks čelici primarno kristaliziraju kao ferit te dalnjim ohlađivanjem dolazi do formiranja austenitne faze, prvo po granicama zrna, a zatim i unutar feritne faze. Kod procesa transformacije feritne faze u austenitnu, legirni elementi koji promiču ferit (krom, molibden, volfram) otapaju se u feritu, a legirni elementi koji podržavaju austenit (ugljik, nikal, dušik, bakar) difundiraju u austenit. Brzina ohlađivanja ferita, udio i vrsta legirnih elemenata te brzina difuzije svakog elementa utječu na udio austenita u mikrostrukturi. Kad su volumni udjeli austenita i ferita podjednaki, pojavljuje se idealna fazna ravnoteža. Za definirani kemijski sastav, parametri ohlađivanja određuju se tako da se u temperaturnom području od 1050 do 1150 °C u mikrostrukturi nalazi omjer austenita i ferita 50:50 [1].

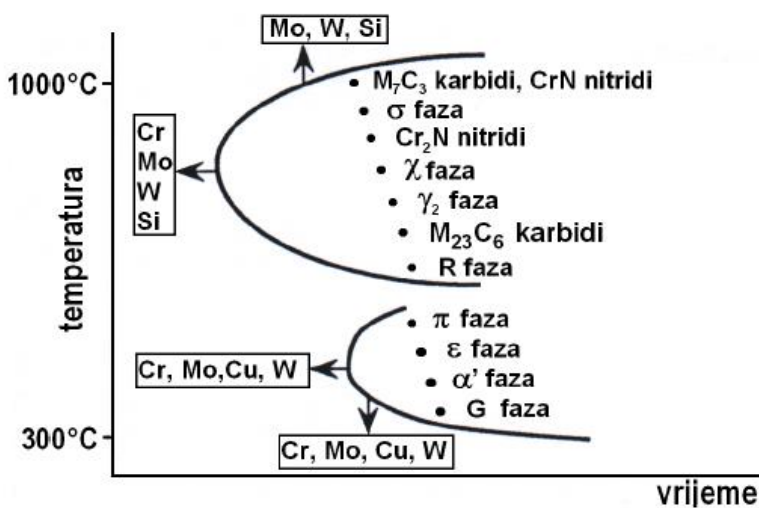
Slika 5 prikazuje formiranje dupleks strukture u pseudobinarnom dijagramu.



Slika 5. Pseudobinarni dijagram stanja Cr-Ni-Fe uz 70 % Fe [1]

Gašenjem u vodi zadržava se izbalansirani omjer faza do sobne temperature. Tim postupkom se također onemogućuje nastanak neželjenih mikrostrukturnih izlučevina koje mogu nastati u uvjetima sporog ohlađivanja na temperaturama nižim od 1000 °C. Brzina hlađenja prilikom procesa toplinske obrade utječe na nastanak tih mikrostrukturnih faza. Nastale faze mogu izazvati snižavanje vrijednosti mehaničkih svojstava i korozijske postojanosti [1].

U ovisnosti o temperaturama na kojima dolazi do njihove formacije, neželjene faze kod dupleks čelika mogu se razvrstati u dva područja kako je prikazano na slici 6. Karbidi ($M_{23}C_6$, M_7C_3), nitridi (CrN , Cr_2N), sigma-faza (σ), chi-faza (χ), Lavesova faza (η), R-faza (Fe_2Mo) i sekundarni austenit (γ_2) formiraju se u temperaturnom rasponu od 600 do 1300 °C. Od navedenih faza, najveći problem predstavlja izlučivanje sigma-faze, chi-faze te kromovih nitrida. Suvremeni dupleks čelici sadrže niski udio ugljika što rezultira vrlo rijetkim pojavljivanjem karbida M_7C_3 i karbida $M_{23}C_6$. U temperaturnom području između 300 °C i 550 °C moguća je formacija bakrom bogate ϵ -faze, π -faze, α' -faze te G-faze. Izrazito štetna faza u navedenom temperaturnom intervalu jest α' -faza, koja izaziva pad žilavosti, a pojava je poznata pod nazivom „krhkost 475 °C“. Navedena pojava, koja se formira u feritu, razlog je ograničene primjene dupleks čelika do 315 °C [1].



Slika 6. Shematski prikaz tipičnih precipitacija u dupleks strukturi [6]

Karbidi

Zbog sniženog sadržaja ugljika kod modernih dupleks čelika, reducirano je formiranje karbida. Ukoliko do formacije dođe, nastaju karbidi tipa M_7C_3 , $M_{23}C_6$, M_3C i M_6C , kao i monokarbidi tipa MC te karbonitridi tipa M(C,N). Nastanak karbida odvija se zadržavanjem na temperaturnom području između 820 °C i 480 °C ili sporim ohlađivanjem. Karbid $M_{23}C_6$ nastaje na granicama feritnog i austenitnog zrna. Navedeni karbid formira se izlaganjem na temperaturnom području između 900 i 700 °C manje od pola sata, ili duljim izlaganjem na temperaturnom području između 700 i 550 °C. Nastankom karbida s visokim udjelom kroma, reducira se sadržaj kroma u prostoru oko granice zrna. U feritnom području intenzivnije je smanjenje koncentracije kroma nego u austenitu [6], [7].

Nitridi

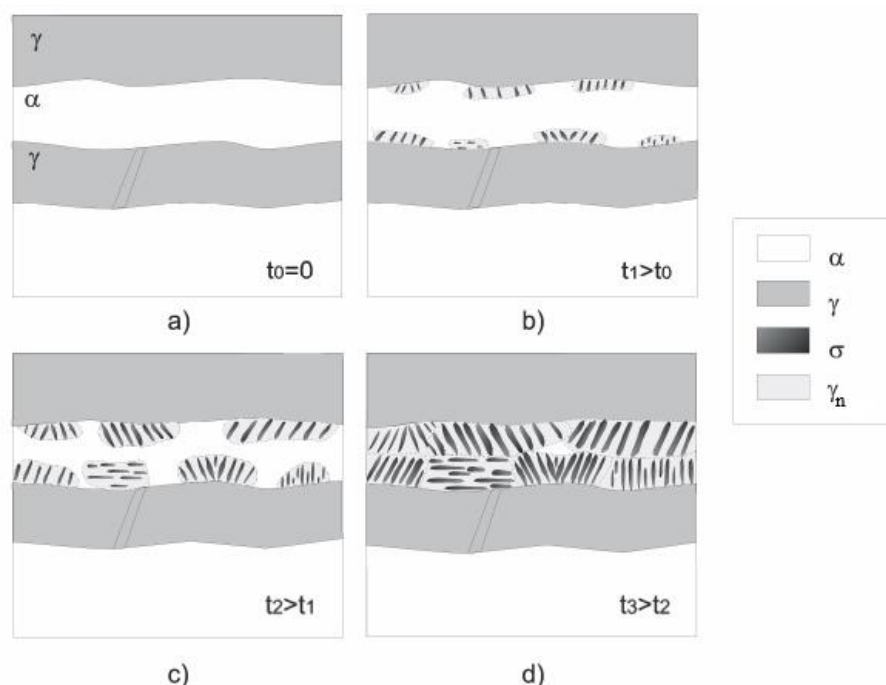
Tijekom naglog hlađenja s temperature oko 1200 °C u velikim feritnim zrnima nastaje kromov nitrid Cr_2N . Izlučivanje male količine Cr_2N može se pojaviti u istom temperaturnom intervalu i simultano s karbidom tipa $M_{23}C_6$. Nitrid Cr_2N formira se zbog prezasićenja ferita dušikom te uzrokuje pad žilavosti i otpornosti na rupičastu koroziju [6], [7].

Sigma-faza

Sigma-faza nastaje u austenitnim, feritnim i dupleks čelicima. Precipitacija ove faze u malim količinama uzrokuje pad žilavosti i istezljivosti te smanjuje otpornost na koroziju. Navedena faza

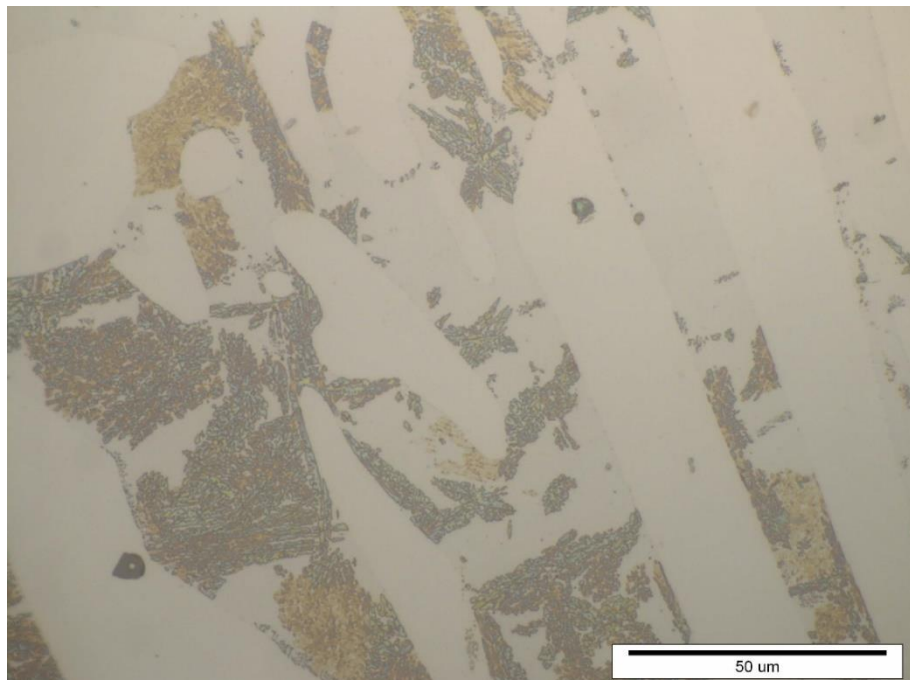
je tvrda, krhka, nemagnetična te sadrži visoki udio kroma. Formira se zadržavanjem dupleks čelika u temperaturnom području između 980 i 560 °C. Afinitet nastanka sigma-faze raste povećanjem sadržaja molibdena, kroma i ostalih alfagenih elemenata, a najveći utjecaj ima molibden. Formiranje sigma-faze kreće eutektoidnom pretvorbom ferita, odnosno ferit prekristalizira u sigma-fazu i austenit. Formacija sigma-faze početno se odvija na faznim granicama između ferita i austenita te se potom širi dalje u ferit. Novonastali austenit sadrži jako malo kroma i molibdena. Povećani sadržaj austenita u dupleks čelicima potiče stvaranje sigma-faze. Radi formacije sigma-faze postoji opasnost od nastanka lokalne korozije. Kemijski sastav navedene faze većinom je FeCr te zavisi o sastavu legure u kojoj dolazi do njena formiranja. Nastanak sigma-faze može povećati makrotvrdoću dupleks čelika do 450 HV50, dok se vrijednosti tvrdoće sigma-faze kreću oko 940 HV (68 HRC) [6], [7].

Slika 7 prikazuje mehanizam nastanka sigma-faze u dupleks čeliku.



Slika 7. Nastanak sigma-faze u dupleks čeliku [7]

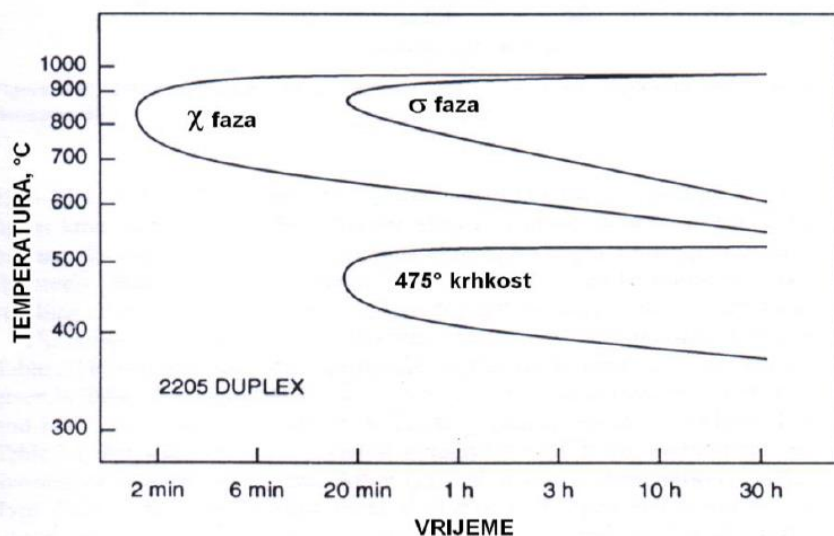
Mikrostruktura dupleks lijeva (GX2CrNiMoN 25-6-3) žarenog na 750 °C tijekom 60 min pri povećanju od 1000× prikazana je na slici 8. U mikrostrukturi se može uočiti povećani udio austenita, reducirani udio ferita te izlučena sigma-faza u odnosu na početno stanje s 50 % austenitne faze i 50 % feritne faze. Najtamnija faza je sigma-faza, feritna faza je srednjeg intenziteta, dok je austenitna faza najsvjetlijia, odnosno nenagrizenja [8].



Slika 8. Mikrostruktura dupleks lijeva (GX2CrNiMoN 25-6-3) žarenog 60 min na 750 °C [8]

Chi-faza

Chi-faza može nastati u austenitnim, feritnim i dupleks čelicima. Sadrži više molibdena, a manje kroma nego sigma-faza. Chi-faza formira se pri temperaturnom području od 730 do 1010 °C ako je u čeliku prisutno minimalno 2 % molibdena. Navedena Fe-Ni-Cr-Mo intermetalna faza je kubične mikrostrukture. Uglavnom sadrži 20-28 % Cr, 3-5,5 % Ni, 9-22 % Mo u čelicima bez volframa, dok u čelicima s volframom, uz Cr i Ni, sadrži i 4-17 % Mo i 3-16 % W. Chi-faza negativno utječe na kemijsku postojanost mehanička svojstva, poglavito žilavost. Chi faza nastaje brže nego sigma-faza te se duljim zadržavanjem na visokim temperaturama posve transformira u sigma-fazu. Vrijeme inkubacije formiranja sigma- i chi-faze u ovisnosti o temperaturi za dupleks čelik označke X2CrNiMoN 22-5-3 pokazano je TTT-dijagramom na slici 9 [6], [7].



Slika 9. TTT-dijagram nastanka sigma-faze i chi-faze za dupleks čelik X2CrNiMoN 22-5-3 [6]

Ostale značajnije štetne faze koje se mogu pojaviti u dupleks čelicima su sekundarni austenit (γ_2) i alfa-prim-faza (α'). Alfa-prim-faza nastaje kada se Fe-Cr legura nađe u temperaturnom intervalu između 400 i 520 °C na dulje vrijeme. Iste je kristalne strukture kao feritna faza, ali različitog kemijskog sastava. Alfa-prim-faza sadrži visoki udio kroma, dok feritna faza sadrži visoki udio željeza. Navedena faza povisuje vlačnu čvrstoću i mikrotvrdoću te smanjuje žilavost, istezljivost i kemijsku postojanost. Najveći pad žilavosti i istezljivosti događa se pri temperaturi od oko 475 °C. Sekundarni austenit, koji može biti Widmannstättenovog ili globularnog oblika, nastaje na temperaturnom području između 700 i 900 °C. Sekundarni austenit Widmannstättenovog tipa uglavnom se pojavljuje u metalu zavara te smanjuje otpornost na rupičastu koroziju. Nepoželjne faze koje nastaju u dupleks nehrđajućim čelicima uklanjaju se homogenizacijskim žarenjem na temperaturama između 1050 i 1100 °C te naglim ohlađivanjem, s time da se ovakav režim toplinske obrade ne može uvijek izvesti [6].

2.3. Legirni elementi u dupleks nehrđajućim čelicima

Na formiranje mikrostrukture dupleks čelika uz režim toplinske obrade utječe i kemijski sastav čelika. Kako bi se postigla optimalna kombinacija mehaničkih i kemijskih svojstava, dupleks čelicima se dodaju legirni elementi. Bitni elementi pri formaciji izbalansirane strukture dupleks čelika su krom, nikal, dušik, molibden, silicij, volfram i bakar. Navedeni elementi mogu biti alfageni i gamageni, odnosno stabiliziraju feritno, to jest austenitno područje. Radi različitog utjecaja velikog broja legirnih elemenata, potrebno je točno odrediti njihov sadržaj kako ne bi došlo do narušavanja podjednakog omjera austenita i ferita [6].

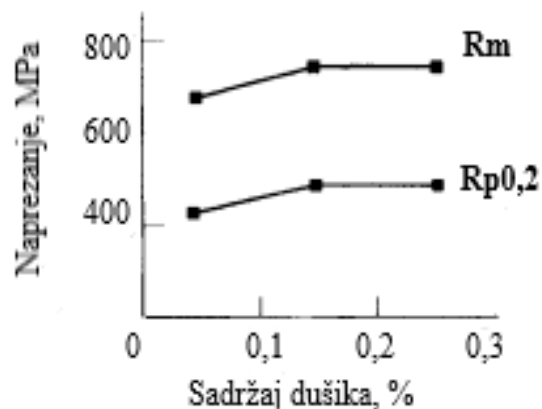
Alfageni element s najvećim sadržajem u dupleks čelicima je krom. Rastom sadržaja kroma, kojeg u dupleks čelicima ima između 21 i 33 %, dolazi do stabilizacije feritne faze u mikrostrukturi. Također, rastom udjela kroma raste otpornost prema oksidaciji na povišenim temperaturama te otpornost na koroziju. Povišeni udio kroma u mikrostrukturi može imati i negativan utjecaj jer povećava afinitet nastanka nepoželjnih intermetalnih precipitata. Porastom udjela kroma, potrebno je povisiti udio nikla kako ne bi došlo do narušavanja izbalansiranog omjera dupleks strukture. Sukladno tome, sadržaj nikla u dupleks čelicima ovisi primarno o sadržaju kroma. Nikal, kojeg u dupleks čelicima ima između 4 i 9 %, za razliku od kroma stabilizira austenitnu fazu u mikrostrukturi. Nikal reducira izlučivanje nepoželjnih faza te utječe na povećanje žilavosti. Dušik, kao i nikal, stabilizira austenitnu strukturu i tako poboljšava zavarljivost dupleks čelika. Prisutnost dušika u dupleks čeliku dovodi do rasta čvrstoće i otpornosti na rupičastu koroziju. Povišeni udio dušika smanjuje rizik nastajanja nitrida, sigma-faze i chi-faze. Molibden stabilizira feritnu strukturu te uzrokuje bolju otpornost na rupičastu koroziju i koroziju u procjepu u medijima koji sadrže kloride. Sadržaj molibdена u dupleks čelicima kreće se do 4 % zato što povišeni udio molibdена može uzrokovati formaciju štetnih intermetalnih faza. Bakar, silicij i volfram povisuju otpornost na rupičastu koroziju i koroziju u procjepu. Volfram potiče stvaranje sekundarnog austenita u metalu zavara. Preporučeni udio silicija je oko 1 % jer povećava mogućnost nastajanja sigma-faze [1], [4].

2.4. Svojstva dupleks nehrđajućih čelika

Dupleks nehrđajući čelici, poput ugljičnih čelika, imaju niski koeficijent toplinskog istezanja. Toplinska vodljivost dupleks čelika veća je nego kod austenitnih čelika. U kombinaciji s boljim mehaničkim svojstvima, navedena svojstva dupleks čelicima omogućuju primjenu pri izradi tlačnih posuda i cijevi [4].

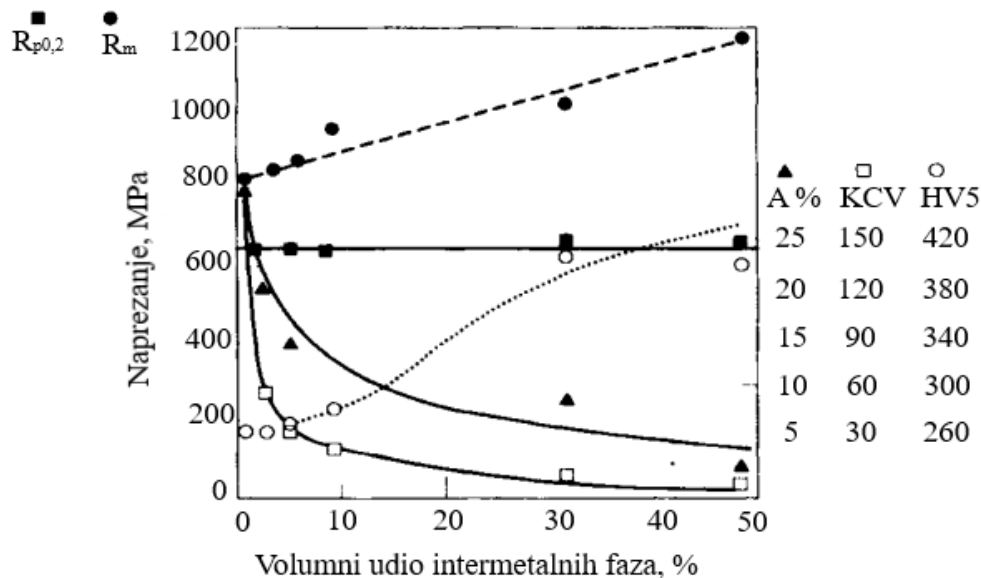
Mehanička svojstva dupleks čelika ovise o veličini zrna, stupnju segregacije i orientaciji mikrostrukture. Dupleks čelici imaju veće vrijednosti konvencionalne granice razvlačenja i vlačne čvrstoće za razliku od austenitnih i feritnih čelika. Granica tečenja dupleks čelika pri sobnoj temperaturi duplo je veća nego kod austenitnih čelika. Navedena svojstva posljedica su nekoliko različitih mehanizama kao što su: intersticijsko očvrsnuće, supstitucijsko očvrsnuće, očvrsnuće uzrokovano formacijom sekundarnog austenita, očvrsnuće radi prisutnosti feritne faze te naprezanja uzrokovana kontrakcijom faza tijekom hlađenja. Omjer austenita i ferita ima najznačajniji utjecaj na svojstva dupleks čelika. Donja temperatura primjene dupleks čelika je oko -40°C s obzirom na to da uslijed visokog udjela ferita brzo prelaze iz žilavog područja u krhko. Radi mogućnosti izlučivanja razlih štetnih faza na povišenim temperaturama, ponajviše radi *krhkosti* 475°C , primjena im je ograničena na 315°C . Mikrostruktturne izlučevine narušavaju koroziju postojanost i mehanička svojstva čelika. Sastav i sadržaj legirnih elemenata, posebice dušika, također ima značajan utjecaj na svojstva dupleks čelika. Pri udjelu dušika većem od 0,2 % austenitna faza poprima više vrijednosti granice razvlačenja, dok za niže udjele dušika (manje od 0,1 %) ferit ima višu vrijednost granice razvlačenja [4], [6].

Slika 10 prikazuje utjecaj dušika na svojstva dupleks čelika X2CrNiMoN22-5-3 (1.4462).



Slika 10. Djelovanje dušika na svojstva dupleks čelika X2CrNiMoN 22-5-3 [4].

Slika 11 prikazuje utjecaj mikrostrukturnih promjena nastalih tijekom toplinske obrade na vlačna svojstva i tvrdoću.



Slika 11. Svojstva dupleks čelika (X2CrNiMoCuN25-6-3) u ovisnosti o udjelu sigma-faze [4]

Vrijednosti mehaničkih svojstava dupleks čelika kreću se oko navedenih vrijednosti [6]:

- udarni rad loma (KV): do 170 J
- tvrdoća: od 250 do 350 HV
- mikrotvrdoća: austenitna faza oko 300 HV_{0,02}, feritna faza od 300 do 550 HV_{0,02}
- konvencionalna granica razvlačenja: od 500 do 800 N/mm²
- vlačna čvrstoća: od 700 do 1100 N/mm².

Dupleks čelici posjeduju visoku tvrdoću te otpornost na abrazijsko trošenje. Radi specifične mikrostrukture i kemijskog sastava, visoke su otpornosti na koroziju te posjeduju veću otpornost na napetosnu i rupičastu koroziju nego austenitni nehrđajući čelici [1].

2.5. Zavarivanje dupleks nehrđajućih čelika

Tijekom zavarivanja dupleks čelika postoji opasnost od narušavanja korozijske postojanosti. Dupleks čelici prve generacije nisu sadržavali dušik što je dovelo do pojavljivanja visokog udjela ferita u metalu zavara i zoni utjecaja topline. Samim time, dolazi do degradacije kemijske postojanosti i mehaničkih svojstava. Udio ferita u metalu zavara mora biti između 25 i 60 % kako bi se postigla zadovoljavajuća svojstva. Dodatni materijal može imati drugačiji sastav od osnovnog materijala te najčešće sadrži povišeni udio nikla, kroma i molibdena. Povišenjem sadržaja nikla u dodatnom materijalu, smanjuje se povišeni udio ferita i narušena svojstva u metalu zavara, ali ne i u zoni utjecaja topline. Reduciranje feritizacije i zadovoljavajuća korozijska postojanost i mehanička svojstva rezultat su dodavanja dušika u kemijski sastav. Proces zavarivanja uzrokuje smanjeni udio austenita u materijalu zavara jer se pri ponovnom zagrijavanju smanjuje udio elemenata koji promiču austenitnu fazu te dolazi do formiranja ferita. Kako ne bi došlo do navedenog procesa, pri zavarivanju se koriste čelici povišenog udjela austenita, dok dodatni materijal sadrži viši udio nikla. Zavarljivost modernih dupleks čelika zadovoljava konstrukcijske kriterije, iako pogrešan odabir postupka zavarivanja može dovesti do grešaka u zavarenom spoju. Izbor postupka zavarivanja ovisi o tipu zavarenog spoja, debljinu materijala i ostalim faktorima [4], [6].

Postupci zavarivanja dupleks čelika dijele se na [6]:

- TIG (engl. *Tungsten Inert Gas*) - elektrolučno zavarivanje netaljivom elektrodom u zaštiti inertnog plina
- MIG (engl. *Metal Inert Gas*) - elektrolučno zavarivanje taljivom žicom u zaštiti neutralnog plina
- MAG (engl. *Metal Active Gas*) - elektrolučno zavarivanje taljivom žicom u zaštiti aktivnog plina
- REL - ručno elektrolučno zavarivanje
- EPP - elektrolučno zavarivanje pod zaštitnim praškom
- FCAW (engl. *Flux Cored Arc Welding*) - zavarivanje praškom punjenom žicom
- PAW (engl. *Plasma Arc Welding*) - plazma zavarivanje
- LW (engl. *Laser Welding*) - zavarivanje laserom.

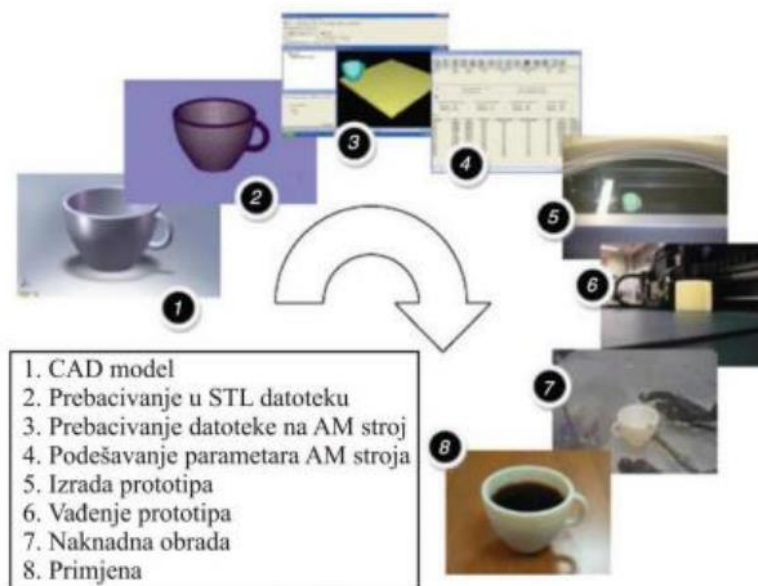
3. ADITIVNA PROIZVODNJA ELEKTRIČNIM LUKOM I ŽICOM

3.1. Aditivna proizvodnja

Aditivna proizvodnja je dio proizvodnog strojarstva koji se bavi izradbom elemenata nanošenjem čestica u tankim slojevima. Proizvodni postupak počinje konstruiranjem trodimenzionalnog modela pomoću računalnih CAD programa koji služe pri modeliranju. Proces proizvodnje može početi i digitalizacijom prostornog oblika prethodno konstruiranog predmeta pomoću skenera. Model se zatim prikazuje preko vodoravnih poprečnih presjeka koji se nakon toga slažu sloj po sloj do željenog oblika proizvoda pomoću stroja za aditivnu proizvodnju. Navedenim je postupkom proizvodnje moguće dobiti kalupe, prototipove i alate[9].

Brza proizvodnja prototipova (engl. *Rapid Prototyping*) krenula je napredovati 1980-ih kada se koristila samo za izradu prototipova. Dalnjim razvojem proizvodnje nastaju postupci kojima se mogu izraditi dijelovi složene geometrije pomoću računalnog 3D modela tvorevine u kratkom vremenu. Navedeni postupci spadaju u aditivnu proizvodnju (engl. *Additive Manufacturing*). Postupak aditivne proizvodnje počinje konstruiranjem 3D modela na računalu i njegovim rezanjem na slojeve podjednake debljine. Slojevi se zatim slažu jedan na drugi [10].

Slika 12 prikazuje faze izrade u aditivnoj proizvodnji.

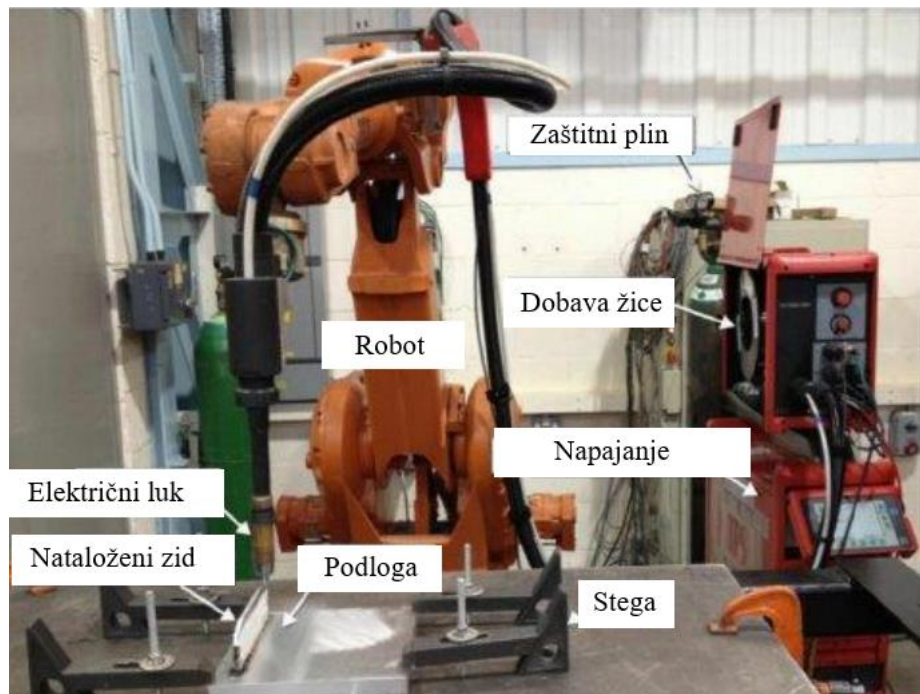


Slika 12. Faze aditivne proizvodnje [10]

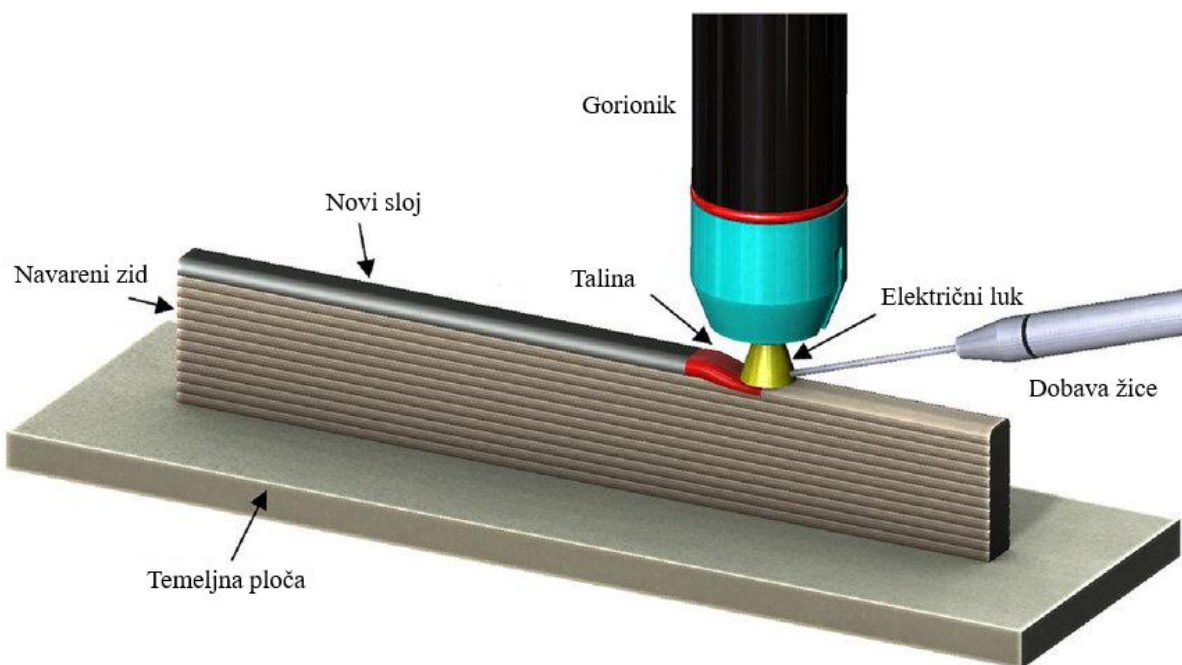
3.2. Aditivna proizvodnja električnim lukom i žicom (engl. Wire and Arc Additive Manufacturing – WAAM)

Aditivna proizvodnja električnim lukom i žicom (engl. *Wire and Arc Additive Manufacturing - WAAM*) je kombinacija procesa zavarivanja i aditivne proizvodnje. Ova tehnologija ispitivana je posljednjih tridesetak godina, a jedna od budućih primjena ove metode je proizvodnja dupleks nehrđajućih čelika. Karakteristika ovih čelika je odlična otpornost na koroziju uz vrlo dobra mehanička svojstva što ih povoljnim izborom materijala u industrijskim nafte i plina. Obradivost ovih čelika složenija je nego kod drugih čelika radi visoke čvrstoće, zbog toga su postali predmet istraživanja aditivne proizvodnje. WAAM za dodatni materijal koristi metalnu žicu i električni luk kao izvor topline. Sustav se sastoji od obične opreme za zavarivanje u kombinaciji s robotskom rukom ili CNC strojem koji se koriste za upravljanje kretanja električnog luka i upravljanje dobave žice. Nakon izrade 3D modela, konstruirani dio se zatim sprema u STL format iz kojeg se izvlače slojevi. Kontura sloja koristi se za formiranje putanje alata iza čega slijedi odabir odgovarajućih parametara zavarivanja, kao što su jakost struje, brzina dodavanja žice, brzina zavarivanja i ostali. Slojevi se zatim nanose jedan na drugi, sloj po sloj, s time da se prvi sloj nanosi na temeljnu ploču. Proizvod se nakon izrade može podvrgnuti mehaničkoj i toplinskoj obradi [11].

Slika 13 prikazuje osnovni WAAM sustav, a slika 14 nanošenje slojeva WAAM postupkom.

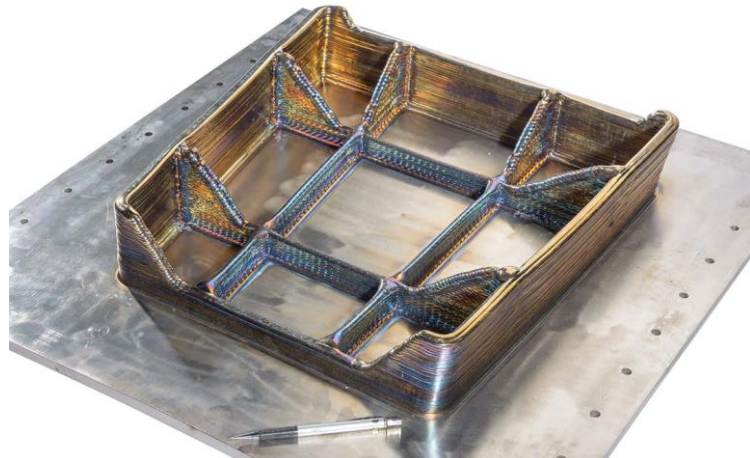


Slika 13. Dijelovi WAAM sustava [11]



Slika 14. Ilustracija WAAM postupka [12]

Ovom tehnologijom proizvode se funkcionalni metalni dijelovi i to uglavnom zrakoplovne industrije. Također, ovaj se postupak aditivne proizvodnje koristi u automobilskoj industriji i arhitekturi. Razlog primjene ove metode u navedenim industrijama je mogućnost izrade metalnih dijelova složene geometrije. Velika prednost u odnosu na klasične metode proizvodnje je ekonomična izrada geometrijski zahtjevnih proizvoda načinjenih od materijala koji imaju visoku cijenu na tržištu, kao što su titanij i nikal, slika 15. WAAM postupkom moguće je riješiti probleme sa zavarivanjem nekih vrsta čelika. Glavni nedostaci dupleks čelika su problemi koji se javljaju pri zavarivanju i strojnoj obradi. Zavarivanje tih čelika predstavlja problem radi visokog sadržaja legirnih elemenata i konstantnog zagrijavanja i hlađenja što uzrokuje stvaranje štetnih intermetalnih faza. Prednost WAAM postupka je upotreba žice za zavarivanje bez potrebe za korištenjem odgovarajućeg dodatnog materijala [11], [14].



Slika 15. Dio opreme za slijetanje od titanija proizведен WAAM postupkom [13]

Ostale prednosti WAAM proizvodnog postupka [14]:

- velika količina depozita
- mogućnost automatizacije
- ekonomična proizvodnja dijelova od skupih materijala
- jeftinija proizvodnja u usporedbi s postupcima s praškom
- strojna obradivost tijekom procesa proizvodnje
- proizvodnja elemenata kompleksne geometrije.

Nedostaci WAAM proizvodnog postupka [14]:

- javljanje zaostalih naprezanja te deformacija zbog velikih vrijednosti unosa topline
- geometrija zavara je neujednačena duž sloja
- poroznost
- potreba za naknadnom obradom odvajanjem čestica
- teško praćenje parametara zavara
- nedostatak iskustva u primjeni tehnologije
- potreba za zaštitom kod materijala koji zahtijevaju inertnu atmosferu
- potreba za visokoobrazovanom radnom snagom.

Pri aditivnoj proizvodnji električnim lukom i žicom kao izvor energije najčešće se koristi MIG/MAG postupak kojim se zavaruju čelik i aluminij, dok se za zavarivanje titanija koristi TIG ili plazma [14].

Slika 16 prikazuje aluminijski bicikl proizveden WAAM postupkom.

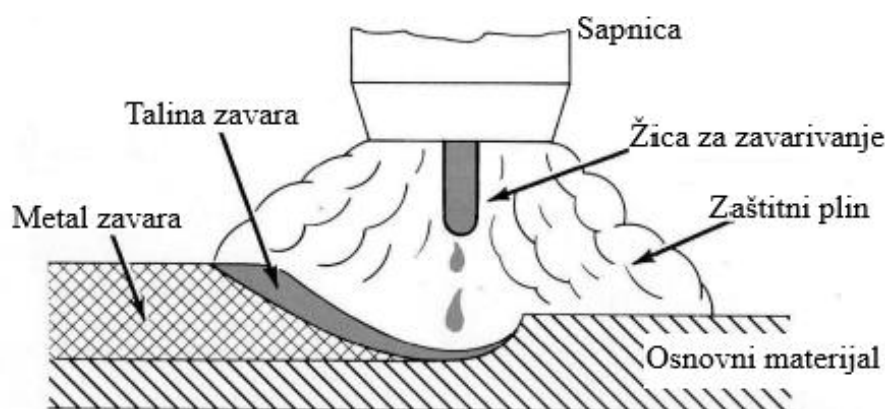


Slika 16. Aluminijski bicikl proizveden WAAM postupkom [15]

3.3. MIG/MAG postupak zavarivanja

Elektrolučno zavarivanje taljivom elektrodom u zaštitnoj atmosferi inertnog/aktivnog plina naziva se MIG/MAG (engl. *Metal Inert Gas/Metal Active Gas*). To je postupak spajanja metala taljenjem i očvršćivanjem dijela osnovnog metala i dodatnog metala pri čemu se za zaštitu rastopljenog metala koriste inertni (MIG), aktivni plinovi (MAG) ili njihove mješavine. Električni luk se u ovom postupku zavarivanja održava između taljive elektrode u obliku žice i osnovnog materijala. Metalna žica se kroz zavarivački pištolj dovodi do mjesta zavara, čijim se taljenjem nanosi dodatni materijal. Proces zavarivanja odvija se u zaštitnoj atmosferi pod utjecajem inertnih plinova, koji mogu biti argon (Ar) ili helij (He), ili aktivnih plinova, koji pretežno čine ugljikov dioksid (CO_2) ili mješavine [16].

Slika 17 prikazuje shemu MIG/MAG postupka zavarivanja.



Slika 17. Shema zavarivanja MIG/MAG postupka [16]

Parametri kod MIG/MAG postupka zavarivanja su: jakost struje zavarivanja, brzina zavarivanja, napon električnog luka, veličina dodatnog induktiviteta, dužina slobodnog kraja žice i protočna količina zaštitnog plina. Parametri zavarivanja utječu na način prijenosa materijala koji može biti: prijelaznim lukom, kratkim spojevima, štrcajućim lukom i impulsnim zavarivanjem [16], [17].

Prednosti MIG/MAG postupka zavarivanja [17], [18]:

- upotrebljiv pri zavarivanju većine metala
- širok izbora parametara i načina prijenosa materijala
- mogućnost zavarivanja u svim položajima
- upotreba raznih plinskih mješavina
- mogućnost upotrebe žice punjene praškom
- široki raspon debljina
- visoka proizvodnost i efikasnost
- prikladan za automatizaciju i mogućnost robotizacije postupka
- primjenjiv za lemljenje.

Nedostaci MIG/MAG postupka zavarivanja [17], [18]:

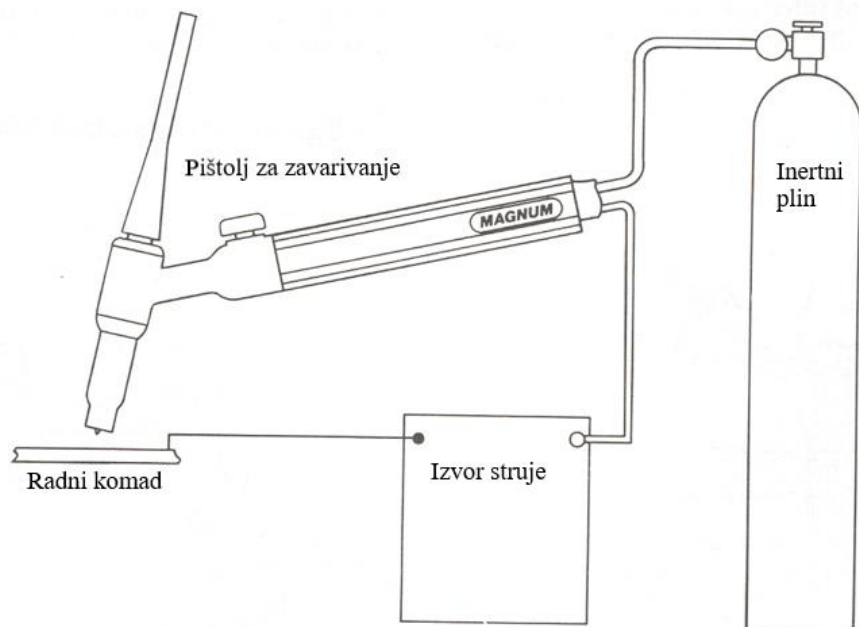
- veći broj grešaka kod neprikladne tehnike rada i parametara zavarivanja (naljepljivanje, poroznost)
- problemi pri dobavi žice
- štrcanje pri zavarivanju kratkim spojevima (gubici i naknadna obrada)
- složenost opreme i uređaja za zavarivanje (dovođenje žice, automatska regulacija)
- pri zavarivanju na otvorenom nužna je zaštita od vjetra
- ograničenost zavarivačkog pištolja.

3.4. TIG postupak zavarivanja

TIG (engl. *Tungsten Inert Gas*) je elektrolučni postupak zavarivanja kod kojeg se električni luk ostvaruje i održava između metaljive volframove elektrode (ili volframovih legura) te osnovnog materijala. Mjesto zavarivanja štiti se od nepoželjnog djelovanja okolne atmosfere inertnim plinovima, od kojih se najčešće koriste argon (Ar) i helij (He), s time da se mogu koristiti i njihove mješavine. Ovim postupkom dobivaju se vrlo kvalitetni zavari. Postupak se može provoditi ručno, poluautomatizirano i automatizirano. Automatizirani TIG postupak prikladan je za primjenu WAAM postupkom [17].

Materijali koji su pogodni za zavarivanje ovim postupkom su: magnezij i legure, bakar i legure, aluminij i legure, nehrđajući čelici, titan i legure te nelegirani i niskolegirani čelici [18].

Slika 18 prikazuje shemu opreme za TIG postupak zavarivanja.



Slika 18. Shema zavarivanja TIG postupkom [18]

Prednosti TIG postupka zavarivanja [17], [18]:

- upotrebljiv pri zavarivanju širokog spektra materijala
- ne dolazi do rasprskavanja kapljica
- kvaliteta zavara je vrlo visoka
- mogućnost zavarivanja u svim položajima

- nema dima, troske i isparavanja
- brzina dodavanja dodatnog materijala nezavisna je o energiji električnog luka
- moguća automatizacija postupka
- odličan izgled zavarenog spoja.

Neki od nedostataka zavarivanja TIG postupkom [17], [18]:

- neekonomičnost u zavarivanju debljih materijala
- otežano zavarivanje na otvorenom
- zahtjeva kvalitetnu pripremu spoja
- zahtjeva čistoću površine koja se zavaruje
- mala brzina zavarivanja
- visoka cijena opreme
- složenost izvođenja te utjecaj ljudskog faktora.

3.5. Greške pri zavarivanju

Veliki unosi topline tijekom procesa aditivne proizvodnje električnim lukom i žicom uzrokuju zaostala naprezanja te deformaciju podloge, slika 19. Navedena naprezanja najveća su u pravcu nanošenja materijala te djeluju na tolerancije izratka i izazivaju greške. U slučaju da struktura ne podnosi deformiranje, dolazi do loma ili pojave zaostalih naprezanja. Utjecaj zaostalih naprezanja i nastanak deformacija mogu se reducirati na nekoliko načina. Jedan od načina je simetrično slaganje. Ravnina simetrije postavlja se u skladu s volumenom izratka. Taloženje materijala vrši se naizmjenično sa svake strane prema ravnini simetrije. Na taj se način jedan dio hlađi, a na drugi nanosi novi sloj. Nakon ove metode potrebna je dodatna obrada. Drugi način koji omogućava dobro upravljanje topline naziva se „*back to back*“ slaganje. Kako bi se smanjila zaostala naprezanja, prije razdvajanja dijelova izradak se toplinski obrađuje. Naredna metoda bazira se na optimiranju orientacije dijelova. Svrha ove metode je dobiti što kraće slojeve taloženja jer su kod njih manje deformacije, ali i zaostala naprezanja. Posljednja metoda je visokotlačno valjanje koje se koristi za dobivanje optimalne mikrostrukture i eliminaciju zaostalih naprezanja. Nedostatak ove metode je primjena samo na jednostavnim izradcima [14].



Slika 19. Deformacija nastala uslijed velikog unosa topline [19]

Ostale greške koje se javljaju kod WAAM postupka su nadvišenje, poroznost i ugorine. Poroznost uzrokuje nedovoljan protok zaštitnog plina, niska čistoća zaštitnog plina, pogrešni parametri zavarivanja, prevelika brzina zavarivanja te nečistoće u materijalu. Ugorine nastaju radi prevelike brzine i struje zavarivanja, pogrešnog kuta zavarivanja, kemijskog sastava materijala te nedovoljnog dodavanja žice. Uzrok stvaranja nadvišenja je prevelika brzina zavarivanja [20].

3.6. Analiza recentnih istraživanja

U radu [21], korištena je aditivna proizvodnja električnim lukom i žicom kako bi se izradila dva dijela, zid i cijev, od dupleks nehrđajućeg čelika oznake 2209. Proučavana je veza između izračunatih faza ohlađivanja i formacije faza u dobivenim dijelovima. Sporije brzine ohlađivanja navarenih slojeva na višim temperaturama potiču stvaranje austenitne faze u feritu. S ciljem dobivanja željene mikrostrukture potrebno je kontrolirati parametre proizvodnog procesa i brzinu ohlađivanja te razumjeti njihov utjecaj na svojstva materijala. Pri zavarivanju je korištena žica promjera 0,9 mm, a kao zaštitni plin argon. Mikrostrukturalna analiza pokazala je da se udio ferita u dijelovima dobivenim WAAM postupkom smanjio do 30 %. Visoke brzine ohlađivanja sprječavaju formaciju intermetalnih faza kao što je sigma-faza. Mjeranjem nanotvrdoće dobivene se više vrijednosti tvrdoće u feritnoj fazi nego u austenitnoj fazi. Na proizvedenim dijelovima dobivene su niže vrijednosti tvrdoće u usporedbi s osnovnim materijalom radi nižeg sadržaja ferita u navarenim slojevima [21].

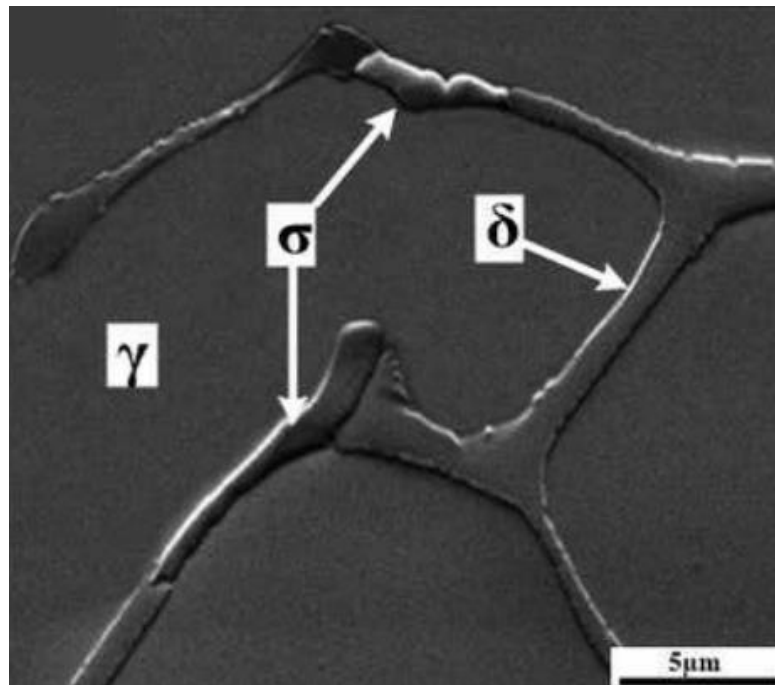
Mehanička svojstva i mikrostrukturnu karakterizaciju zida od super dupleks čelika dobivenog aditivnom proizvodnjom električnim lukom i žicom analizirali su u svom radu [22], P. P. Nikam,

D. Arun i drugi. Za proizvodnju navarenog zida koristili su žicu super dupleks čelika oznake ER2594. Prosječni udio ferita u navarenom zidu kreće se između 24,5 i 32,2 %. Porast udjela precipitata kao što su karbidi, nitridi i sigma-faza uzrokuju povećanje vrijednosti tvrdoće navarenog zida. Rastom visine navarenog zida, povećavao se udio austenita, dok su vrijednosti mikrotvrdoće po Vickersu ostale konstantne. Ciklusi ponovnog zagrijavanja tijekom proizvodnog procesa narušili su izbalansirani omjer austenita i ferita te uzrokovali povećanje tvrdoće [22].

Super dupleks nehrđajući čelici se već dugi niz godina koriste u industriji nafte i plina zbog svoje visoke čvrstoće i izvrsne otpornosti na koroziju. Uporaba aditivne proizvodnje omogućuje ekonomičnu izradu složenih dijelova te povećava iskoristivost materijala. M. Lervåg, C. Sørensen i drugi, [23], su u svome radu pomoću aditivne proizvodnje električnim lukom i žicom ispitivali svojstva navarenog zida od super dupleks nehrđajućeg čelika sa različitim unosima topline. Ciklusi naizmjeničnog zagrijavanja i hlađenja tijekom navarivanja mogu prouzročiti nastanak sigma-faze u mikrostrukturi. Pri ispitivanju korištena su tri uzorka navarenog zida sa različitim rasponom unosa topline (od 0,4 do 0,87 kJ/mm). Utvrđeno je da nije došlo do formiranja intermetalnih faza radi niskih međuprolaznih temperatura i visokog sadržaja nikla u žici za zavarivanje. Kod viših vrijednosti unosa topline zabilježena su niža mehanička svojstva radi nižeg udjela ferita, precipitacije kromovih nitrida i formacije sekundarnog austenita. U usporedbi s osnovnim metalom, izmjerene su niže vrijednosti granice elastičnosti [23].

Mikrostrukturu i mehanička svojstva navarenog elementa od austenitnog nehrđajućeg čelika, oznake X2CrNiMo17-12-2 (316L), dobivenog aditivnom proizvodnjom električnim lukom i žicom istraživali su X. Chen, J. Li, Z. Huang, H. Wang, X. Cheng i B. He, [24]. U istraživanju je korišten MIG/MAG postupak zavarivanja i žica promjera 1,2 mm. Mikrostruktura navarenog dijela sastoji se od austenita, ferita i sigma-faze. Vlačna čvrstoća navarenog elementa može se usporediti s kovanim austenitnim čelikom oznake X2CrNiMo17-12-2. Sigma-faza pozitivno djeluje na mikrotvrdoću i vlačnu čvrstoću, ali ima negativan utjecaj na granicu elastičnosti, istezanje i kontrakciju. Pri utvrđivanju tipa loma, zaključeno je da se radi o žilavom lomu radi prisutnih udubljenja na lomnoj površini. Mikropukotine koje su nastale u unutrašnjosti sigma-faze, propagirale su u veće pukotine koje su uzrokovale konačni lom materijala [24].

Slika 20 prikazuje mikrostrukturu austenitnog čelika oznake X2CrNiMo17-12-2 dobivenog aditivnom proizvodnjom električnim lukom i žicom koja se sastoji od austenita, ferita i sigma-faze.



Slika 20. Mikrostruktura elementa od austenitnog čelika (X2CrNiMo17-12-2) dobivenog aditivnom proizvodnjom električnim lukom i žicom [24]

4. TVRDOĆA

Tvrdoća je mehaničko svojstvo materijala koje se definira kao otpornost materijala prema prodiranju drugog tijela veće tvrdoće. Ono ovisi o strukturi i sastavu materijala, brzini prodiranja, temperaturi tijela i drugim faktorima [25].

Mjerenje vrijednosti tvrdoće sastoji se od dva koraka:

1. utiskivanje indentora u ispitni uzorak pri određenim uvjetima
2. određivanje karakterističnih dimenzija otiska (srednja vrijednost dijagonale, srednja vrijednost promjera ili dubina otiska).

Pri ispitivanju tvrdoće dovoljno je pripraviti plohe uzorka na kojima se pomoću uređaja za mjerenje tvrdoće pod određenom silom utiskuje indentor, a zatim mjeri veličina ili dubina otiska. Ovaj postupak spada u nerazorna ispitivanja materijala s obzirom na to da minimalno ošteće površinu ispitnog uzorka.

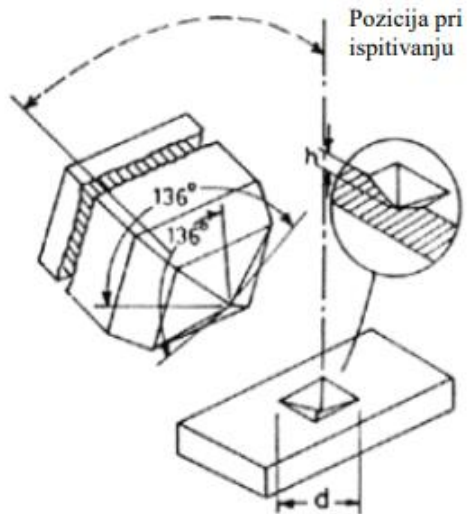
Uređaji za ispitivanje tvrdoće nazivaju se tvrdomjeri. Utiskivanjem indentora određenom silom, moguća je pojava plastične deformacije u metalnim materijalima. Indentori, ovisno o metodi ispitivanja, mogu biti u obliku piramide, stošca ili kuglice te su izrađeni od materijala visoke tvrdoće.

Najkorištenije metode za mjerenje tvrdoće su Brinell, Vickers i Rockwell [26].

4.1. Mjerenje tvrdoće po Vickersu

Metoda po Vickersu jedna je od metoda koje su nastale najkasnije. Ovom metodom riješeni su određeni problemi koji su se pojavljivali kod metode po Brinellu. Kao indentor pri mjerenu tvrdoće po Vickersu koristi se dijamant čiji je oblik četverostrana piramida s vršnjim kutem između nasuprotnih stranica od 136° [26].

Slika 21 prikazuje indentor kod Vickersove metode.



Slika 21. Indentor u obliku dijamantne piramide kod metode po Vickersu [26]

Metoda po Vickersu računa se iz sile pritiska F (N) i srednje vrijednosti dijagonale otiska d (mm^2) pomoću sljedećeg izraza:

$$HV = 0,1891 \frac{F}{d^2} \quad (4)$$

Vrijednosti sile pritiska najčešće iznose 49 do 980 N. Pri mjerenu tvrdoće tankih slojeva koriste se sile pritiska od 2 do 50 N, dok se za mjerenu mikrotvrdoće koriste i manje sile od 2 N, tablica 1 [27].

Tablica 1. Vrijednosti sile pritiska kod metode po Vickersu [26]

| Kovencionalna tvrdoća | | Semimikrotvrdoća | | Mikrotvrdoća | |
|-----------------------|----------------------|------------------|----------------------|--------------|----------------------|
| Oznaka | Ispitna sila F , N | Oznaka | Ispitna sila F , N | Oznaka | Ispitna sila F , N |
| HV5 | 49,03 | HV0,2 | 1,961 | HV0,01 | 0,09807 |
| HV10 | 98,07 | HV0,3 | 2,942 | HV0,015 | 0,147 |
| HV20 | 196,1 | HV0,5 | 4,903 | HV0,02 | 0,1961 |
| HV30 | 294,2 | HV1 | 9,807 | HV0,025 | 0,2452 |
| HV50 | 490,3 | HV2 | 19,61 | HV0,05 | 0,4903 |
| HV100 | 980,7 | HV3 | 29,42 | HV0,1 | 0,9807 |

5. EKSPERIMENTALNI DIO

5.1. Cilj rada

Cilj rada je analiza mikrostrukture na uzorku zida dupleks nehrđajućeg čelika proizvedenog aditivnom proizvodnjom električnim lukom i žicom te utjecaj mikrostrukturnih promjena na vrijednosti mikrotvrdoće u pojedinim slojevima zida, s obzirom na različite međuprolazne temperature. Mikrotvrdoća je izmjerena uz primjenu različitih opterećenja, a za svako opterećenje određena su rasipanja rezultata.

5.2. Materijal za ispitivanje

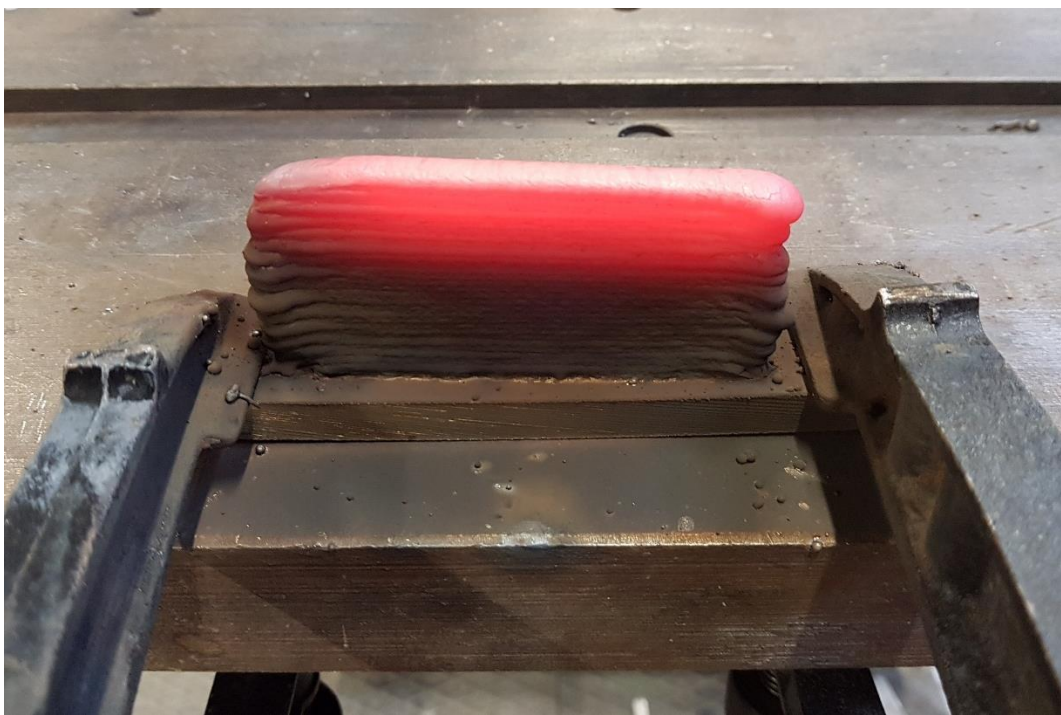
Ispitivanja su provedena na uzorcima proizvedenim aditivnom proizvodnjom električnim lukom i žicom. Navareni zid izrađen je MAG postupkom, impulsnim strujama. Kao zaštitni plin korištena je mješavina argona i dušika s 97,5 % Ar i 2,5 % N₂, protoka 18 l/min. Zid je izrađen naizmjeničnom promjenom smjera zavarivanja za svaki sloj. Kao dodatni materijal pri izradi uzorka korištena je žica od dupleks čelika čiji je kemijski sastav prikazan u tablici 2.

Tablica 2. Kemijski sastav žice za zavarivanje

| Maseni udio elemenata, % | | | | | | | | | | | | |
|--------------------------|------|------|------|------|------|------|-------|-------|-------|--------|---------|--|
| C | Si | Mn | Ni | Cr | Mo | Cu | Co | S | P | N | Fe | |
| 0,009 | 0,37 | 1,63 | 8,76 | 22,8 | 3,15 | 0,05 | 0,028 | 0,001 | 0,013 | 0,1405 | ostatak | |

Prvi sloj žice navaren je na podlogu od nehrđajućeg čelika. Ukupna duljina navarenog zida iznosila je oko 150 mm, visina oko 46 mm, a širina oko 7 mm.

Slika 22 prikazuje navareni zid od dupleks čelika proizведен WAAM postupkom neposredno nakon nanošenja zadnjeg sloja, a na slici 23 prikazan je isti zid nakon hlađenja.



Slika 22. Zid dupleks čelika neposredno nakon nanošenja zadnjeg sloja



Slika 23. Zid od dupleks čelika nakon hlađenja

Tijekom postupka navarivanja mjerene su međuprolazne temperature po visini navarenog zida. Međuprolazna temperatura mjerena je prethodno kalibriranim infracrvenim termometrom. Izmjerene vrijednosti međuprolaznih temperatura, po visini uzorka, prikazane su u tablici 3.

Tablica 3. Međuprolazne temperature po visini uzorka

| Međuprolazna temperatura, °C | Visina zida, mm |
|------------------------------|-----------------|
| 50 | 0-10,7 |
| 150 | 10,7-16,6 |
| 250 | 16,6-25,2 |
| 350 | 25,2-30,7 |
| 450 | 30,7-37,9 |
| ∞ | 37,9-46,3 |

Rezanje uzoraka na kojima su provedena planirana ispitivanja obavljeno je tračnom pilom u Laboratoriju za zavarivanje Fakulteta strojarstva i brodogradnje, slika 24.

**Slika 24. Rezanje uzorka na tračnoj pili IMET GBS 185 Eco Autocut**

Uzorci izrezani iz navarenog zida prikazani su na slici 25. Izrezana su dva uzorka na kojima je mjerena mikrotvrdoća te analizirana mikrostruktura. Jedan uzorak je prije ispitivanja podvrgnut toplinskoj obradi. Postupno je zagrijan u komornoj peći na $800\text{ }^{\circ}\text{C}$ i žaren na toj temperaturi u trajanju od 60 minuta nakon čega je gašen u ulju. Ovakva toplinska obrada provedena je s namjerom da se u mikrostrukturi izluči sigma-faza.

Toplinska obrada provedena je u Laboratoriju za toplinsku obradu na Fakultetu strojarstva i brodogradnje. Slika 26 prikazuje komornu peć u kojoj je uzorak žaren.



Slika 25. Uzorci izrezani iz navarenog zida (lijevo je žareni, desno nežaren uzorak)



Slika 26. Komorna peć za žarenje

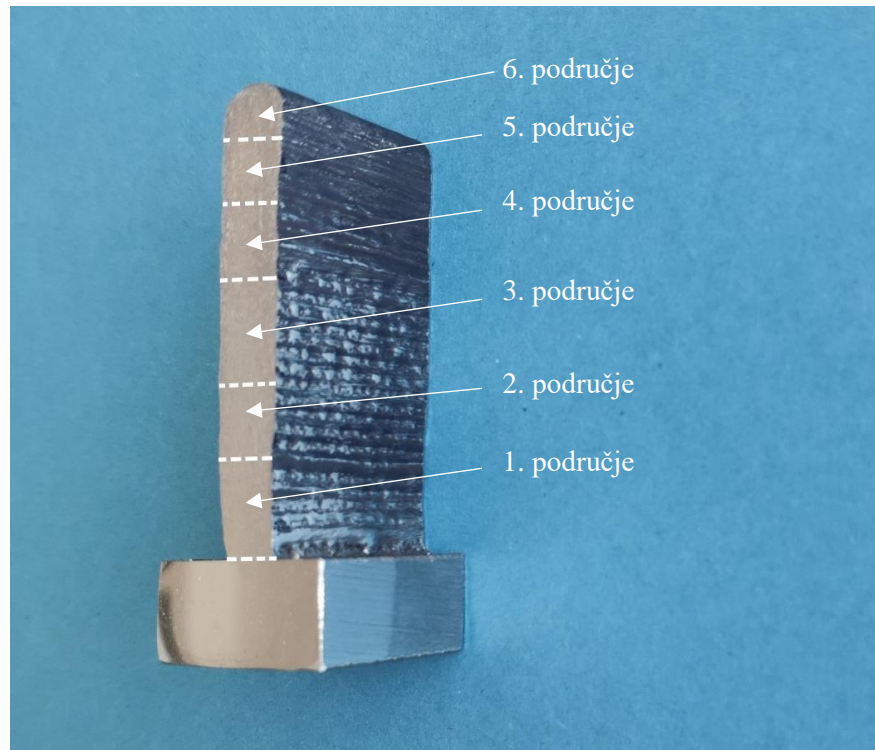
5.3. Provodenje ispitivanja

Kako bi se ostvario postavljeni cilj i provela karakterizacija uzorka dobivenih aditivnom proizvodnjom električnim lukom i žicom, na izrezanim uzorcima obavljena su sljedeća ispitivanja:

- mjerjenje mikrotvrdoće
- analiza mikrostrukture.

Navedena ispitivanja provedena su na toplinski neobrađenom uzorku koji je označen oznakom T0 te na žarenom uzorku označenom oznakom T1. Svaki je uzorak podijeljen u šest područja po visini navarenog zida, a svako područje odgovara jednoj međuprolaznoj temperaturi prema tablici 3.

Slika 27 prikazuje uzorak s karakterističnim područjima na kojima je analizirana mikrostruktura i izmjerena mikrotvrdoća.



Slika 27. Područja ispitivanja uzorka

5.3.1. Mjerjenje mikrotvrdoće

Uzorci su podvrgnuti mjerenu tvrdoće po Vickersu uz primjenu različitih opterećenja. Mjerene su mikrotvrdoće HV0,02 (0,196 N), HV0,05 (0,490 N), HV0,1 (0,981 N) i HV0,2 (1,961 N).

Ispitivanja su provedena Laboratoriju za materijalografiju Fakulteta strojarstva i brodogradnje u Zagrebu. Za svako od šest područja na oba uzorka provedeno je po dvadeset mjerena.

Mikrotvrdoča je mjerena na uređaju PMT-3 koji ima povećanje od $500\times$, a prikazan je na slici 28.

Površine uzoraka su prije mjerena polirane kako bi mjerjenje bilo preciznije, a očitanje dijagonala jednostavnije.



Slika 28. Mikrotvrdomjer PMT-3

5.3.2. Analiza mikrostrukture

Mikrostrukturalna analiza uzoraka provedena je u Laboratoriju za materijalografiju Fakulteta strojarstva i brodogradnje u Zagrebu, na optičkom mikroskopu OLYMPUS GX51, pri povećanjima od $50\times$, $100\times$, $200\times$, $500\times$ i $1000\times$.

Slika 29 prikazuje optički mikroskop.



Slika 29. Optički mikroskop OLYMPUS GX51

Površine uzoraka su brušene, a zatim i polirane te promatrane pod mikroskopom u poliranom stanju. S ciljem otkrivanja mikrostrukture uzoraka, površine uzoraka su nakon toga podvrgnute nagrizanju.

Uzorak T0, koji nije toplinski obrađen, nagrizen je elektrokemijski, dok je uzorak T1, odnosno toplinski obrađeni uzorak, nagrzen u Murakami otopini. Uzorak je uronjen u prethodno zagrijanu otopinu na 50 °C oko četrdeset sekundi. Uzorak je nakon toga ispran u vodi, a zatim i u alkoholu te osušen u struji toplog zraka.

Murakami otopina sadrži 100 mL vode, 10 g kalijevog fericijanida te 10 g kalijevog hidroksida. Austenitna faza, za razliku od feritne i sigma-faze, ne reagira s otopinom. Otopina najviše nagriza sigma-fazu pa je ova faza najtamnija. Feritna faza je također nagrzena i može se razlikovati od austenitne faze, ali je puno svjetlijia od sigma-faze.

5.4. Rezultati ispitivanja

5.4.1. Rezultati mjerena mikrotvrdoće

Rezultati mjerena i srednje vrijednosti mikrotvrdoće na svih šest područja, na oba uzorka, za različita opterećenja, prikazani su u tablicama 4, 5, 6, 7, 8 i 9.

Tablica 4. Rezultati mjerena mikrotvrdoće u 1. području za oba uzorka

| Broj mjerena | 1. područje | | | | | | | |
|--------------|-------------|------------|------------|------------|------------|------------|------------|------------|
| | Uzorak T0 | | | | Uzorak T1 | | | |
| | HV0,02 | HV0,05 | HV0,1 | HV0,2 | HV0,02 | HV0,05 | HV0,1 | HV0,2 |
| 1 | 314 | 191 | 216 | 302 | 601 | 233 | 281 | 241 |
| 2 | 242 | 349 | 263 | 318 | 176 | 376 | 295 | 273 |
| 3 | 134 | 241 | 251 | 336 | 139 | 248 | 275 | 383 |
| 4 | 297 | 196 | 318 | 324 | 397 | 423 | 310 | 287 |
| 5 | 201 | 362 | 343 | 313 | 297 | 220 | 195 | 369 |
| 6 | 373 | 196 | 295 | 302 | 397 | 214 | 281 | 302 |
| 7 | 220 | 202 | 326 | 269 | 282 | 241 | 184 | 376 |
| 8 | 145 | 273 | 382 | 355 | 519 | 233 | 199 | 302 |
| 9 | 297 | 207 | 371 | 297 | 352 | 264 | 453 | 324 |
| 10 | 254 | 302 | 263 | 313 | 297 | 220 | 371 | 369 |
| 11 | 134 | 302 | 334 | 330 | 139 | 336 | 403 | 355 |
| 12 | 397 | 313 | 371 | 278 | 452 | 349 | 352 | 355 |
| 13 | 201 | 141 | 403 | 287 | 230 | 313 | 275 | 383 |
| 14 | 220 | 196 | 403 | 313 | 163 | 407 | 318 | 391 |
| 15 | 282 | 202 | 269 | 282 | 423 | 196 | 225 | 355 |
| 16 | 220 | 171 | 302 | 269 | 332 | 214 | 467 | 355 |
| 17 | 332 | 181 | 392 | 336 | 452 | 207 | 453 | 349 |
| 18 | 373 | 226 | 382 | 282 | 558 | 207 | 352 | 355 |
| 19 | 397 | 324 | 275 | 318 | 297 | 248 | 310 | 336 |
| 20 | 201 | 159 | 403 | 313 | 210 | 376 | 415 | 383 |
| \bar{x} | 262 | 237 | 328 | 307 | 336 | 276 | 321 | 342 |

Tablica 5. Rezultati mjerenja mikrotvrdoće u 2. području za oba uzorka

| Broj mjerenja | 2. područje | | | | | | | |
|------------------|-------------|------------|------------|------------|------------|------------|------------|------------|
| | Uzorak T0 | | | | Uzorak T1 | | | |
| | HV0,02 | HV0,05 | HV0,1 | HV0,2 | HV0,02 | HV0,05 | HV0,1 | HV0,2 |
| 1 | 145 | 362 | 310 | 313 | 230 | 550 | 371 | 383 |
| 2 | 163 | 220 | 352 | 297 | 163 | 576 | 415 | 423 |
| 3 | 254 | 110 | 295 | 324 | 156 | 391 | 343 | 355 |
| 4 | 254 | 202 | 403 | 336 | 220 | 441 | 318 | 355 |
| 5 | 210 | 336 | 392 | 282 | 267 | 324 | 392 | 355 |
| 6 | 230 | 220 | 361 | 313 | 651 | 191 | 352 | 407 |
| 7 | 423 | 302 | 343 | 313 | 769 | 226 | 326 | 313 |
| 8 | 220 | 159 | 257 | 256 | 601 | 324 | 257 | 324 |
| 9 | 267 | 336 | 221 | 318 | 242 | 241 | 310 | 399 |
| 10 | 163 | 226 | 371 | 282 | 397 | 292 | 302 | 369 |
| 11 | 267 | 220 | 295 | 336 | 558 | 292 | 371 | 302 |
| 12 | 210 | 273 | 281 | 302 | 397 | 441 | 392 | 407 |
| 13 | 192 | 151 | 199 | 256 | 332 | 336 | 392 | 297 |
| 14 | 139 | 256 | 326 | 318 | 483 | 273 | 288 | 432 |
| 15 | 169 | 233 | 326 | 324 | 558 | 264 | 310 | 415 |
| 16 | 134 | 292 | 235 | 342 | 483 | 550 | 343 | 391 |
| 17 | 150 | 233 | 281 | 313 | 452 | 313 | 326 | 415 |
| 18 | 373 | 171 | 302 | 318 | 242 | 202 | 371 | 376 |
| 19 | 352 | 171 | 295 | 324 | 282 | 214 | 403 | 324 |
| 20 | 558 | 196 | 318 | 318 | 483 | 233 | 403 | 233 |
| Ȑ | 244 | 234 | 308 | 309 | 398 | 334 | 349 | 364 |

Tablica 6. Rezultati mjerenja mikrotvrdoće u 3. području za oba uzorka

| Broj mjerenja | 3. područje | | | | | | | |
|------------------|-------------|------------|------------|------------|------------|------------|------------|------------|
| | Uzorak T0 | | | | Uzorak T1 | | | |
| | HV0,02 | HV0,05 | HV0,1 | HV0,2 | HV0,02 | HV0,05 | HV0,1 | HV0,2 |
| 1 | 332 | 256 | 288 | 287 | 220 | 376 | 371 | 349 |
| 2 | 254 | 362 | 225 | 307 | 210 | 313 | 361 | 391 |
| 3 | 332 | 134 | 246 | 292 | 267 | 362 | 263 | 369 |
| 4 | 230 | 186 | 318 | 324 | 483 | 196 | 246 | 362 |
| 5 | 254 | 148 | 334 | 307 | 282 | 313 | 403 | 376 |
| 6 | 176 | 233 | 195 | 282 | 297 | 167 | 382 | 342 |
| 7 | 452 | 207 | 352 | 307 | 352 | 256 | 392 | 423 |
| 8 | 176 | 362 | 288 | 273 | 373 | 256 | 392 | 318 |
| 9 | 314 | 273 | 240 | 318 | 352 | 376 | 382 | 376 |
| 10 | 282 | 391 | 225 | 287 | 297 | 196 | 263 | 342 |
| 11 | 267 | 163 | 334 | 307 | 558 | 233 | 334 | 399 |
| 12 | 452 | 407 | 221 | 287 | 176 | 441 | 382 | 256 |
| 13 | 332 | 362 | 251 | 307 | 254 | 273 | 382 | 318 |
| 14 | 176 | 186 | 269 | 278 | 267 | 362 | 246 | 302 |
| 15 | 282 | 176 | 310 | 307 | 373 | 336 | 343 | 399 |
| 16 | 192 | 191 | 221 | 292 | 373 | 313 | 235 | 313 |
| 17 | 254 | 324 | 269 | 313 | 220 | 391 | 310 | 391 |
| 18 | 267 | 186 | 178 | 307 | 184 | 362 | 352 | 376 |
| 19 | 220 | 159 | 269 | 264 | 373 | 248 | 302 | 391 |
| 20 | 121 | 362 | 240 | 269 | 267 | 171 | 361 | 391 |
| \bar{x} | 268 | 253 | 264 | 296 | 309 | 297 | 335 | 359 |

Tablica 7. Rezultati mjerena mikrotvrdoće u 4. području za oba uzorka

| Broj mjerena | 4. područje | | | | | | | |
|-----------------|-------------|------------|------------|------------|------------|------------|------------|------------|
| | Uzorak T0 | | | | Uzorak T1 | | | |
| | HV0,02 | HV0,05 | HV0,1 | HV0,2 | HV0,02 | HV0,05 | HV0,1 | HV0,2 |
| 1 | 176 | 292 | 230 | 307 | 423 | 167 | 240 | 383 |
| 2 | 220 | 349 | 288 | 313 | 201 | 151 | 263 | 307 |
| 3 | 139 | 233 | 318 | 278 | 314 | 151 | 225 | 369 |
| 4 | 220 | 226 | 269 | 302 | 373 | 214 | 334 | 292 |
| 5 | 125 | 362 | 302 | 278 | 314 | 181 | 334 | 336 |
| 6 | 163 | 248 | 318 | 264 | 558 | 191 | 371 | 342 |
| 7 | 220 | 241 | 257 | 260 | 519 | 336 | 310 | 330 |
| 8 | 176 | 163 | 295 | 260 | 230 | 196 | 288 | 349 |
| 9 | 139 | 376 | 225 | 248 | 267 | 220 | 203 | 407 |
| 10 | 125 | 248 | 275 | 269 | 282 | 131 | 318 | 376 |
| 11 | 150 | 273 | 168 | 256 | 282 | 220 | 371 | 292 |
| 12 | 297 | 226 | 275 | 241 | 210 | 207 | 334 | 407 |
| 13 | 397 | 241 | 326 | 252 | 156 | 233 | 352 | 313 |
| 14 | 314 | 282 | 326 | 241 | 332 | 220 | 171 | 391 |
| 15 | 297 | 407 | 225 | 226 | 373 | 220 | 310 | 391 |
| 16 | 397 | 376 | 246 | 252 | 332 | 256 | 302 | 362 |
| 17 | 282 | 256 | 251 | 273 | 373 | 407 | 371 | 355 |
| 18 | 121 | 336 | 302 | 278 | 230 | 282 | 184 | 376 |
| 19 | 176 | 151 | 334 | 252 | 332 | 282 | 251 | 423 |
| 20 | 106 | 196 | 225 | 248 | 332 | 336 | 361 | 376 |
| Ȑ | 212 | 274 | 273 | 265 | 322 | 230 | 295 | 359 |

Tablica 8. Rezultati mjerena mikrotvrdoće u 5. području za oba uzorka

| Broj mjerena | 5. područje | | | | | | | |
|-----------------------------|-------------|------------|------------|------------|------------|------------|------------|------------|
| | Uzorak T0 | | | | Uzorak T1 | | | |
| | HV0,02 | HV0,05 | HV0,1 | HV0,2 | HV0,02 | HV0,05 | HV0,1 | HV0,2 |
| 1 | 254 | 214 | 275 | 302 | 267 | 233 | 371 | 355 |
| 2 | 121 | 191 | 295 | 292 | 452 | 256 | 263 | 376 |
| 3 | 332 | 214 | 221 | 302 | 314 | 273 | 392 | 324 |
| 4 | 397 | 391 | 246 | 282 | 184 | 176 | 221 | 383 |
| 5 | 169 | 336 | 225 | 313 | 519 | 362 | 392 | 376 |
| 6 | 106 | 171 | 188 | 307 | 163 | 202 | 371 | 369 |
| 7 | 139 | 302 | 302 | 313 | 267 | 134 | 415 | 302 |
| 8 | 125 | 167 | 240 | 313 | 397 | 159 | 310 | 355 |
| 9 | 113 | 191 | 288 | 307 | 352 | 186 | 343 | 349 |
| 10 | 176 | 159 | 295 | 330 | 373 | 159 | 334 | 330 |
| 11 | 332 | 376 | 221 | 307 | 332 | 362 | 326 | 362 |
| 12 | 184 | 349 | 235 | 324 | 373 | 233 | 225 | 399 |
| 13 | 163 | 163 | 302 | 307 | 519 | 181 | 403 | 369 |
| 14 | 192 | 202 | 251 | 171 | 169 | 336 | 195 | 336 |
| 15 | 121 | 248 | 326 | 302 | 519 | 233 | 275 | 362 |
| 16 | 201 | 302 | 295 | 297 | 314 | 313 | 246 | 376 |
| 17 | 163 | 207 | 221 | 324 | 332 | 214 | 427 | 383 |
| 18 | 156 | 233 | 310 | 273 | 163 | 264 | 392 | 349 |
| 19 | 184 | 214 | 251 | 273 | 242 | 241 | 295 | 383 |
| 20 | 254 | 391 | 288 | 307 | 201 | 226 | 288 | 349 |
| \bar{x} | 194 | 251 | 264 | 297 | 323 | 237 | 324 | 359 |

Tablica 9. Rezultati mjerena mikrotvrdoće u 6. području za oba uzorka

| Broj mjerena | 6. područje | | | | | | | |
|-----------------|-------------|------------|------------|------------|------------|------------|------------|------------|
| | Uzorak T0 | | | | Uzorak T1 | | | |
| | HV0,02 | HV0,05 | HV0,1 | HV0,2 | HV0,02 | HV0,05 | HV0,1 | HV0,2 |
| 1 | 134 | 336 | 269 | 318 | 242 | 233 | 235 | 376 |
| 2 | 169 | 313 | 288 | 264 | 254 | 313 | 352 | 451 |
| 3 | 352 | 207 | 235 | 297 | 230 | 167 | 263 | 355 |
| 4 | 163 | 241 | 288 | 287 | 254 | 163 | 352 | 383 |
| 5 | 201 | 226 | 295 | 292 | 230 | 391 | 275 | 307 |
| 6 | 102 | 273 | 295 | 313 | 373 | 241 | 184 | 307 |
| 7 | 150 | 207 | 263 | 307 | 452 | 391 | 230 | 399 |
| 8 | 145 | 186 | 302 | 336 | 267 | 292 | 343 | 342 |
| 9 | 121 | 376 | 281 | 297 | 230 | 196 | 382 | 336 |
| 10 | 220 | 163 | 269 | 307 | 220 | 202 | 371 | 307 |
| 11 | 210 | 292 | 310 | 307 | 267 | 313 | 181 | 278 |
| 12 | 156 | 273 | 246 | 318 | 297 | 144 | 371 | 287 |
| 13 | 130 | 141 | 240 | 292 | 220 | 186 | 295 | 383 |
| 14 | 163 | 137 | 343 | 302 | 220 | 292 | 334 | 349 |
| 15 | 106 | 207 | 352 | 313 | 176 | 324 | 295 | 376 |
| 16 | 156 | 186 | 334 | 313 | 297 | 241 | 361 | 349 |
| 17 | 139 | 134 | 207 | 302 | 282 | 196 | 295 | 383 |
| 18 | 109 | 313 | 310 | 302 | 282 | 362 | 221 | 383 |
| 19 | 176 | 155 | 295 | 297 | 332 | 256 | 269 | 349 |
| 20 | 156 | 376 | 263 | 287 | 483 | 207 | 361 | 391 |
| \bar{x} | 163 | 237 | 284 | 303 | 281 | 255 | 299 | 355 |

5.4.2. Rezultati mikrostrukturne analize

Kvalitativna analiza mikrostrukture

Mikrostruktura toplinski neobrađenog uzorka u nagrizenom stanju, snimljena pri povećanju $50\times$, prikazana je na slici 30, a na slici 31 prikazana je mikrostruktura toplinski obrađenog uzorka, snimljena pri istom povećanju. Pri ovom povećanju jasno se vide pojedini slojevi navarenog materijala, mikrostruktura je dendritna, ljevačka i tipična za metal zavara. Ne može se uočiti razlika između mikrostrukture toplinski obrađenog i toplinski neobrađenog uzorka.



Slika 30. Mikrostruktura toplinski neobrađenog uzorka snimljena pri povećanju $50\times$



Slika 31. Mikrostruktura toplinski obrađenog uzorka snimljena pri povećanju $50\times$

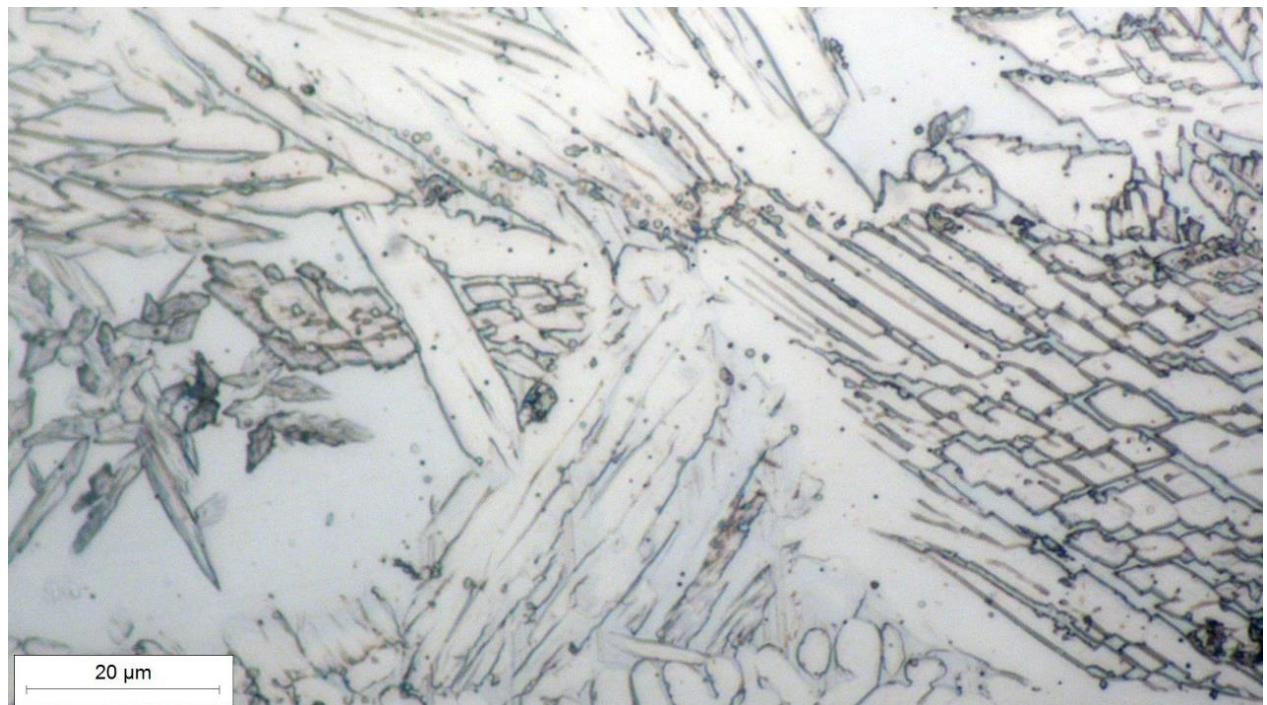
Na slikama 32, 33, 34, 35, 36 i 37 prikazana je mikrostruktura toplinski neobrađenog uzorka u pojedinim područjima, snimljena na svjetlosnom mikroskopu pri povećanju od $1000\times$.

Pri ovom povećanju jasnije se vidi mikrostruktura pojedinih navarenih slojeva, prisutne faze te oblik i veličina kristalnih zrna pojedinih faza. Mikrostruktura se sastoji od ferita i austenita, što je prema kemijskom sastavu dodatnog materijala bilo očekivano.

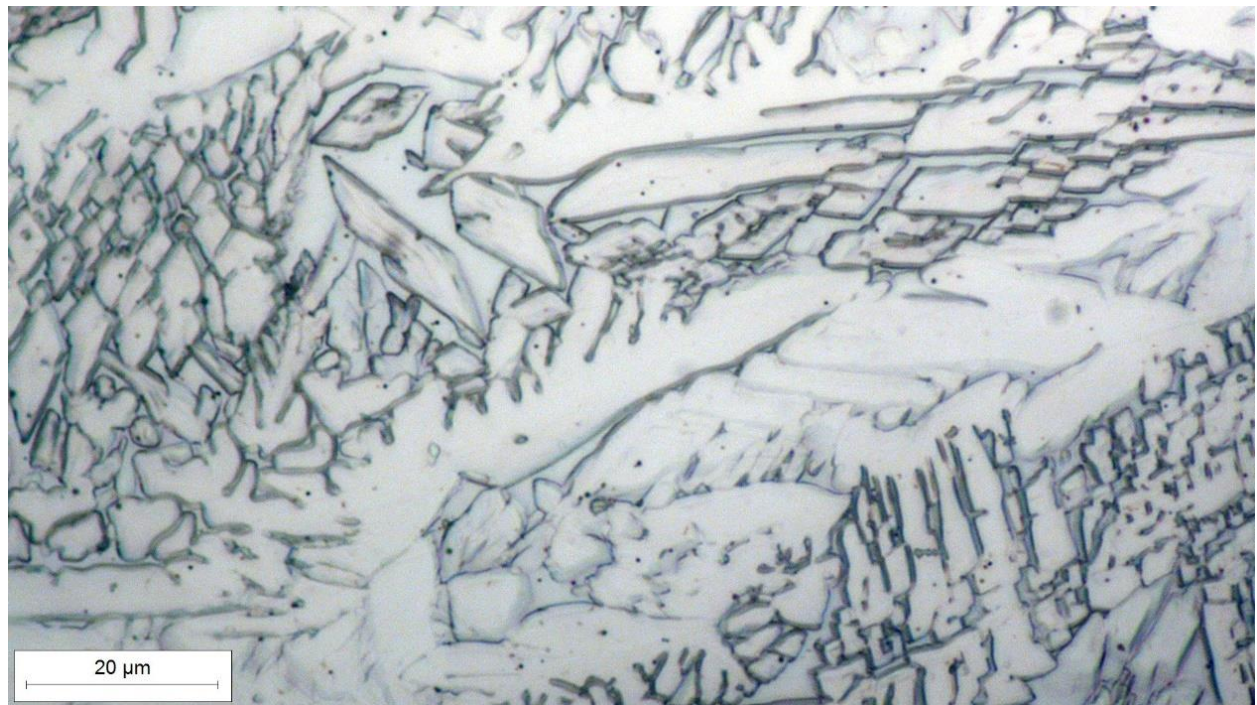
Moguće je da su se zbog režima grijanja i hlađenja, pri nanošenju pojedinih slojeva, određena područja kroz dulje vrijeme zadržavala u temperaturnim intervalima gdje je formiranje nepoželjnih faza vrlo izvjesno. Zbog ograničenja svjetlosnog mikroskopa te sitne faze nisu vidljive. Mjestimice se mogu uočiti samo nešto izraženije granice između kristalnih zrna austenita i ferita.

Na slikama 38, 39, 40, 41, 42 i 43 prikazana je mikrostruktura toplinski obrađenog uzorka u pojedinim područjima, snimljena na svjetlosnom mikroskopu pri povećanju od $1000\times$. Uzorak je žaren na $800\text{ }^{\circ}\text{C}$ kako bi se u mikrostrukturi izazvalo formiranje sigma-faze.

U svim slojevima toplinski obrađenog uzorka, osim ferita i austenita, u mikrostrukturi je uočena i sigma-faza koja se vidi kao najtamnija faza, na granicama između austenitnih i feritnih zrna. U odnosu na nežareni uzorak, povećao se volumni udio austenita i smanjio udio ferita.



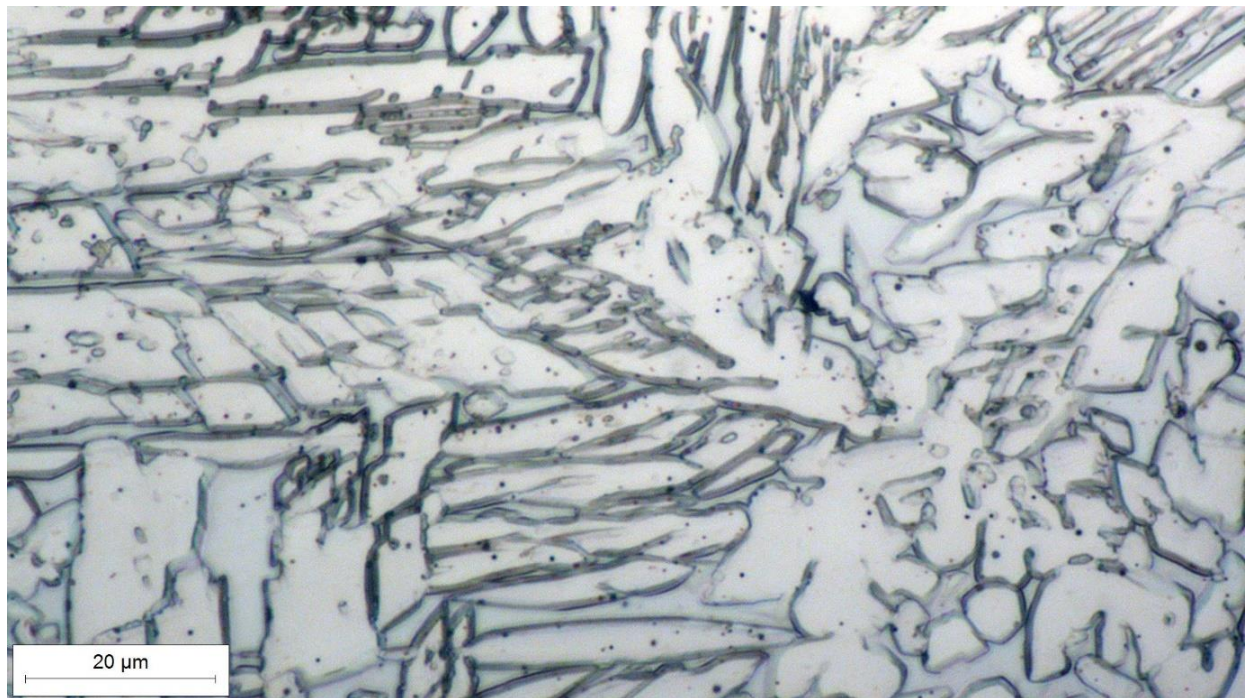
Slika 32. Mikrostruktura toplinski neobrađenog uzorka u 1. području



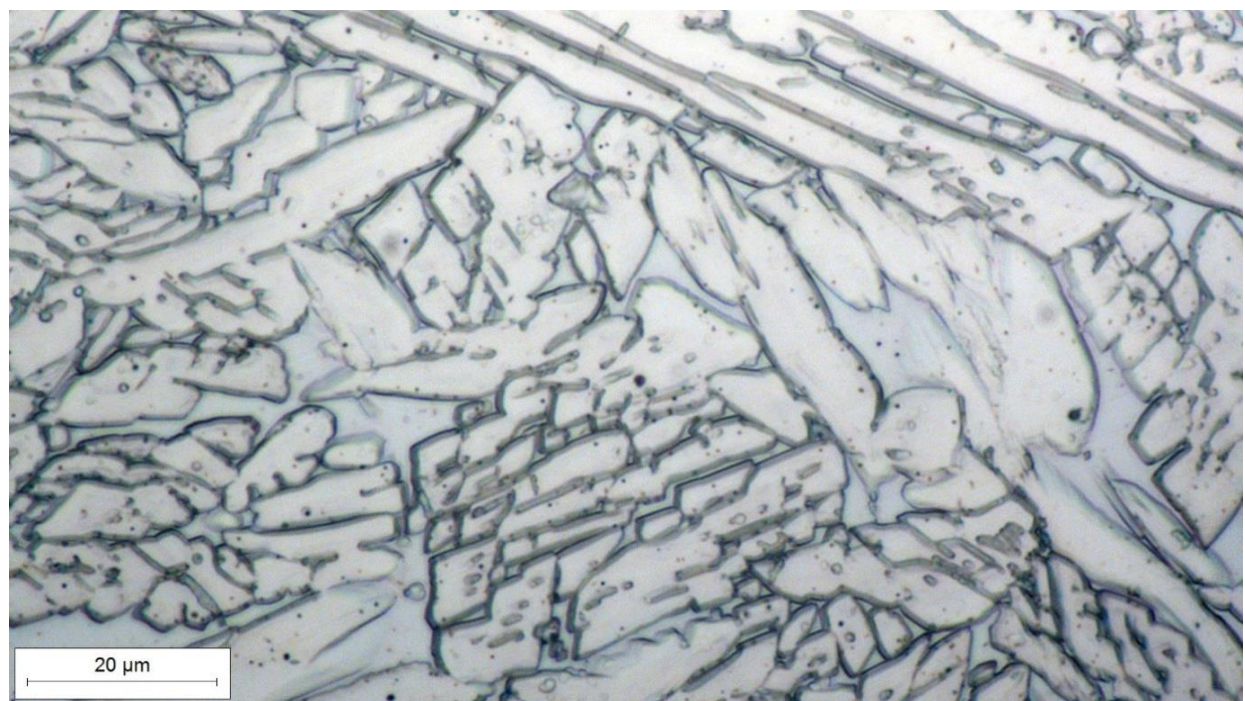
Slika 33. Mikrostruktura toplinski neobrađenog uzorka u 2. području



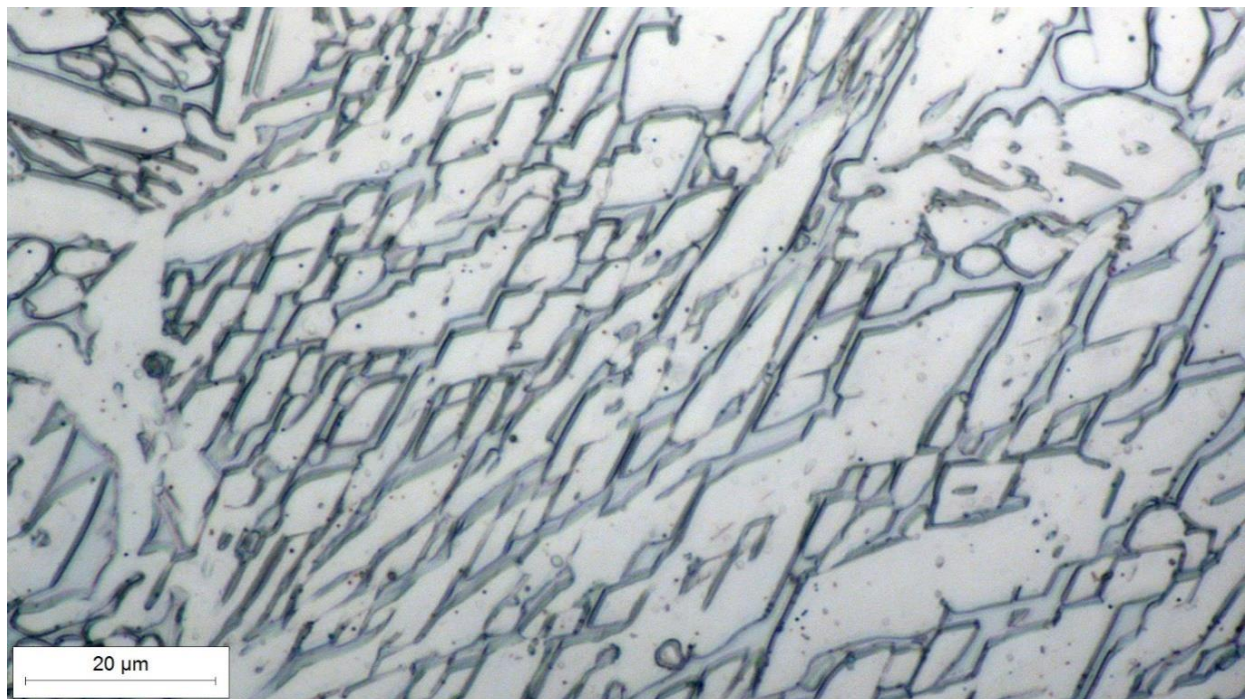
Slika 34. Mikrostruktura toplinski neobrađenog uzorka u 3. području



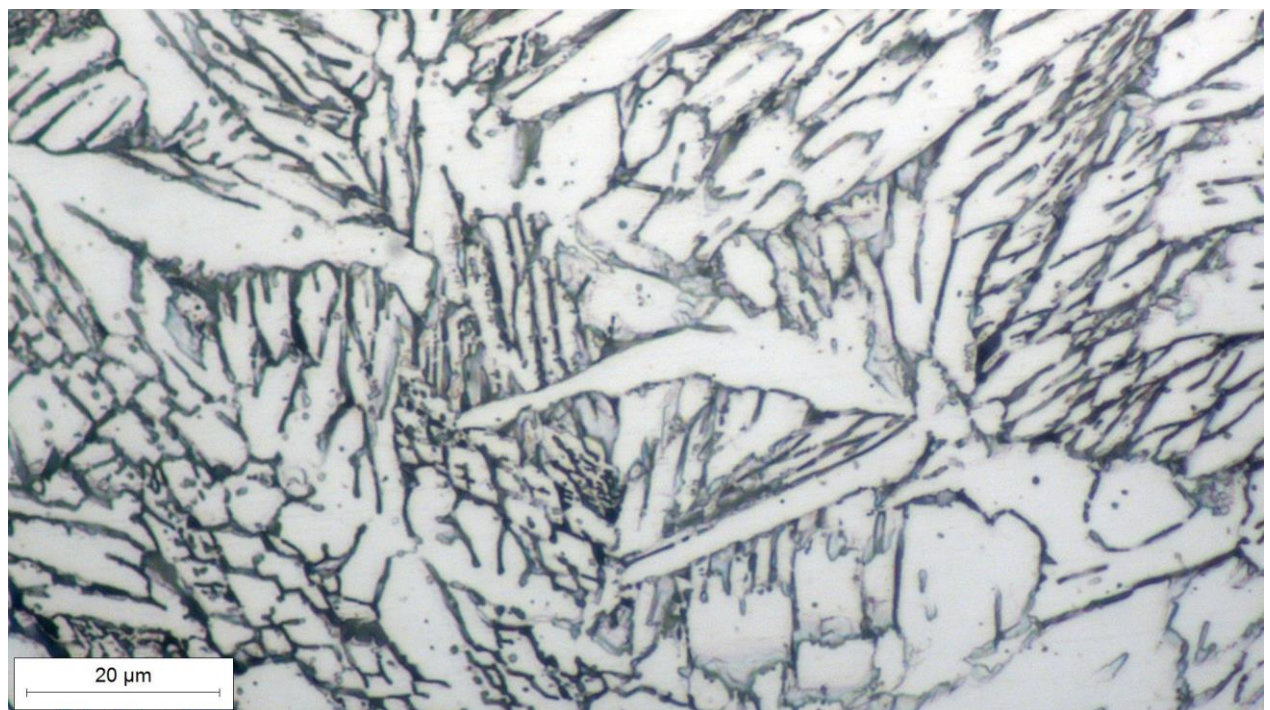
Slika 35. Mikrostruktura toplinski neobrađenog uzorka u 4. području



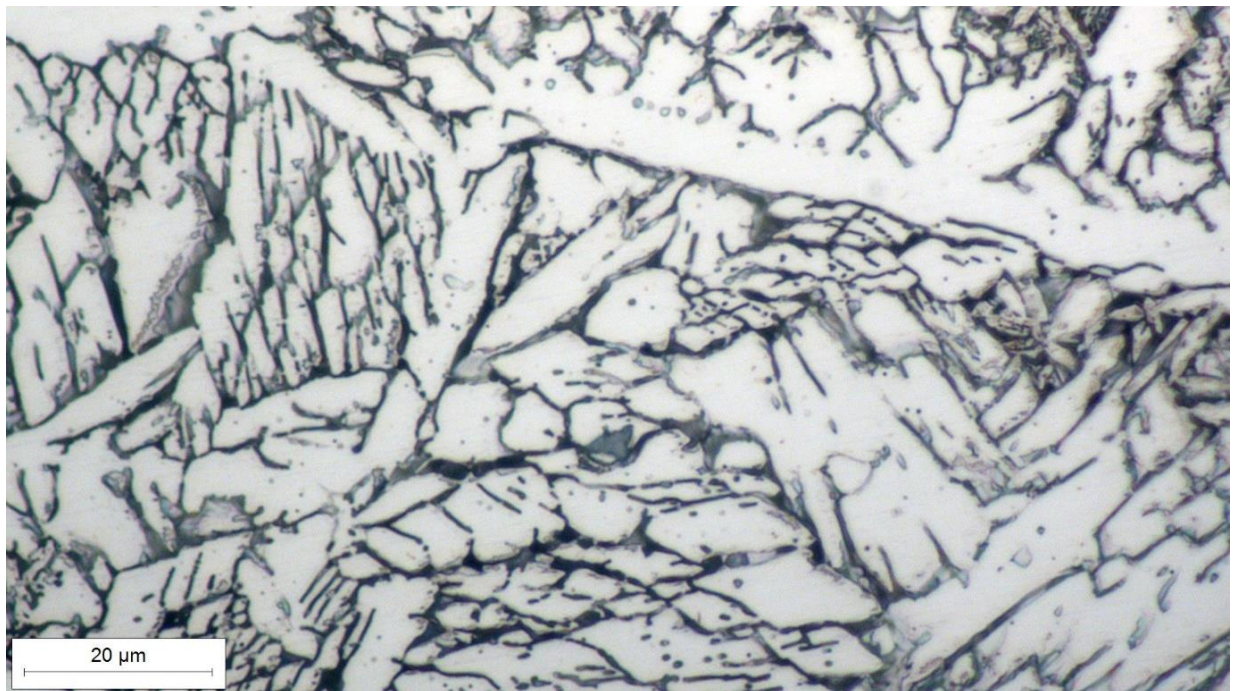
Slika 36. Mikrostruktura toplinski neobrađenog uzorka u 5. području



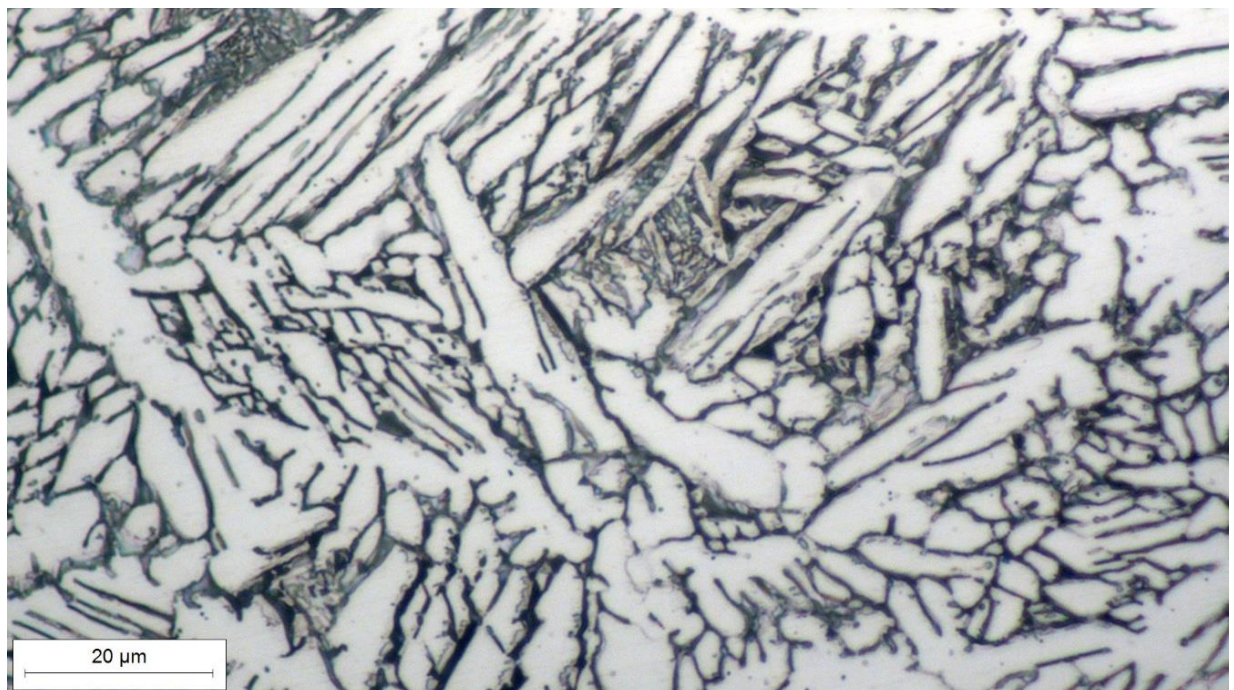
Slika 37. Mikrostruktura toplinski neobrađenog uzorka u 6. području



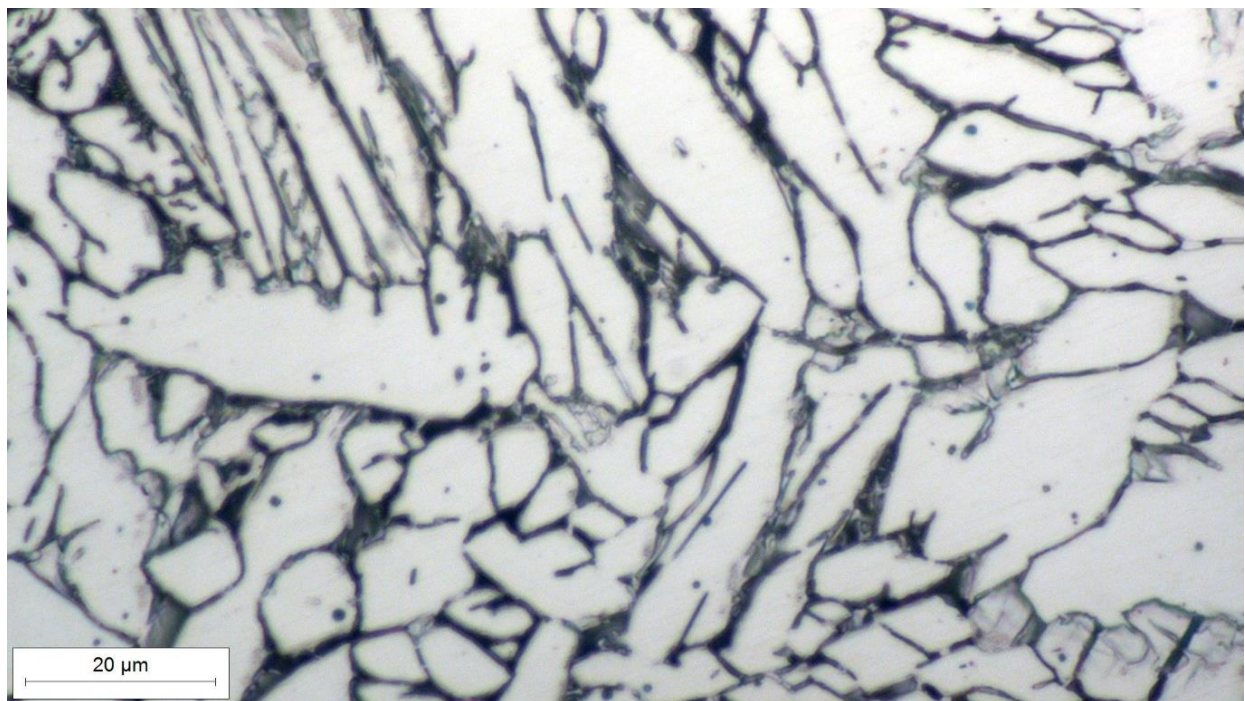
Slika 38. Mikrostruktura toplinski obradenog uzorka u 1. području



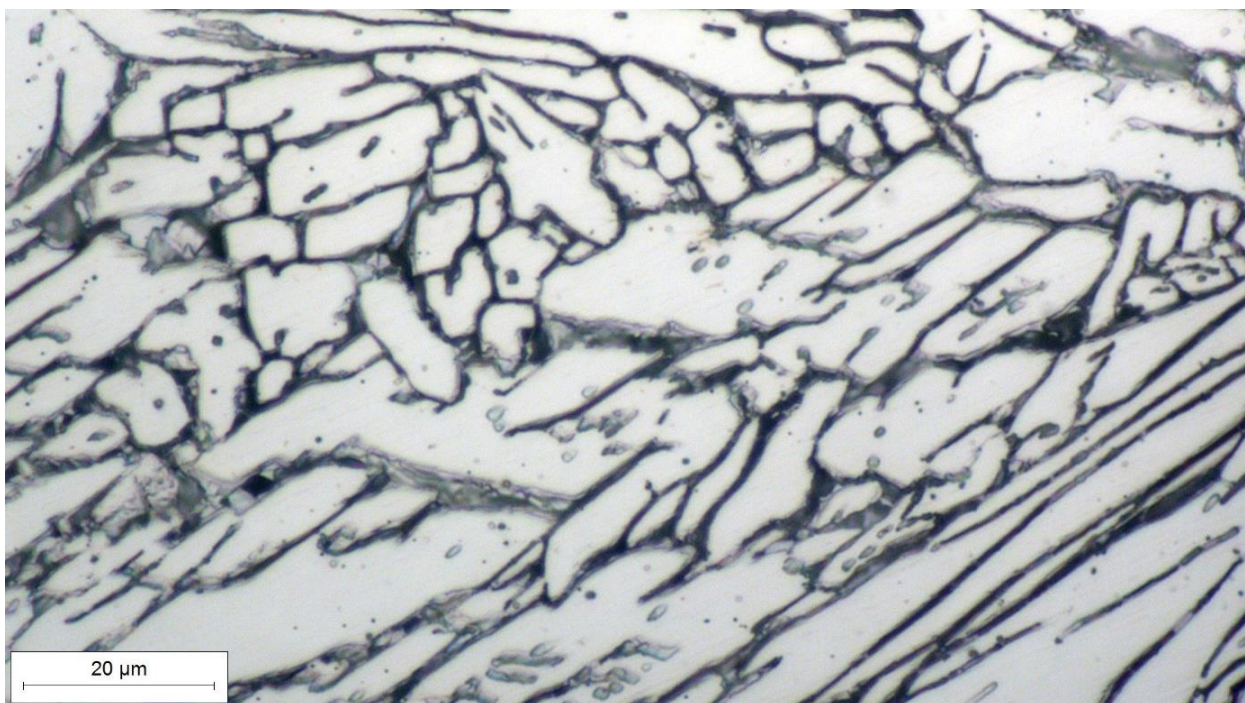
Slika 39. Mikrostruktura toplinski obrađenog uzorka u 2. području



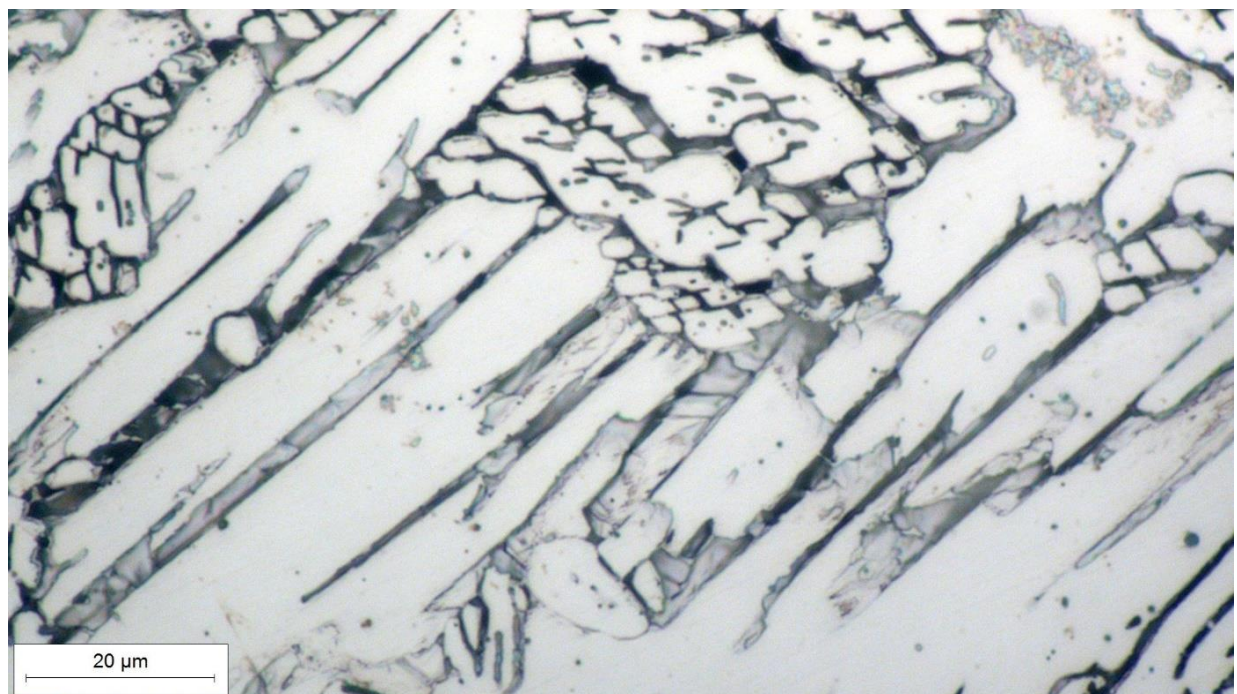
Slika 40. Mikrostruktura toplinski obrađenog uzorka u 3. području



Slika 41. Mikrostruktura toplinski obrađenog uzorka u 4. području



Slika 42. Mikrostruktura toplinski obrađenog uzorka u 5. području



Slika 43. Mikrostruktura toplinski obrađenog uzorka u 6. području

Kvantitativna analiza mikrostrukture

U svim prolazima toplinski neobrađenog i žarenog uzorka napravljena je kvantitativna analiza mikrostrukture. Volumni udjeli pojedinih faza prikazani su u tablici 10.

Volumni udjeli pojedinih faza dobiveni su mjeranjem metodom s točkama i primjenom programskog paketa ImageJ. Obje metode mjeranja dale su vrlo slične rezultate, a u tablici su prikazane vrijednosti dobivene metodom s točkama.

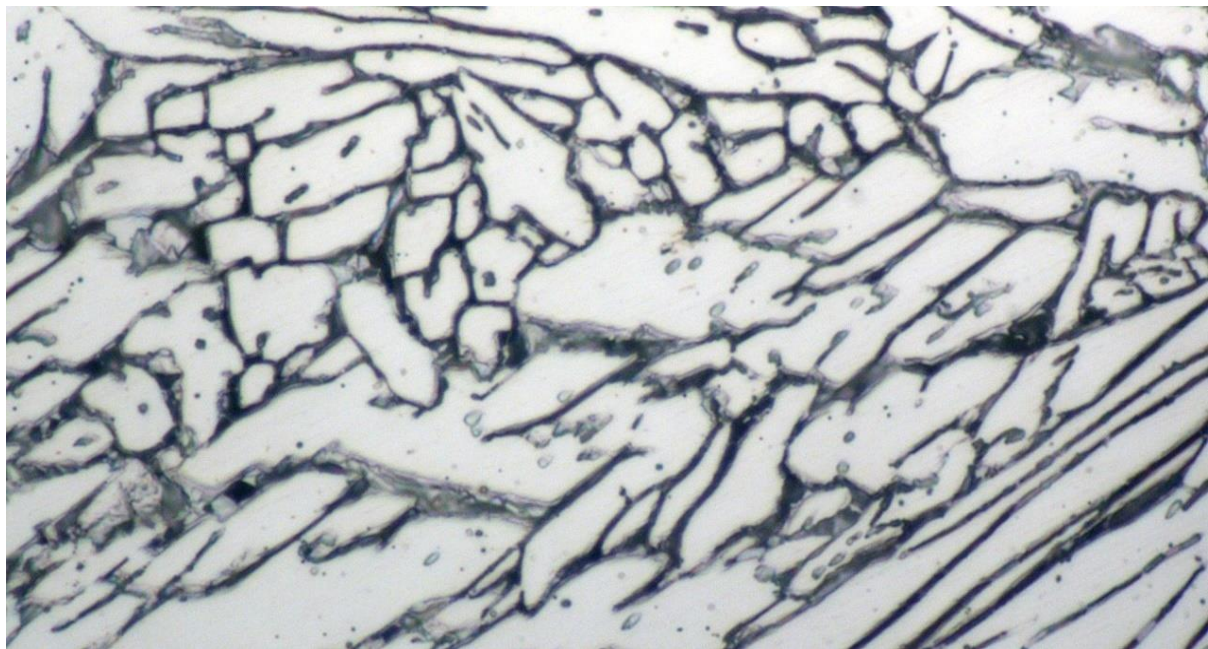
Mikrostruktura toplinski neobrađenog uzorka sastoji se samo od austenita i ferita. Volumni udjeli austenita u pojedinim područjima kreću se između 67 i 74 %, a ferita između 26 i 33 %.

Mikrostruktura toplinski obrađenog uzorka uz ferit i austenit sadrži i sigma-fazu. Austenitne faze ima između 71 i 78 %, feritne faze između 10 i 18 %, a sigma-faze između 9 i 12 %.

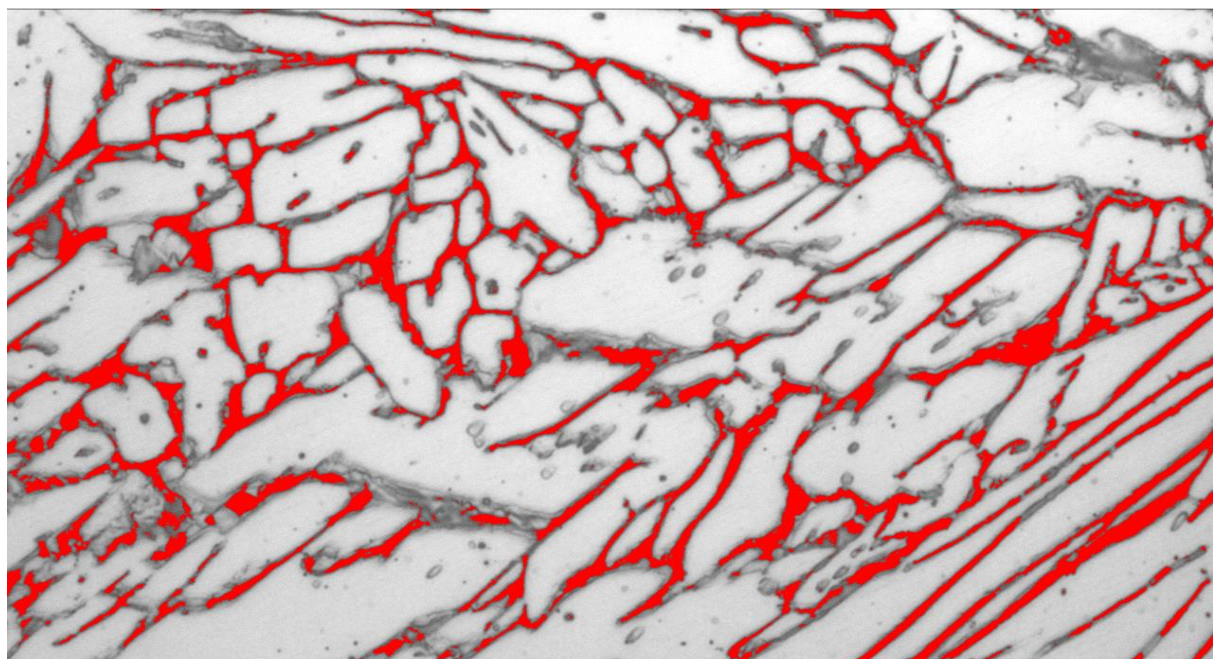
Tablica 10. Volumni udjeli pojedinih faza

| Uzorak | Područje | Volumni udjeli faza, % | | |
|-----------------------------|-----------------|-------------------------------|--------------|-------------------|
| | | austenit | ferit | sigma-faza |
| Toplinski neobrađeni uzorak | 1. područje | 70 | 30 | 0 |
| | 2. područje | 74 | 26 | 0 |
| | 3. područje | 73 | 27 | 0 |
| | 4. područje | 67 | 33 | 0 |
| | 5. područje | 69 | 31 | 0 |
| | 6. područje | 69 | 31 | 0 |
| | Ȑ | 70,3 | 29,7 | 0 |
| Žareni uzorak 800 °C/1h | 1. područje | 76 | 14 | 10 |
| | 2. područje | 78 | 11 | 11 |
| | 3. područje | 78 | 10 | 12 |
| | 4. područje | 72 | 18 | 10 |
| | 5. područje | 73 | 16 | 11 |
| | 6. područje | 77 | 14 | 9 |
| | Ȑ | 75,7 | 13,8 | 10,5 |

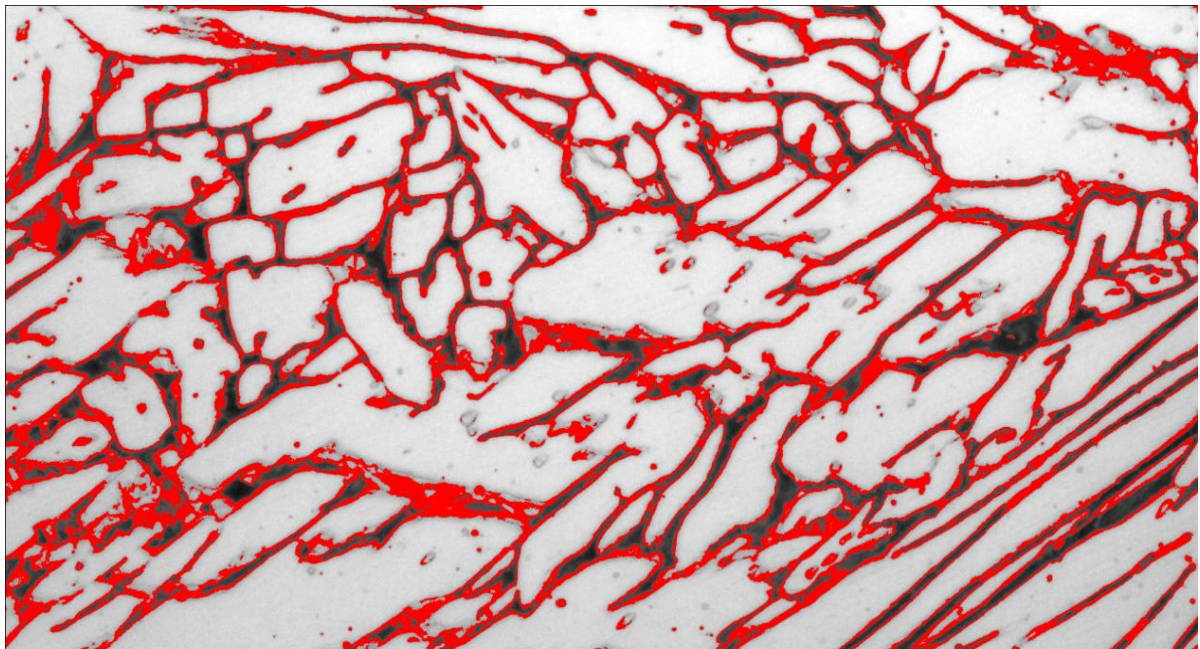
Na slikama 44, 45 i 46 prikazan je način određivanja volumnih udjela ferita i sigma-faze pomoću programa ImageJ. Na slici 44 vidi se originalna fotografija mikrostrukture iz 5. područja toplinski obrađenog uzorka na kojoj su određeni udjeli pojedinih faza. Na slici 45 vidi se ista fotografija s istaknutom sigma-fazom, čiji volumni udio iznosi 11 %. Na slici 46 istaknuta je feritna faza i izmjerena je njezin volumni udio koji iznosi 16 %. Ostatak čini austenitna faza i njezin volumni udio iznosi 73 %.



Slika 44. Mikrostruktura toplinski obrađenog uzorka



Slika 45. Sigma-faza u mikrostrukturi toplinski obrađenog uzorka



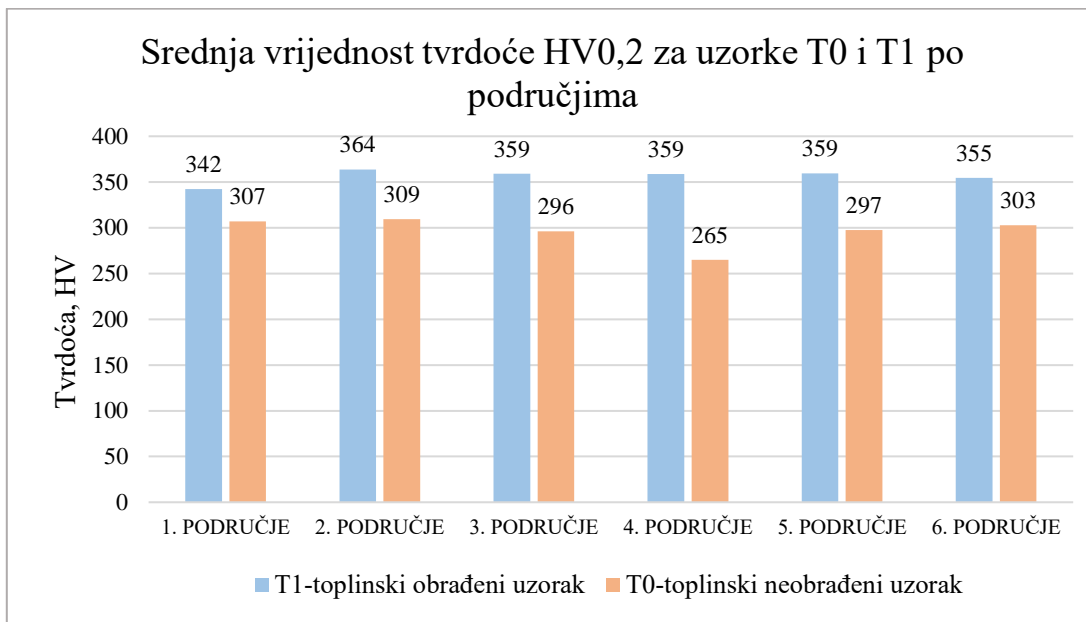
Slika 46. Feritna faza u mikrostrukturi toplinski obrađenog uzorka

6. ANALIZA REZULTATA

6.1. Utjecaj žarenja na vrijednosti mikrotvrdoće

Djelovanje toplinske obrade, odnosno utjecaj držanja uzorka sat vremena na temperaturi 800 °C na mikrotvrdoću, prikazan je grafovima na slikama 47, 48, 49 i 50. Na toplinski obrađenom uzorku T1 izmjerene su više srednje vrijednosti mikrotvrdoće za sva primjenjena opterećenja u gotovo svim područjima s obzirom na međuprolazne temperature. Samo je u prvom području kod mjerena mikrotvrdoće HV0,1 te u četvrtom i petom području kod mjerena mikrotvrdoće HV0,05 izmjerena niža vrijednost tvrdoće za toplinski obrađeni uzorak. Povećanje tvrdoće je posljedica mikrostrukturnih promjena pri žarenju, prije svega izlučivanja tvrde i krhke sigma-faze koja se formirala na faznim granicama između ferita i austenita. Nastankom sigma-faze smanjio se udio ferita i povećao udio austenita.

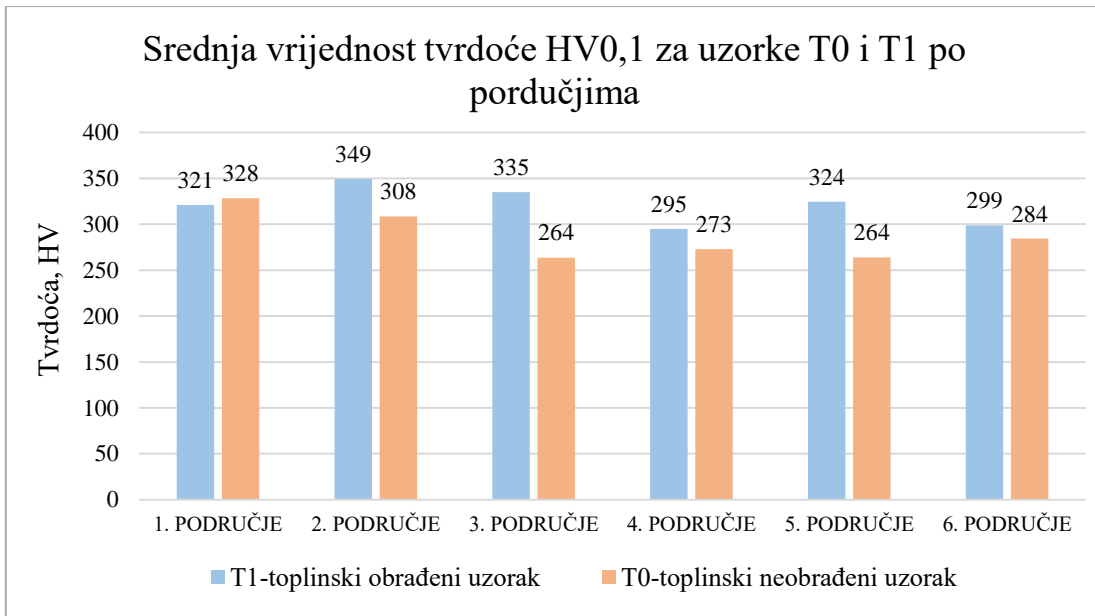
Na slici 47 vide se srednje vrijednosti mikrotvrdoće HV0,2 na toplinski neobrađenom uzorku, koje se kreću u rasponu od 265 do 309 HV0,2. Na toplinski obrađenom uzorku srednje vrijednosti mikrotvrdoće su u vrlo uskom rasponu od 342 do 364 HV0,2.



Slika 47. Srednje vrijednosti mikrotvrdoće HV0,2 po područjima za uzorke T0 i T1

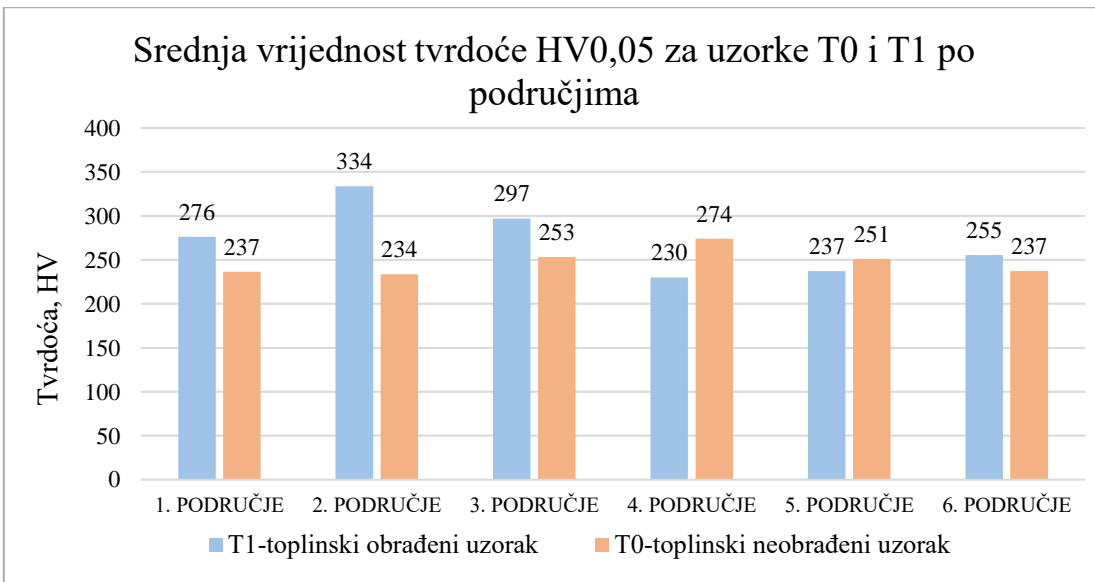
Na slici 48 prikazani su rezultati mjerena srednjih vrijednosti mikrotvrdoće HV0,1 na toplinski neobrađenom uzorku. Vrijednosti po pojedinim područjima nalaze se u rasponu od 264 do 328 HV0,1. Na toplinski obrađenom uzorku srednje vrijednosti mikrotvrdoće su u rasponu od 295 do

349 HV0,1. U odnosu na prethodno opterećenje (HV0,2) veća su rasipanja srednjih vrijednosti mikrotvrdoće i na toplinski obrađenom i na neobrađenom uzorku.



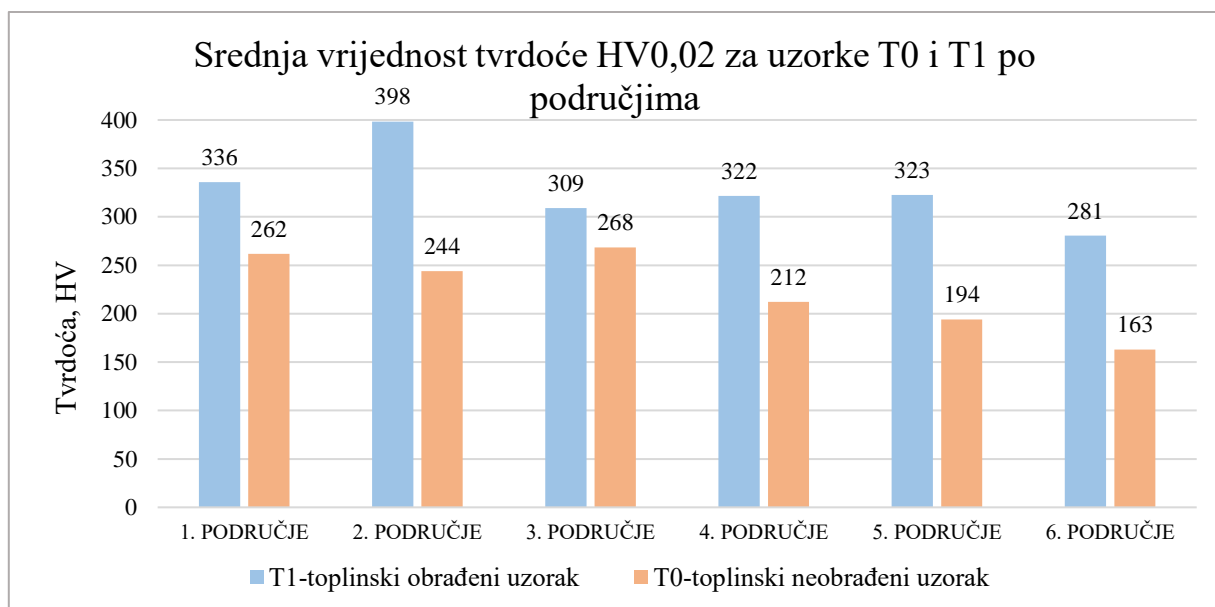
Slika 48. Srednje vrijednosti mikrotvrdoće HV0,1 u svim područjima za uzorke T0 i T1

Na slici 49 vide se srednje vrijednosti mikrotvrdoće HV0,05 na toplinski neobrađenom uzorku, koje se kreću u rasponu od 234 do 274 HV0,05. Na toplinski obrađenom uzorku srednje vrijednosti mikrotvrdoće su u rasponu od 230 do 334 HV0,05. Na toplinski obrađenom uzorku rasipanja vrijednosti su znatno viša nego na toplinski neobrađenom uzorku.



Slika 49. Srednje vrijednosti mikrotvrdoće HV0,05 u svim područjima za uzorke T0 i T1

Slika 50 prikazuje srednje vrijednosti mikrotvrdoće HV0,02 na toplinski neobrađenom uzorku. Vrijednosti se kreću u rasponu od 163 do 268 HV0,02. Srednje vrijednosti mikrotvrdoće na toplinski obrađenom uzorku nalaze se u rasponu od 281 do 398 HV0,02. Kod ovog opterećenja (HV0,02) prisutna su najveća rasipanja srednjih vrijednosti mikrotvrdoće, osobito za toplinski obrađeni uzorak.

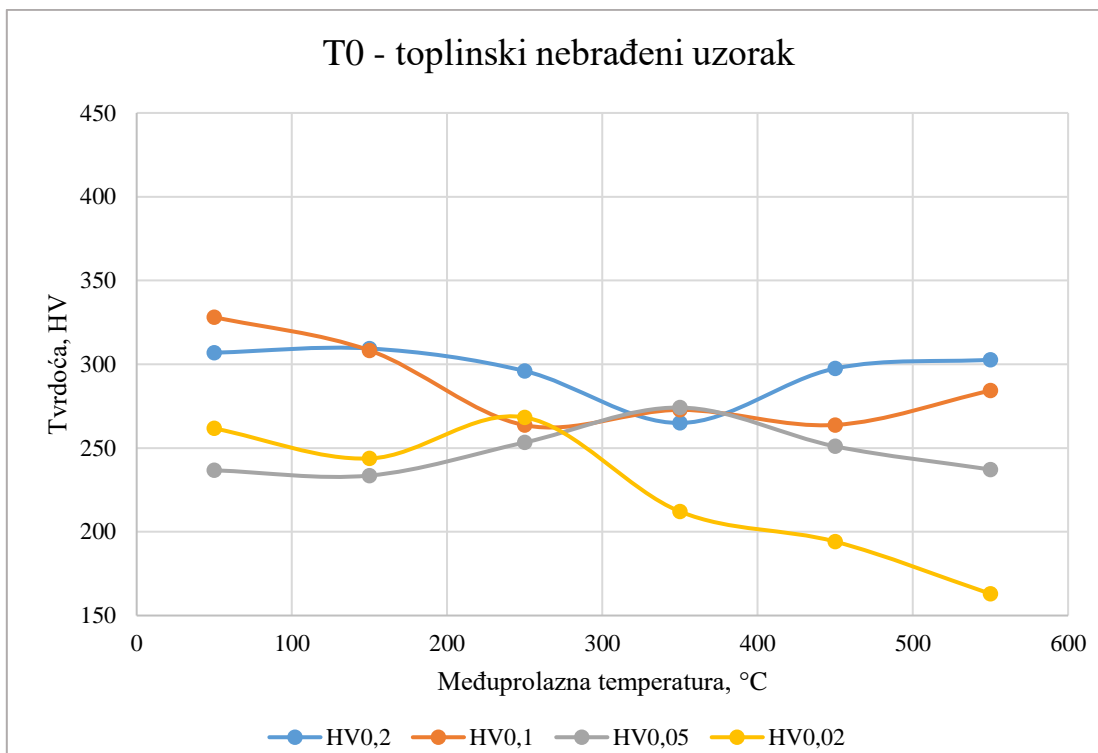


Slika 50. Srednje vrijednosti mikrotvrdoće HV0,02 u svim područjima za uzorce T0 i T1

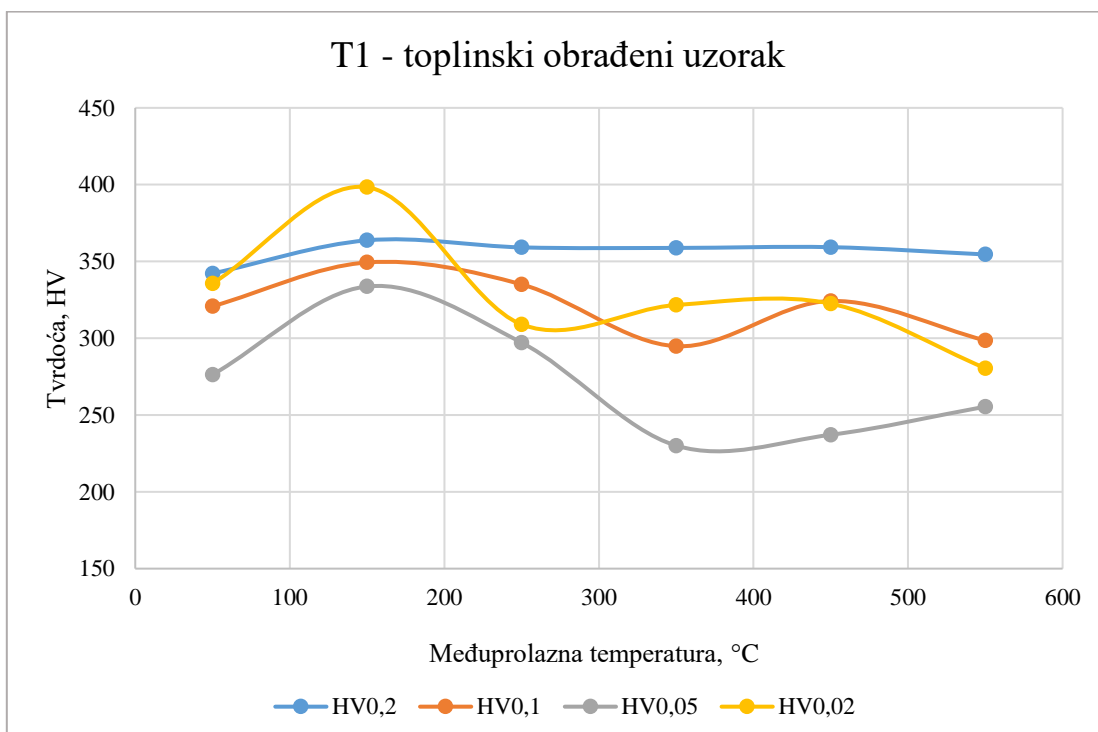
6.2. Utjecaj međuprolaznih temperatura na vrijednost mikrotvrdoće

Na dijagramima na slikama 51 i 52 može se pratiti utjecaj povećanja međuprolaznih temperatura na srednje vrijednosti izmjerjenih mikrotvrdoća, za sva četiri opterećenja. Slika 51 prikazuje utjecaj međuprolaznih temperatura na toplinski neobrađenom uzorku. Može se uočiti kako porast međuprolaznih temperatura uzrokuje pad vrijednosti mikrotvrdoće pri najmanjem opterećenju HV0,02. Kod viših opterećenja nema jasno izraženog utjecaja međuprolaznih temperatura na tvrdoću.

Kod toplinski obrađenog uzorka, na slici 52, može se vidjeti da međuprolazne temperature ne utječu na vrijednosti mikrotvrdoće HV0,2, a njihov utjecaj na vrijednosti za niža opterećenja (HV0,1, HV0,05 i HV0,02) nije jasno izražen.

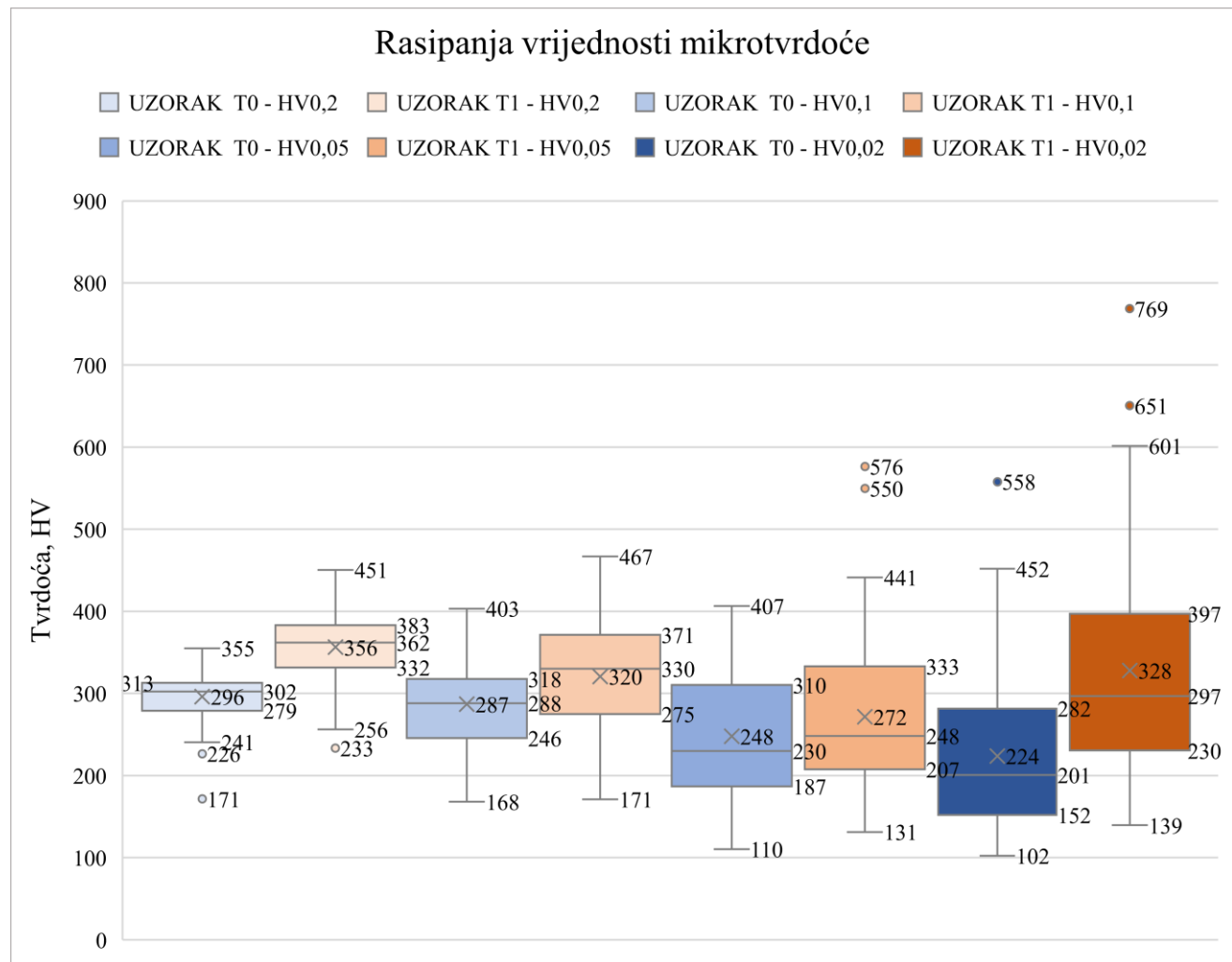


Slika 51. Utjecaj međuprolazne temperature na srednje vrijednosti mikrotvrdoće za toplinski neobrađeni uzorak



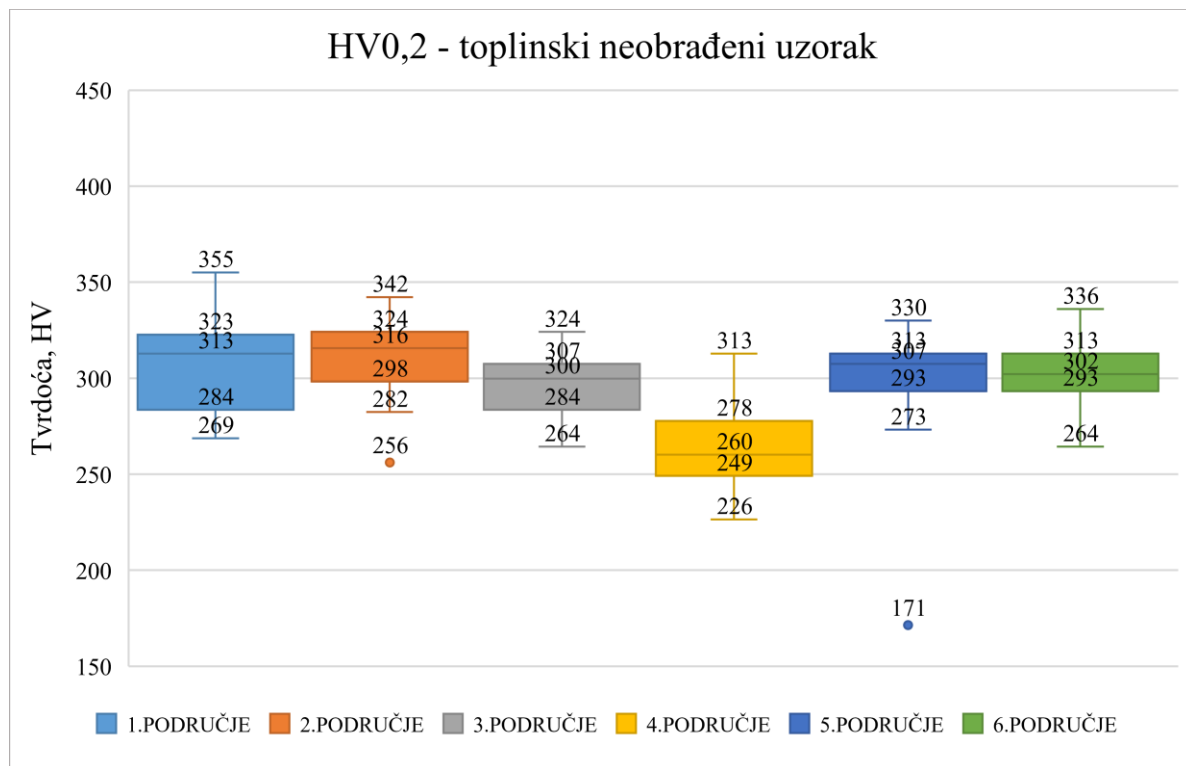
Slika 52. Utjecaj međuprolazne temperature na srednje vrijednosti mikrotvrdoće za toplinski obrađeni uzorak

Slika 53 prikazuje graf rasipanja svih izmjerениh vrijednosti mikrotvrdoča (HV0,2, HV0,1, HV0,05 i HV0,02) na toplinski obrađenom uzorku i toplinski neobrađenom uzorku. Rasipanja izmjereni vrijednosti mikrotvrdoče povećavaju se sa smanjenjem opterećenja kod oba uzorka. Kod toplinski obrađenog uzorka više su izmjerene vrijednosti mikrotvrdoče, a i rasipanja su veća za sva primijenjena opterećenja. Povećanje udjela austenita i smanjenje udjela ferita, a osobito izlučivanje sigma-faze u mikrostrukturi žarenog uzorka rezultira većim rasipanjem vrijednosti tvrdoče. Vrijednosti tvrdoče sigma-faze puno više od ferita i austenita te mogu dosegnuti vrijednosti do 940 HV.

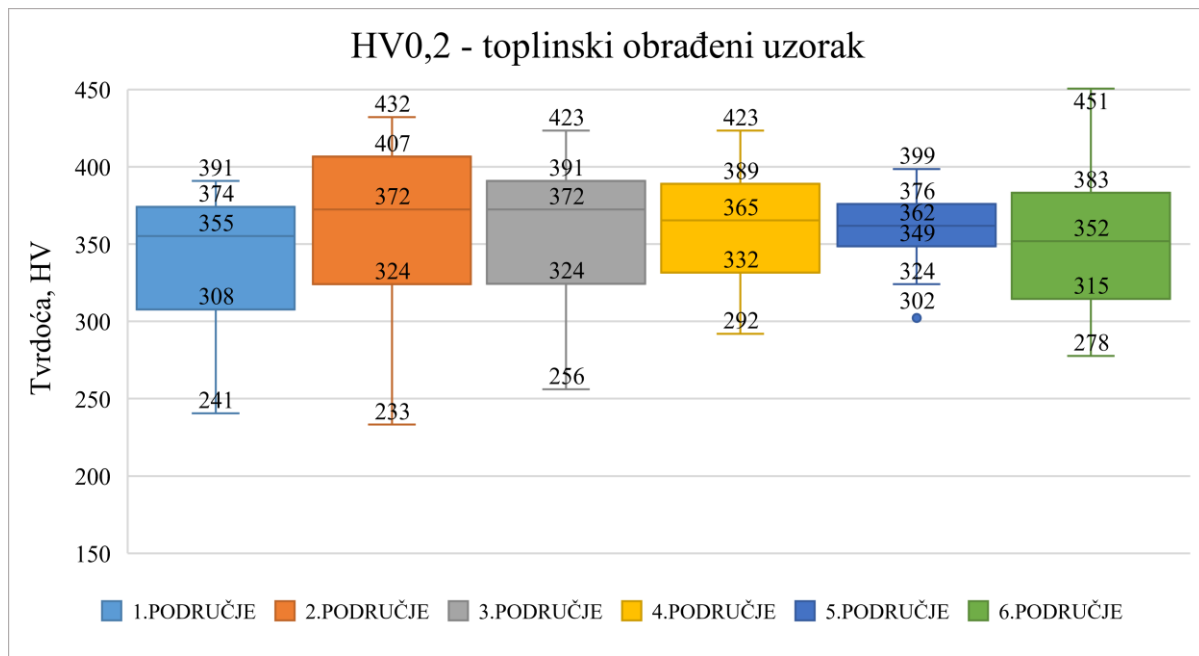


Slika 53. Rasipanje svih izmjerениh vrijednosti mikrotvrdoče za oba uzorka

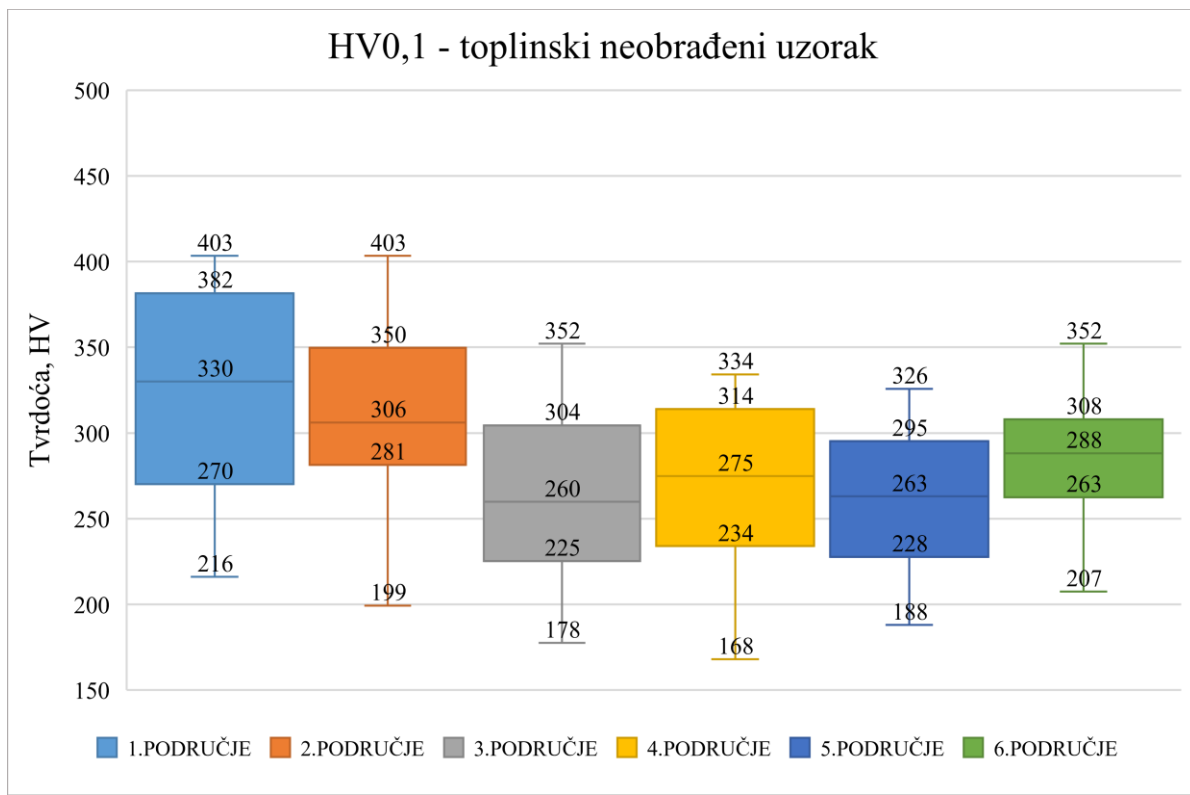
Na grafovima na slikama 54, 55, 56, 57, 58, 59, 60 i 61 prikazana su rasipanja vrijednosti mikrotvrdoče na oba uzorka, na svih šest područja, za različite vrijednosti opterećenja (HV0,02, HV0,05, HV0,1 i HV0,2).



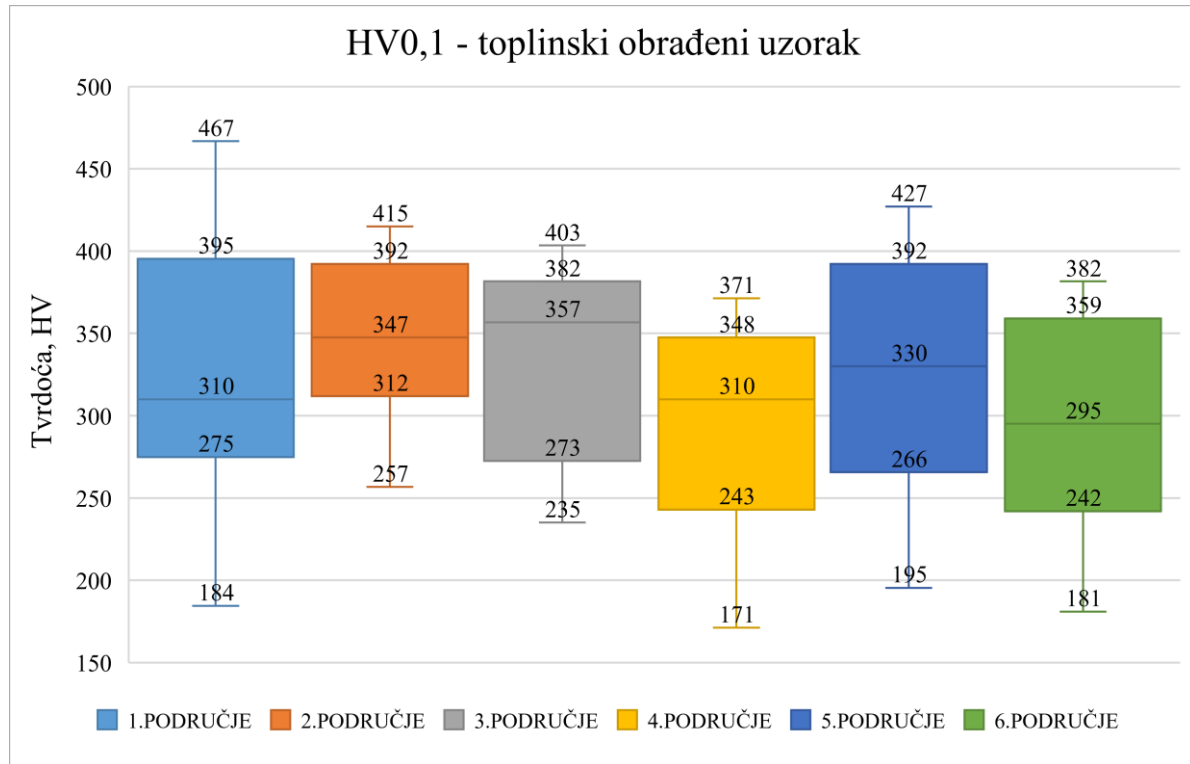
Slika 54. Rasipanja izmjerenih vrijednosti mikrotvrdoće HV0,2 za toplinski neobrađeni uzorak



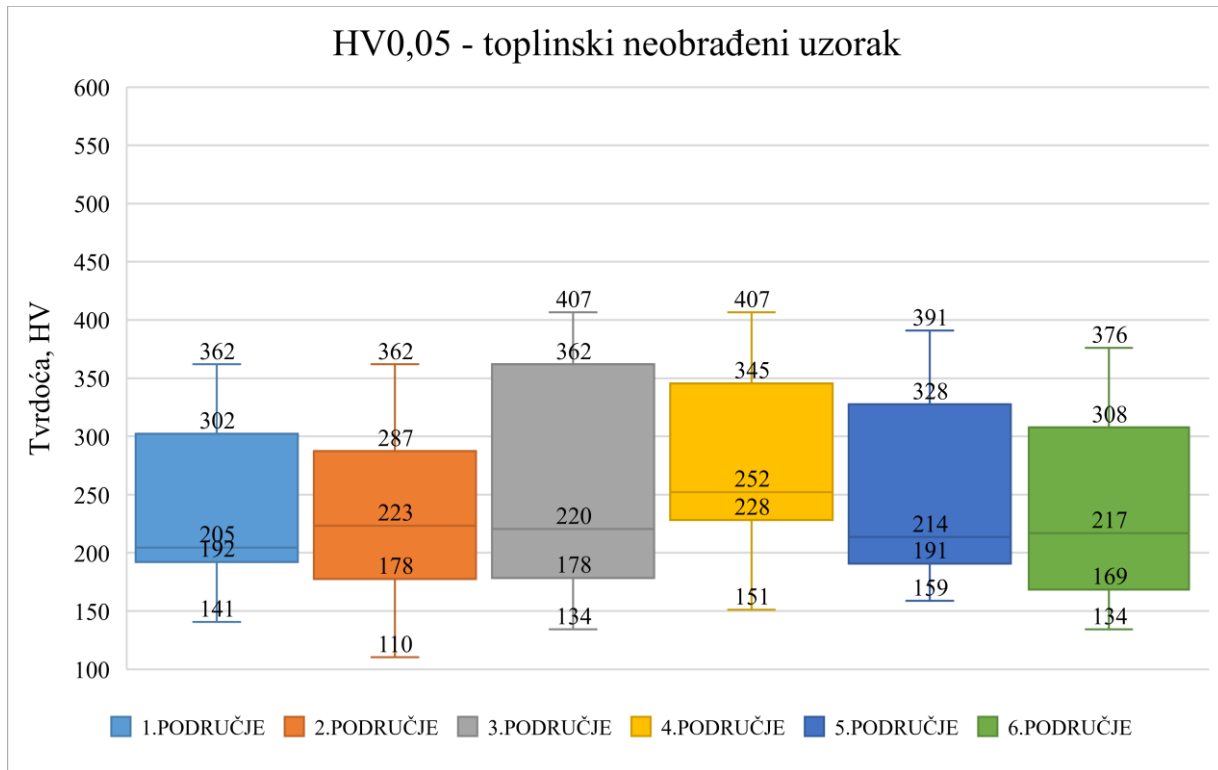
Slika 55. Rasipanja izmjerenih vrijednosti mikrotvrdoće HV0,2 za toplinski obrađeni uzorak



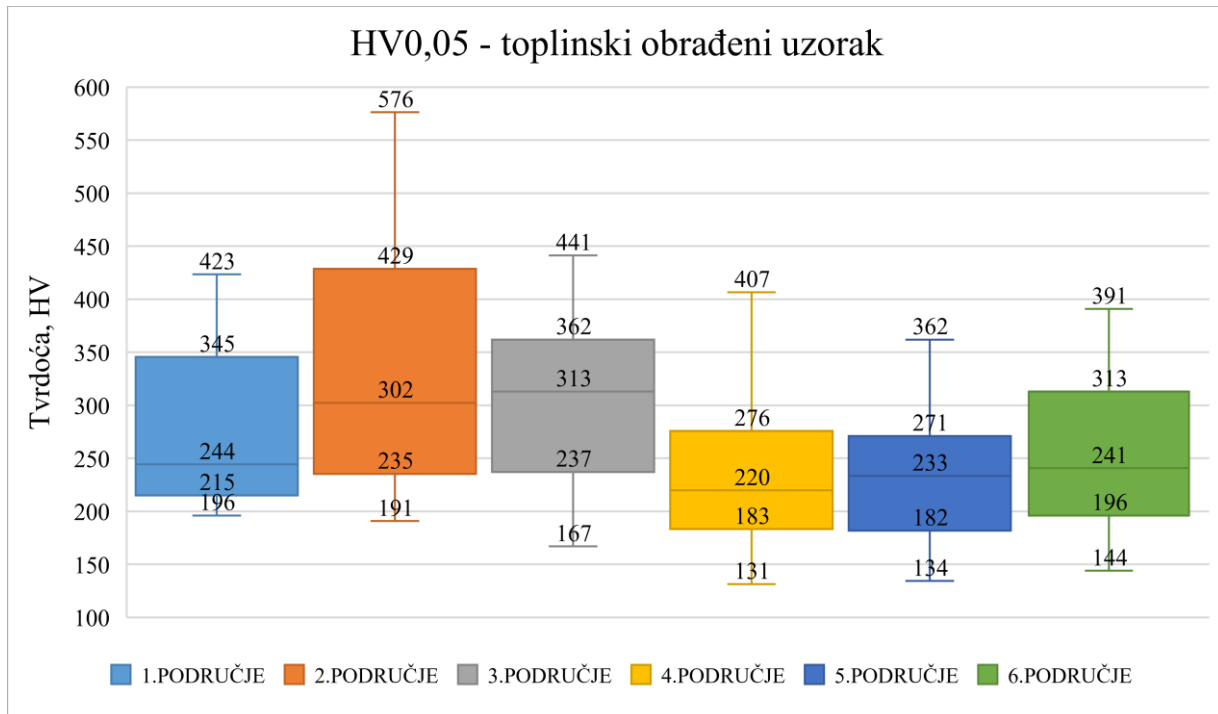
Slika 56. Rasipanja izmjereneh vrijednosti mikrotvrdoće HV0,1 za toplinski neobrađeni uzorak



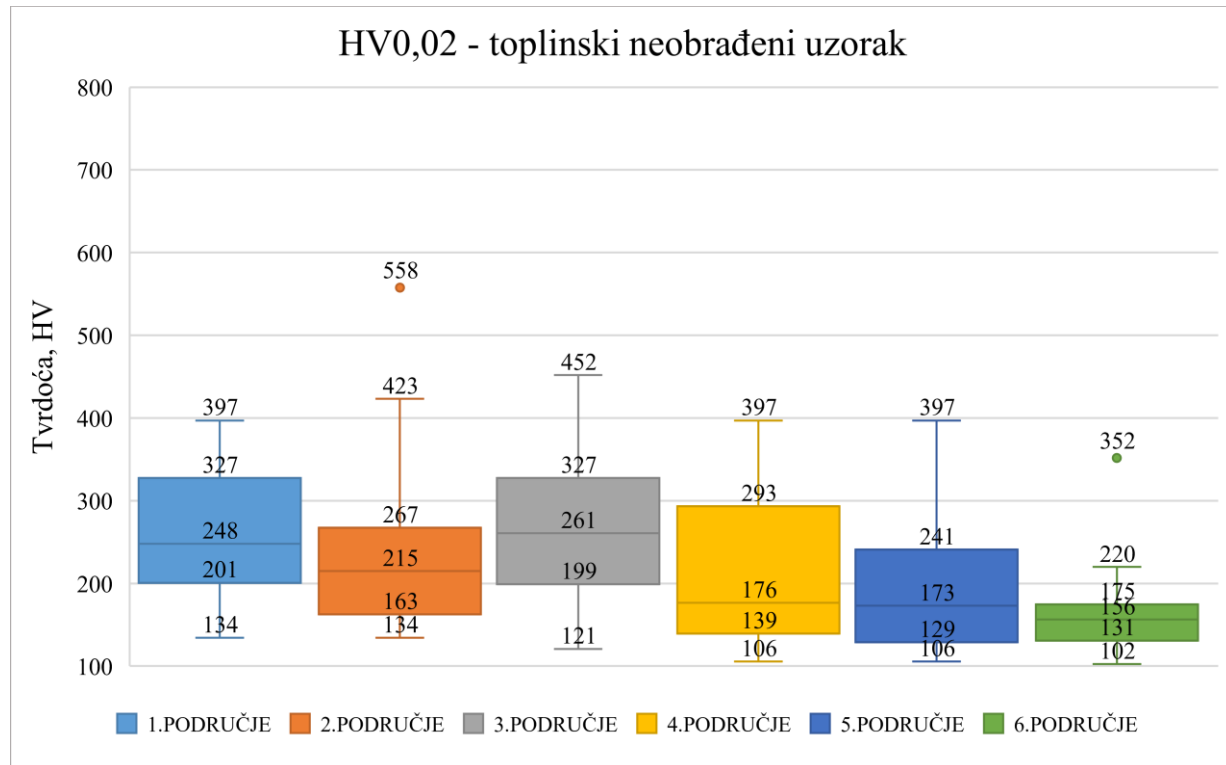
Slika 57. Rasipanja izmjereneh vrijednosti mikrotvrdoće HV0,1 za toplinski obrađeni uzorak



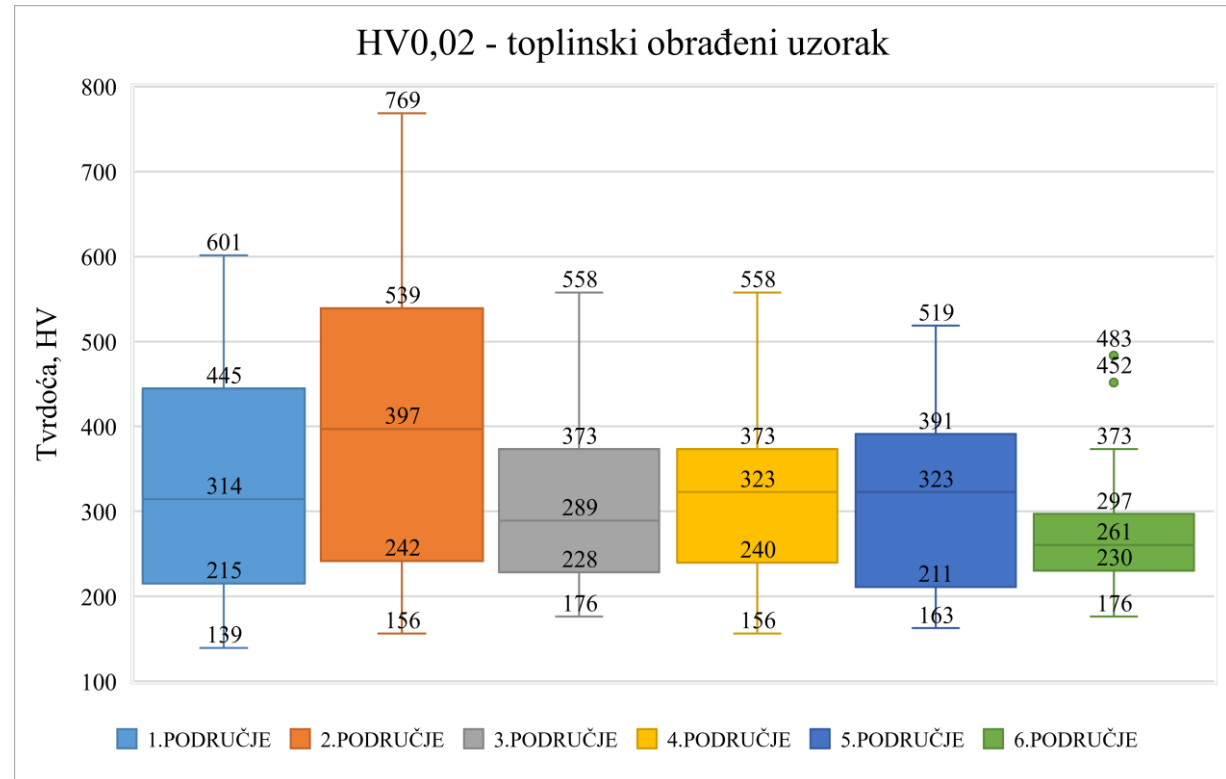
Slika 58. Rasipanja izmjerenih vrijednosti mikrotvrdoće HV0,05 za toplinski neobrađeni uzorak



Slika 59. Rasipanja izmjerenih vrijednosti mikrotvrdoće HV0,05 za toplinski obrađeni uzorak



Slika 60. Rasipanja izmjerjenih vrijednosti mikrotvrdoće HV0,02 za toplinski neobrađeni uzorak



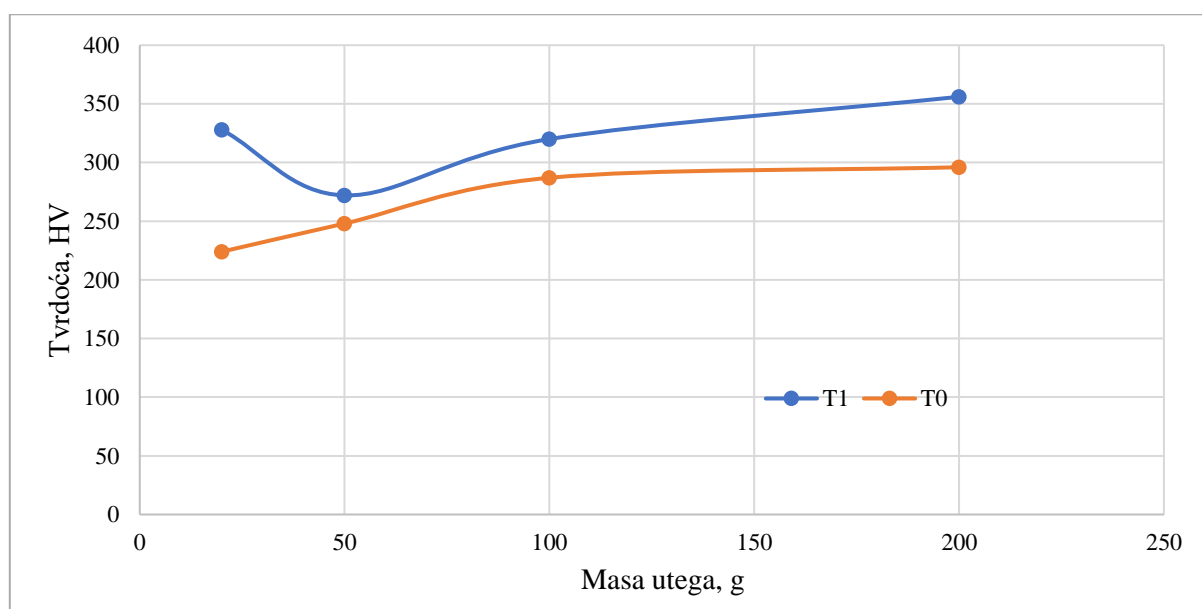
Slika 61. Rasipanja izmjerjenih vrijednosti mikrotvrdoće HV0,02 za toplinski obrađeni uzorak

6.3. Utjecaj opterećenja na mikrotvrdoću

Na dijagramu na slici 62 prikazan je utjecaj opterećenja na srednje vrijednosti mikrotvrdoće za toplinski obrađeni i neobrađeni uzorak.

Kod toplinski neobrađenog uzorka (T0) s povećanjem opterećenja dolazi do povećanja tvrdoće, što se naziva obrnutim utjecajem opterećenja na tvrdoću (engl. *Reverse indentation size effect – RISE*).

Kod toplinski obrađenog uzorka povećanjem opterećenja s HV0,02 na HV0,05 izmjerena tvrdoća se smanjuje što se definira kao normalan utjecaj opterećenja na tvrdoću. Dalnjim povećanjem opterećenja mijenja se trend i tvrdoća raste. Ovakvo ponašanje vjerojatno je posljedica formiranja krhkih i tvrdih mikrostrukturnih faza tijekom žarenja, prije svega sigma-faze. Kako su nakupine sigma-faze vrlo sitne, njihov utjecaj na tvrdoću evidentan je samo pri vrlo niskim opterećenjima.



Slika 62. Utjecaj opterećenja na vrijednosti mikrotvrdoće za toplinski obrađeni i neobrađeni uzorak

7. ZAKLJUČAK

Na temelju rezultata dobivenih pri analizi mikrostrukture i mjerenu mikrotvrdoće može se zaključiti da je karakterizacija materijala prikladna metoda za određivanje kvalitete dupleks nehrđajućeg čelika dobivenog aditivnom proizvodnjom električnim lukom i žicom:

- Mikrostruktura navarenog zida dupleks čelika sastoji se od ferita i austenita. Moguće je da su u mikrostrukturi izlučene još neke nepoželjne faze, ali one na svjetlosnom mikroskopu nisu vidljive. Omjer ferita i austenita nadilazi omjer od 60:40 koji je dopušten za dupleks čelike.
- Izmjerene vrijednosti tvrdoće ovise o primjenjenom opterećenju i povećavaju se s povećanjem opterećenja od 224 HV0,02 do 296 HV0,2.
- Rasipanja izmjerena vrijednosti mikrotvrdoće su relativno velika i povećavaju se sa smanjenjem opterećenja. Pri malom broju mjerena dobiveni su rezultati koji znatno nadilaze uobičajene vrijednosti mikrotvrdoće austenitne i feritne faze.
- Međuprolazna temperatura nema jasno izražen utjecaj na vrijednosti mikrotvrdoće. Jedino je kod mikrotvrdoće pri najmanjem opterećenju HV0,02 uočen pad tvrdoće s porastom međuprolazne temperature.

Žarenje dupleks čelika, dobivenog aditivnom proizvodnjom, na 800 °C u trajanju od jednog sata utjecalo je na sljedeće:

- U mikrostrukturi navarenog zida dupleks čelika izlučila se tvrda i krhka sigma-faza u količini od 9 do 12 %, a istodobno se smanjio udio ferita i povećao udio austenita.
- Navedene mikrostrukturne promjene utjecale su na povećanje srednjih vrijednosti mikrotvrdoće za sva primjenjena opterećenja, a najveći prirast uočen je pri najmanjem opterećenju HV0,02.
- Rasipanja rezultata pri mjerenu mikrotvrdoće su se povećala i veća su što je opterećenje pri mjerenu tvrdoće manje.
- Međuprolazne temperature ne utječu na vrijednosti mikrotvrdoće HV0,2, a njihov utjecaj na vrijednosti za niža opterećenja (HV0,1, HV0,05 i HV0,02) nije jasno izražen.

LITERATURA

- [1] V. Rede: Nehrdajući čelici, Fakultet strojarstva i brodogradnje, Zagreb, 2017.
- [2] Mohamed Ismail Mahmoud Bassiouni: Evaluation of the Microstructure and Localized Corrosion Behaviour of AISI 2507 Super Duplex Stainless Steel Welds, School of Civil, Environmental & Chemical Engineering RMIT University, March, 2012.
- [3] Rostfritt i Sverige [Internet]. Dostupno na: <https://www.rostfrittisverige.se/1936-2/>, Pristupljeno: 14.02.2022.
- [4] Gunn N R, Duplex Stainless Steels. Cambridge: Abington Publishing; 1997.
- [5] Titan metal fabricators [Internet]. Dostupno na: <https://www.titanmf.com/alloys/applications-of-duplex-stainless-steel/>, Pristupljeno: 14.02.2022.
- [6] Rede V. Utjecaj mikrostrukture zavara dupleks čelika na otpornost prema trošenju [doktorski rad]. Zagreb: Fakultet strojarstva i brodogradnje; 2004.
- [7] Alvarez-Armas, I., Degallaix-Moreuil, S.: Duplex stainless steels, ISTE Ltd, John Wiley & Sons, Inc.
- [8] Halužan, I.: Utjecaj mikrostrukturnih promjena na tribološka svojstva nehrđajućeg dupleks čeličnog lijeva, završni rad, Fakultet strojarstva i brodogradnje, Zagreb, 2020.
- [9] aditivna proizvodnja. Hrvatska enciklopedija, mrežno izdanje. Leksikografski zavod Miroslav Krleža, 2021. Dostupno na: <https://www.enciklopedija.hr/natuknica.aspx?id=69979>, Pristupljeno: 23.02.2022.
- [10] Pilipovic A. Aditivna proizvodnja. Polimeri. 2012.;33/3–4, str. 135–136.
- [11] Knezović N, Topić A, Garašić I, Jurić I. Application of wire and arc additive manufacturing for fabrication of duplex stainless steel product. Ann DAAAM Proc Int DAAAM Symp. 2019.;30(1):0599–604. doi: 10.2507/30th.daaam.proceedings.081
- [12] https://www.researchgate.net/figure/Illustration-of-the-WAAM-process_fig1_323567305, Pristupljeno: 24.02.2022.
- [13] WAAM3D [Internet]. Dostupno na: https://waam3d.com/case_studies/case_landing-gear-rib, Pristupljeno: 03.03.2022.
- [14] Jurić I., Garašić I., Kožuh Z., Eržišnik J., Uđbinac D. Primjena dupleks čelika za aditivnu proizvodnju električnim lukom i žicom. Zavarivanje i zavarene konstrukcije. 2019.;64(3):113–9. doi: 10.5937/zzk1903113j
- [15] MX3D [Internet]. Dostupno na: <https://mx3d.com/industries/design/arc-alu-bike-ii/>, Pristupljeno: 28.02.2022.

- [16] Klobučar M. Teorijske i praktične osnove MIG/MAG postupka zavarivanja [završni rad]. Varaždin: Sveučilište Sjever; 2016.
- [17] Uđbinac D. Primjena dupleks čelika za aditivnu proizvodnju električnim lukom i žicom [diplomski rad]. Zagreb: Fakultet strojarstva i brodogradnje; 2017.
- [18] Garašić I., Kožuh Z. Postupci spajanja [autorizirana predavanja]. Zagreb: Fakultet strojarstva i brodogradnje; 2018.
- [19] Jafari D., Vaneker T. H. J., Gibson I. Wire and arc additive manufacturing: Opportunities and challenges to control the quality and accuracy of manufactured parts. *Materials and Design*. 2021.;202, 109471. doi: 10.1016/j.matdes.2021.109471
- [20] Ilić D.: Optimizacija prijenosa metala za aditivnu proizvodnju električnim lukom i žicom, Diplomski rad, Fakultet strojarstva i brodogradnje, Zagreb, 2016.
- [21] Hejripour F., Binesh F., Hebel M., Daryush K. A. Thermal modeling and characterization of wire arc additive manufactured duplex stainless steel. *Journal of Materials Processing Technology*. 2019.;272;58-71. doi: 10.1016/j.jmatprotec.2019.05.003
- [22] Nikam P. P., Arun D., Ramkumar K. D., Sivashanmugam N. Microstructure characterization and tensile properties of CMT-based wire plus arc additive manufactured ER2594. *Materials Characterization*. 2020. doi: 10.1016/j.matchar.2020.110671
- [23] Lervåg M., Sørensen C., Robertstad A., M. Brønstad B. M., Nyhus B., Eriksson M., Aune R., Ren X., M. Akselsen O. M., Bunaziv I. Additive Manufacturing with Superduplex Stainless Steel Wire by CMT Process. *Metals*. 2020. doi: 10.3390/met.10020272
- [24] Chen X., Li J., Huang Z., Wang H., Cheng X., He B. Microstructure and mechanical properties of the austenitic stainless steel 316L fabricated by gas metal arc additive manufacturing. *Materials Science and Engineering A*. 2017. doi: 10.1016/j.msea.2017.05.024
- [25] tvrdoča. Hrvatska enciklopedija, mrežno izdanje. Leksikografski zavod Miroslav Krleža, 2021. Dostupno na: <http://www.enciklopedija.hr/Natuknica.aspx?ID=62873>, Pristupljeno: 14. 3. 2022.
- [26] Alar Ž. Analiza utjecajnih faktora na mjernu nesigurnost etalonskog tvrdomjera [doktorski rad]. Zagreb: Fakultet strojarstva i brodogradnje; 2008.
- [27] Kraut, B., Strojarski priručnik, Tehnička knjiga, Zagreb, 1992.